

Министерство геологии СССР
ДАЛЬНЕВОСТОЧНОЕ ТЕРРИТОРИАЛЬНОЕ ГЕОЛОГИЧЕСКОЕ
УПРАВЛЕНИЕ

Т О С У Д А Р С Т В Е Н Н А Й

Т Е О Л О Г И Ч Е С К А Й

К А Р Т А С С С Р

масштаба 1:200 000

Серия Удская

Лист №53-ХIII

ОБЫСНИТЕЛЬНАЯ ЗАПИСКА

Составил В.Ф. Зубков
Редактор С.А. Музалев

Утверждено Научно-редакционным советом ВСЕГЕИ
11 января 1974 г., протокол № 2

С о л е р ж а н и е

Стр.

Введение 3

Теологическая изученность 5

Стратиграфия 10

Метроризные образования 41

Петрографика 57

Тектоника 65

Полезные ископаемые 68

Подземные воды 87

Оценка перспектив района 91

Литература 93

Список промышленных месторождений 99

Список нетронутых месторождений 101

Список прямых полезных ископаемых 102

В В Е Л Е Н И Е

Рассматриваемая территория, входящая в Селемджинский район Амурской области РСФСР, расположается в удаленной и малообжитой местности Дальнего Востока, представляющей собой преимущественно среднегорье (800-1200 м над уровнем моря), покрыто густой тайгой и расчиненное широкими заболоченными долинами рек и киотей. Только на юге и севере таежное однособразие нарушается польями Зэликского и Селимджинского хребтов (до 1900 м над уровнем моря), несущими реликты ледниковой деятельности. Обширные пространства в центре территории заняты безлесными марами. В последнем случае проявлены мытые пологовувалистые формы рельефа, а в остальных случаях он резко расчлененны, мас- сивны или остроувернены.

Вся речная сеть района принадлежит бассейну Селимджи. Струи в нее впадают реки Харга, Унерикан, Бол. и Мал. Нарген, а справа - Салткан, Кенурах, Селан и Кумусун, не считая более мелких многочисленных водотоков. Хотя эти реки текут в широких хорошо разработанных долинах, изобилиющих старичками, озерами и просто болотами, они имеют неизгаданный (ступенчатый) продольный профиль. Это придает им черты горных рек с весьма непостоянным водным режимом. Многочисленные перекаты, заломы из плавника делают лодочное передвижение по ним опасным, а при повышенном уровне воды - невозможным. После сильных дождей в очень короткий срок уровень может подняться на несколько метров и тогда реки недоступны даже для переправ.

Климат района континентальный со среднегодовой температурой -6° . Весна поздняя - реки освобождаются от льда и снега

стает в первой половине мая, а теплая погода устанавливается к середине июня. В июле наименее жаркие дни (до 35–40°), тяжелые для работы еще из-за обилия гнуса. Но уже в конце августа начинаются заморозки, а в сентябре погода типична для поздней осени – с морозами ночами, холодными ветрами с дождем и снегом (особенно в горах). Поэтому вторая половина сентября, как правило, для полевых исследований неблагоприятна. С образованием в октябре устойчивого снежного покрова и замерзанием рек начинается долгая морозная (до -40–45°), но относительно безветренная зима. Большая часть осадков выпадает летом (до 400 мм при среднегодовой норме 750 мм). Широко распространена многогодичная мерзлота. Она отсутствует только на сухих, хорошо прогреваемых открытых местах и, наоборот, на северных склонах с толстым покровно-растительным слоем мерзлой грунт под мякотью сохраняется все лето. В остальных местах он оттаивает на разную глубину.

Растительность и животный мир однообразны. Отличия пространства среднегорья покрыты лиственницей и белой бересклетом, кроме по ключам и мелким расщадкам вытесняются елью, а на водоразделах – густым кедровым станиником. В долинах крупных рек разительность более разнообразна: помимо зарослей тальника, здесь многоГО ТОПОЛЯ, ВЕТЛИ, ОСИНЫ, ОЛЬХИ, БЕРЕСКЛЯ, ЕЛИ, расрут черешуха и рабина, но луговой растительности, привычной для сенокосов, почти нет. Повсеместно распространенный кустарниковый подлесок, а также багульник и мох сильно затрудняют проходимость. Низкие выпуклые водоразделы и их склоны часто покрыты моховыми обводненными марями. Район очень богат ягодниками, особенно брусникой и голубикой. Из таких зверей много медведей, лосей, диких и огнеплавных оленей, но очень мало соболя и селки. Часто встречаются рябчики и значительно реже лужари.

Находящиеся в центре территории небольшие поселки золотодобытчиков Златоустовск, Ольгинск и Верхнемайский связаны группой дорогой (а первый из них местной автодорогой) с районным центром пос. Экибашом, расположенным у западной границы на р. Селенже. Воздушная трасса соединяет пос. Экибаш с городами Свободным и Благовещенском, но при необходимости можно на автомашине (или автобусе) проехать до пос. Норский Скел на р. Селенже (500 км) и далее речным теплоходом до г. Свободного. На юг от пос. Златоустовска в бассейн бурых чес. хр. Зээл проходит старинный Собисский тракт. Раньше он имел важное значение, но сейчас для колесного транспорта непротден. В различных

местах для передвижения вьюком можно использовать тропы, но на кулурах заросших деревьями и заболоченных участках они трудно проходимы. По рекам Селенже, Харье и Селиканду возможно плавание на небольших моторных лодках, но желательно с лыжами, знающие характер и фарватер этих рек.

Вековая история экономического основания района целиком связана с поисками и добывкой золота. В этом отношении интересен, собственно, только бассейн Харги, а остальная, большая его часть, очевидно, еще долгое время будет оставаться небойкой. С открытием эксплуатацией в конце прошлого столетия российских, а затем небольших коренных месторождений золота выросли утомленные выше посетили и были проложены дороги. До сих пор неизменное население (в основном русское) занято в золотодобывающих и обслуживающих их предприятиях, общественно-бытовых организациях. Поэтому перед геологоразведочной службой стоит конкретные и неотложные задачи по поддержанию и повышению золотодобывающего саланса района. Для развития земледелия он в силу суровых природных условий неблагоприятен. Близ пос. Ольгинска находится звенитский оленеводческий колхоз "Улген", но из-за ограниченности кормовых ресурсов его стала немногочисленны и часто вынуждены кочевать в отдаленных местах.

Из сказанного видно, что с природными условиями связаны многие трудности геологического изучения рассматриваемой территории. Мало благоприятствует этому в целом и плохая обнаженность. Коренные выходы пород встречаются обычно вдоль речных долин – у подножий их склонов или в уступах террас, а также в горловых частях водоразделов. На остальной территории они редки и для наблюдений используются делительные высотки либо специально задаются горные выработки, применяемые в больших объемах.

ГЕОЛОГИЧЕСКАЯ ИЗУЧЕНИОСТЬ

В середине прошлого столетия Н.Д.Аносову были поручены первые поиски золота на Дальнем Востоке. В 1857–1859 гг. им проведены удивительные по мужеству исследования в различных местах этого огромного края [1]. На рассматриваемой территории первые россыпи золота открыты по р. Бол.Неврену в 1874 г. В 1891–1895 гг. начали разрабатываться россыпи по рекам Эльге,

Мал.Нээртэну, Харге, Ингали, и Верхне-Селемджинский район по богатству россыпей быстро выдвинулся в число первых по Амурской области. С 1900 до 1916 г. обнаружены почти все ныне известные россыпи. В 1914-1917 гг. по р.Харге были пущены три паровые драги. Большой кварц с золотом обнаружен старейшими в 1901-1902 гг. в районе Златоустовского пристава. После этого инженерами Н.Н.Звигдным и Л.И.Лебедевым начата энергичная поиски и разведка золоторудных жил, которые в 1910 г. были приставлены из-за неясности геологических условий залегания и промышленной ценности руд. С этим десятилетием связаны первые геологические исследования района.

В 1901 г. А.И.Хлапонин [17] обследовал низовья Харги и Мал. Нээртена, где были соорудлены все рабочие в то время приставы, а П.К.Дворовский [22] совершил маршрут по рекам Керби, Ниману, Эзопу, Харге и Селемже. Эти исследования отличаются тщательным изучением петрографии пород. В 1907 г. А.И. Хлапонином [18] опубликована геологическая карта (2 версты в длину) бассейна Харги, сопровождаемая геологическим очерком. Полевые исследования были им продолжены в 1908-1909 гг. по Селемжу, Унеркансу, Харге. Селемжье. В опубликованной им в 1912 г. работе [19] дано подробное описание горных пород района и указано, что для них "существенным признаком ... является наличность классической структуры и несовременная перекристаллизации... , причем точной границы между отдельными видами сланцев... , конечно, провести нельзя, так как между ними наследуются постепенные витиозменения". Эта масса со временем установленному много позже представлению о том, что по степени метаморфизма пород нельзя определить их возраст и стратиграфическое положение. Относительно золотоносности указано, что она связана с той же метаморфических пород и, притом, с той ее частью, на которую распространялись пневматитовые процессы" [19].

Последние и разведка рудного золота были возобновлены в 1915 г. Т.Р.Унгер-Штернбергом, обнаружившим на Харгинском месторождении промышленные кварцевые жилы, содержащие, помимо золота, шеелит. В 1916-1917 гг. Харгинское месторождение посетили В.Д.Рязанов и А.В.Аксентьев, которые рекомендовали его дальнейшую разведку, но в связи с политическими событиями этого времени все работы, в том числе и золотодобыча, прекратились.

С установлением Советской власти вместо Амурского золотопромышленного общества в 1920 г. было организовано Государственное общество "Дражагл-Фабрика", которое развивало и открывало россыпь и рудное золото до 1925 г. В 1925 г. для Харгинского месторождения И.А.Преображенский [12] дал обстоятельное описание пород, кварцевых жил и ориентировочно подсчитал запасы золота. Однако окончательная оценка месторождения, по его мнению, могла быть дана после глубинной разведки.

Обследовавший в 1927 г. Харгинское месторождение проф. А.В. Арсеньев считал, что здесь имеет место "лишь корни этого рудного месторождения" [24] и единственно целесообразна разработка на глубину алмазным бурением.

В 1930 г. Т.Г.Софроновым, Н.И.Марочкиным и В.Захваткиным открыты, а в последующие годы разведены Унгличанско-Волфрамовое и Ленинское сурьмянное месторождения. Н.И.Марочкиным [51] установлено, что ведущим минералом в рудах Унгличанского месторождения является шеелит. Разведка этого месторождения с пробной эксплуатацией продолжалась до 1936 г. Ленинское месторождение с поверхности разведано в 1931-1932 гг. и описано Т.Г.Софроновым [14, 64]. Он указал на его эпитеческий анти-монит-кварцевый тип и рекомендовал изучение на глубину. Помскиолова в нижнем течении Харги в 1934 г. И.А.Пугачевым [61] положительных результатов не дали.

Наиболее обстоятельно перспективы бассейнов Харги и Мал. Нээртена на вольфрам изучались Л.Д.Изергином в 1933-1935 гг. [38, 39, 40]. Им составлена геологическая карта масштаба 1:50 000 и шлиховая — масштаба 1:25 000, намечена стратиграфическая последовательность пород, предположительно докембрийского и палеозойского возраста, выделены ингалинские и более молодые (афанасьевские) гранитоиды. Эти названия укрепились за ними и в последующей литературе. Среди тектонических разломов выделена серия руслоконтролирующих, а в верховье кляйсного установлены зона золотрудной минерализации, разведенная в 1951-1952 гг. С.Н.Лободенко [48] и В.Г.Моисеенко [55], вскрывшими серию золотопрорыщенных кварцевых жил (Ясененское месторождение). Л.Д.Изергин первым подметил приуроченность богатых золоторудных жил Харгинского месторождения к зеленокаменным породам. Золото-шеелитовое оруднение связано им с афанаасьевскими порфирами интузиями.

Первая геологическая съемка масштаба 1:200 000 проведена в сассейнах Мал.Кети и Харги П.В.Некрасовым в 1935 г. [56].

Метаморфические сланцы отнесены им к докембрию, а среди интузий выделены доломовые (заозские) и позднедоломовые (адакасьевские) граниты, с которыми связывается золото-шеелитовое оруденение.

В 1936 г. в бассейне Кара-Макита И.П. Колокольниковым [46] обнаружены конгломераты, содержащие до 3 г/т золота, но, по П.В. Малиновскому [50], не имеющие промышленной ценности. Много позже установлено [58], что эти конгломераты залегают в низах вулканическо-осадочного нижнего мела. Изучением месторождений редких металлов Селемджино-Буренинского рудного узла занимались в 1937 г. М.Н. Извентишин и А.И. Зубов [4].

После пятилетнего перерыва, в 1938–1942 гг., на Ленинском сурьмитном месторождении проведены разведочно-исследовательные работы [60, 65], а в 1952 г. [23] окончательно установлена первичность его эксплуатации из-за отсутствия руд на трудахине. Летальную петрографическую характеристику пород Афанасьевского месторождения в 1939 г. дал М.П. Малериков [9, 53]. Он считал, что "альбитовые гнейсы", образующие широкую орхианин-клиниль, являются осадочными породами, метаморфизованными под действием интрузивного тела, залегающего на глубине. В 1941–1945 гг. на северных склонах хр. Эспон поисково-разведочные работы неподважно велись Ю.И. Маргуном, С.Н. Петровским и К.В. Александровым [52]. Ими установлена общая зараженность аллювием каскадеритом и вольфрамитом, обнаружены и разведаны вольфрамит-кассiterитовые россыпи, а также Талминское месторождениеолова, вольфрама и мышьяка, Оны, как и М.Ю. Килин [35], считают, что редкометальное оруденение связано с заозскими гранитидами.

В те же сороковые годы небольшая территория в бассейне Джало была геологически засеката в масштабе 1:200 000 Н.А. Раковым. Харгинские граниты и граниториты он отнес к киммериджскому возрасту, а кварцево-слюдяные сланцы – к доналевову [13, 62]. В 1945 г. Прево-Бережье Селемджи западнее Селиктана было закартировано в том же масштабе А.А. Кирилловым и В.В. Оникимовским [41]. Ими установлена здесь мощная толща среднепалеозойских песчаников и кремнистых сланцев, прорванных варисским гранитидами (ингагильскими). Последние, по их представлениям, являются частью Буренинского массива и с ним связана золотоносность района.

Только 10 лет спустя, в 1955 г., вся рассматриваемая территория была изучена в масштабе 1:200 000 С.С. Дарбанином [34] и В.Ф. Козырой [42, 43]. Метаморфизованные отложения ими были расчленены на архангельскую (архей), эльгинскую, талминскую золотоустовскую и экипчансскую (протерозой?) свиты, а терри-

ные отложения с пластами кремней и диабазов (к югу от Селигканского хребта) объединены в селиктинскую свиту условно верхнедевонского возраста. Среди интузий выделены послеверхнедевонские (ингагильские), позднемеловые и послеверхнедевонские (заозские) гранитоиды. С первыми связывается золоторудная минерализация, а с вторыми – вольфрамо-оловянная (с мышьяком и висмутом).

В следующие два года В.Ф. Козырой в целях уточнения вопросов стратиграфии проводились контрольно-уточненные маркеры, после чего была составлена первая геологическая карта листа N-53-ХХII и объяснительная записка к ней [44, 45]. Однако эти материалы не были представлены к опубликованию из-за дискуссионности ряда вопросов геологии района и прежде всего вопросов стратиграфии региона в целом. В последующие годы геологическая изученность сильно возросла: в 1960–1967 гг. Верхне-Селемджинский район был подвергнут картированию в масштабе 1:50 000 Г.И. Некрасовым [57, 58], Л.В. Эирлем [72, 73], В.В. Григорьевым [32], Г.В. Рогановым [63] и А.В. Махниным [54]. В 1967–1969 гг. В.Ф. Зубковым с целью выработки единой легенды и составления сводной геологической карты масштаба 1:50 000 Верхне-Селемджинского золотоносного района были проведены редакционно-уточненные работы с использованием при этом материалов детальных съемок, откорректированных по данным первичной полевой документации [36].

В 1971 г. редакционно-уточненные маршруты прошли В.Ф. Зубковым на востоке территории, не охваченной крупномасштабной съемкой. Они позволили уточнить границы распространения юры и получить материалы для геологической увязки с соседними с востока листом. Что касается пограничных листов с юга, запада и севера, составленных Р.М. Тононом [16], А.К. Егоровым [3] и Ю.А. Мамоновым [8], то тут в большинстве достигнута увязка геологических границ, но не согласуется возрастная трактовка некоторых образований. Это связано с новыми материалами детальных геологических съемок последних лет. В частности, на простирании отложий, рассматривавшихся А.К. Егоровым предположительно верхнепротерозойскими и частично нижнекембрийскими (правобережье Селигканского хребта), обнаружены остатки девонской и каменноугольной фауны и флоры, позволяющие дать этим толщам точную возрастную привязку. Соответственно, это вызвало расхождение в возрастной трактовке частей отложений, распространенных юлью к южной границе листа и счищавшихся Р.М. Тононом также верхнепротерозойскими. Нижний кембрий показан нерасчлененным согласно данным А.В. Махнина [54], снедающейся о принадлежности пород к одному юлью.

При составлении публикуемой карты использованы результаты тематических исследований о золотоносности района, проведенных О.Ф.Шишкановой и Т.А.Югаев [69], биостратиграфические данные о девонских отложениях, полученные Г.Р.Шишканой [70, 71], материалы аэромагнитной съемки М-ба 1:200 000, проведенной в 1956–1963 гг. [20, 29, 30, 37, 68], а для северо-западной части района – съемки М-ба 1:50 000, выполненной Б.И.Гуляевым, А.П.Гапоновым и др. [31, 33, 66].

Таким образом, в основу геологической карты и карты полезных ископаемых листа №-53-ХХУ положены материалы геологического карттирования масштаба 1:50 000 и 1:200 000, поисково-разведочных, тематических и геофизических исследований, дополненные данными редакционно-уточненных маршрутов, прорезанных автором в 1971 г. Достаточно эффективно при этом использовано дешевоизданные аэрофотоснимки масштаба 1:15 000, 1:25 000 (засеты 1962 г.), что сопоставлено с изучением первичных материалов полевых исследований 1955-1957 гг. Во многом способствовало уточнению геологических границ, выявление тектонических разрывов и других геологических и геоморфологических элементов на площасти, не охваченные крупномасштабным картированием. Большая работа по подготовке карт и объяснительной записки к опубликованию проделана научным редактором С.А.Музалевым, которому автор искренне благодарен.

СТАНДАРТЫ

Изучение стратиграфии района сопряжено с большими трудностями, обусловленными отсутствием органических остатков в мелких толщах пород, часть которых неравномерно подверглась метаморфизму. Определенный прогресс в этом отношении достигнут в последние годы благодаря критико-методическому картированию и обнаружению географическим исследованием, в результате которых уточнены возраст, объемы и границы некоторых стратиграфических подразделений, их состав и строение. Тем не менее, еще имеются вопросы, которые не могут быть решены однозначно. В первую очередь это относится к наиболее метаморфизованным породам бассейна Ярги, лишенным истолкаемых остатков. Их стратиграфическое положение остается точно неустановленным и они рассматриваются нами в качестве не просто палеозойских. На севере, в предгорьях хр. Джагын, обнаружены

ПАДЕОЗОИ

Наиболее метаморфизованные породы района (обычно в фации зеленых сланцев) представлены афанасьевской, тальминской и злаятауской свитами (рис. I). С. С. Царюнин и В. Ф. Кошка, впервые выделившие эти свиты, между афанасьевской и тальминской помешали эльгинскую свиту амфиболовых сланцев, но из-за ее небольшой мощности (50–200 м) на публикуемой карте она не изображена и рассматривается в качестве основания тальминской свиты.

Свита названа по к-лу Афанаьевскому. В ее состав входят наиболее метаморфизованные породы района, которые С.С.Дарбиян и В.Ф.Козьра считали архейскими гнейсами. Л.А.Изворин относил их к ортогнейсам, а П.В.Некрасов — к парагородам, указывая на их постепенные переходы в менее метаморфизованные разности. Разделяя, в общем, эту точку зрения, М.П.Материков, однако, считал их продуктами контактового метаморфизма. Окончательно состав и строение свиты уточнены Л.В.Эйдлем и Г.И.Неронским. Обнажена она в ядрах трех антиклинальных структур по к-лу Афанаевскому, рекам Эльгакану и Мал.Наречену. Повсеместно на ней залегает не- большой по мощности, но выдержаный по простиранию горизонт зе- ленокаменных сланцев, явившийся основанием вышележащей тальмы- ской свиты.

Группа	Индекс	Характеристика пород	Мощность в м
Я			
Рж	2100	Зеленогорская свита. Филлитизированные глинистые сланцы и альбомиты, серикит-каланчевые сланцы, рассланцованные песчаники, пласти и линзы мраморизованных известников, зеленокаменные сланцы и микрокварцитов	
Пд	1400-1500	Глинистая свита. Сланцеватые метапесчаники, филлитизированные глинистые сланцы и альбомиты, слюдисто-кальциевые и зеленокаменные сланцы, пласти и линзы микрекварцитов, иногда известняков	
Пд	1000-1500	Афанасьевская свита. Слюдисто-кальциевые, альбомит-альбит-кальцитовые, гра-фит-серпентитовые, кварц-серпентитовые и амфиболовые сланцы	

Рис. I. Stratigraphическая колонка палеозойских отложений

Состав афанасьевской свиты однообразен – в основном это серые слюдисто-альбитовые сланцы, часто с характерным буторчатым внешним обликом за счет наличия порфиробласт альбита. В ее верхах по кл. Афанасьевскому известны пласти и линзы (10-15 м) амфиболовых сланцев с магнетитом. Свита неплохо изучена по многочисленным горным выработкам, но отсутствие первичной слюдистости не позволяет составить сколько-нибудь надежный разрез и ее мощность определяется приближенно в 1000-1500 м.

В состав сланцев входит альбит (25-60%), кварц (25-50%), мусковит(серпентит), биотит и хлорит (20-45%), рудный минерал (до 10%, пылевидный трацит) и зерна граната. Амфиболовые сланцы содержат до 50% актинолита. Структура их лепидотрансформистовая и порфиробластовая. Повсеместно проявлена стебельчатая отдельность и пломбчатость. В бассейне Мал.Нерчинка и у пос. Златоустовска, по периферии Булгакатской и Невьянской антиклиналей, распространены камнелом метаморфизованные породы афанасьевской свиты, более разнообразные по составу. Они представлены пачкой (200 м) темно-серых до черных графит-серпентитовых и графит-серпентит-альбитовых сланцев, на которой застывают переслаивающиеся между собой кварц-серпентитовые (часто с графитом или альбитом) и слюдисто-кальциевые сланцы общей мощностью 250 м. Эта часть разреза больше всего сохранила признаки осадочного происхождения в виде переслаивания пород типа метаварвилитов и метапесчаников. В основном же сланцы свиты метаморфизованы в кварц-альбит-альбитово-альмандиновой (биотитовой) субформации зеленых сланцев (по Ф.Дж.Пернеру).

Местами породы очень сильно рассланцованны и окварцеваны. При этом иногда образуются почти мономинеральные кварцевые местосланцы с реликтиами перекристаллизованных минералов. Но чаще прожилки кварца (от долей миллиметра до 2-3 см) в разной степени насыщают породу по сланцеватости, вынуждая появление крупных зерен мусковита и альбита (повторная альбитизация), а также эпидота и турмалина. Эти наложенные процессы (окварцевание, повторная альбитизация, ороговиковование и т.д.), вероятно, связаны с внедрением мелких интрузий (абсолютный возраст 96 млн. лет), так как этому времени отвечают также данные абсолютного возраста самих сланцев.

Талыминская свита
(Pz1)

Эта свита, как и ниже лежащая, сложена метаморфизованными породами. В ее основании находится горизонт амфиболовых сланцев (50–200 м), ранее выделявшийся в эльтинскую свиту [34, 43]. Разрез талыминской свиты рассматриваемого района следует считать стратиграфическим. Возможным ее стратиграфическим аналогом является Мяинская свита [58].

Талыминская свита сложена метаморфизованными песчаниками (метапесчаниками X), филилизированными глинистыми сланцами и алевролитами (метавальеролитами), сплошисто-кварцевыми (с альбитом) и зеленокаменными сланцами с пластами, линзами микрокварцитов и мраморизованных известняков. Четкий согласный контакт с афанасьевской свитой вскрыт канавами в нескольких местах [58]. В состав зеленокаменных сланцев входит до 60% синевато-зеленого агтиолита, иногда с роговой обманкой, до 25% альбита и переменное количество хлорита, амидита и квартитников магнетита. Реликты лиабазовых структур и табличчатых вкрапленийиков свидетельствуют о первично вулканической природе амфболитовых сланцев. Переход в выше лежащие образования осуществляется через переслаивание их со слюдисто-кварцевыми сланцами [58]. Мощность последних на правобережье Курумканы (северное крыло Афанасьевской антиклинали) 220 м. На них залегают зеленокаменные сланцы (65 м), а выше – филилизированные глинистые сланцы (200 м) с пачкой сланцеватых метавальеролитов (50 м). Неподалеку от талыминской свиты здесь 730 м. Этот разрез характеризует наиболее однородное ее строение, возможно, обусловленное сильно проявленным метаморфизмом.

Западнее, в верховых Курумканы (южное крыло Катаринской антиклинали), разрез свиты следующий (в м):

1. Филилизированные глинистые сланцы	30
2. Метапесчаники сланцеватые метаклерогенные	10

X.)

Приставка "мета" будет употребляться для названий метаморфизованных пород, сохранивших реликты осадочных структур.

XX.) Разрезы дочетвертичных образований проводятся снизу вверх.

3. Серпент-хлоритовые сланцы, известковистые и тuffогенные метавальеролиты	20
4. Метапесчаники сланцеватые мелко-зернистые	10
5. Филилизированные глинистые сланцы кварцевые сланцы	15
6. Метапесчаники и альбит-мусковит-кварцевые сланцы	15
7. Серпент-хлорит-кварцевые и мусковит-кварцевые сланцы	40
8. Альбит-мусковит-кварцевые сланцы	30
9. Серпент-хлорит-кварцевые и филилизированные глинистые сланцы	65
10. Филилизированние глинистые и серпент-кварцевые сланцы	57
11. Микрокварциты	13
12. Метапесчаники мелкозернистые	20
13. Микрокварциты	10
14. Метавальеролиты и альбит-хлорит-кварцевые сланцы	20
15. Зеленокаменные сланцы	20
16. Микрокварциты	15
17. Метапесчаники мелкозернистые	16
18. Метавальеролиты и серпент-кварцевые сланцы	30
19. Метапесчаники известковистые	15
20. Филилизированные глинистые и альбит-хлорит-кварцевые сланцы известковистые	105
21. Переслаивание (через 0,3–5 м) метавальеролитов, метапесчаников и альбит-хлорит-кварцевых сланцев	75
22. Метапесчаники известковистые	10
23. Серпент-хлоритовые и филилизированные глинистые сланцы с прослоями микрокварцитов и метапесчаников	54

В приведенном разрезе мощность 700 м опускает нижнюю и верхнюю части свиты, тем не менее он в достаточной степени отражает ее строение. Для верхов свиты характерно переслаивание (в частности тонкое) серых метапесчаников (0,5–2 см) с черными филилизированными глинистыми сланцами и алевролитами, что позволило Л.В. Эйриду выделить верхнеталыминский подраздел [72].

Такое строение смыкает ее со златоустовской свитой и при плохой обнаженности границу между ними провести бывает трудно.

Породы метаморфизованы крайне неравномерно и наиболее сильно в пределах афанасьевской структуры и на ее западном продолжении. Здесь они преобразованы в слюдисто-кварцевые сланцы, состоящие из серпилита (мусковита), хлорита, альбита и кварца. Обычно сланцы обрашованы по алевролитовым породам, а в песчаниках чаще замещен только цемент и они имеют блестящесланцевую структуру. В их составе до 5% зерен кварца, 25% альбитизированных полевых шпатов, серпилит, альбит и хлорит. Темно-серые, почти черные филилизированные глинистые сланцы и алевролиты, помимо серпилита (до 40%) с новообразованиями альбита, иногда гравитата, содержат до 40% глинистого вещества. Все эти породы тонколичинчаты, часто плойчаты, с шелковистым блеском по плоскостям сланцеватости. Серые и пестроокрашенные микрокварциты (часто с реликтами перекристаллизованных радиолариев) и зелено-каменные сланцы встречаются совместно. С ними обычно ассоциируются мраморизованные известняки и серпилит-хлорит-карбонатные сланцы (очевидно, по мергелям). Зеленокаменные сланцы (актинолит, эпидот, хлорит, серпилит, реликты птицеказа) относятся к вулканитам, так как содержат реликты областолюбивых или юртовых структур. Мощность тальминской свиты 1200-1500 м.

Златоустовская свита (Р2э1)

Лицанская свита с нижележащей тальминской обычно имеет нормальный стратиграфический контакт, но иногда к нему прокрученны тела метагабброритов. Разрезы златоустовской свиты изучены главным образом по горным выработкам, а на юге района — в естественных выходах. Для нее характерно преобладание в разрезе алевролитовых и известковистых пород: известняков (мраморов) в ней значительно больше, а зеленокаменных сланцев и микрокварцитов меньше, чем в тальминской свите. Часто метапесчаники тонко переслаиваются с метапеллитами и сланцами, что придает разрезу флишонный облик.

Наиболее мощный разрез (2100 м) изучен каналами по водоразделу Пакастах — Бол. Эльга. Он сложен чередующимися пластами (20-50 м) или более мощными горизонтами (до 145 м) филилизированных алевролитов, глинистых сланцев, метапесчаников и пачками

переслаивания тех же пород, но в виде более тонких слоев (от 10-15 см до 20 м). Отдельные пласти также неоднородны и содержат редкие прослои других пород. В верхах свиты затягивает пласт (40 м) мраморизованных известняков, а многие породы известковисты. Больше всего известняков в низах свиты (р. Тальма, левобережье Харги), где они образуют пепельные линзы мощностью от 0,5-2 до 50 м. Кроме того, сланцы в разных частях свиты содержат слойки и линзоны известняков до 2-10 см. Зеленокаменные сланцы, обрашающие редкие непротяженные пласти мощностью 3-20 м, состоят из переменных количеств актинолита, хлорита, эпидота и альбита.

Все породы интенсивно серпилитизированы и сланцеваты, со стябельчатой и брусковой отдельностью, часто плойчатые. Метаморфизованы они очень неравномерно — от слабо филилизированных разностей до серпилит-хлорит-кварцевых сланцев с альбитом. Структуры пород меняются от нормально-классических до блоковых. Наибольшая мощность златоустовской свиты 2100 м, но не исключено, что она замечена из-за неучтенной местной складчатости. По другим данным [32, 72], она равна 1200 м.

Органическими остатками афанасьевская, тальминская и златоустовская свиты не охарактеризованы. Исходя из относительно ясного метаморфизма пород, большинство исследователей относили их к докембрию [5, 34, 43, 58, 72 и др.]. Следует учитывать, что в соседних районах в тождественных по составу и строению разрезах, считавшихся раньше также докембринскими, в последние годы найдены палеозойские остатки. Так, учитывая соотношение метаморфических щитов с фаунистически охарактеризованными отложениями, М. Т. Гурбин и В. В. Ольков на листах № 52-ХII и ХIII условно отнесли их к девону и силур, а А. А. Майборода на листе № 52-ХХIX датировал златоустовскую и сатурскую свиты просто палеозоем. Не облажая пока никакими дополнительными материалами, уточнившими возраст афанасьевской, тальминской и златоустовской свит, мы полагаем наиболее оправданное относить их вообще к палеозою. Эти свиты, залегающие между собой согласно, образуют единий в литологическом и метаморфическом отношении комплекс пород (см. рис. I), достаточно четко отличающийся от других образований района как мезозойских, так и кайнозойских кембрийских и девонско-каменноугольных.

КОМЕРИЙСКАЯ СИСТЕМА

Нижний отдел (\mathfrak{G}_1)

Ондел сложен песчаниками и яйцами с пластами и линзами диабазовых порфиритов, алевролитов, гравелитов и известняков. Изучены отложения по естественным выходам, а на левобережье Имата с применением канав. В большей части – это массивные зеленовато-серые мелкозернистые песчаники и серые яйца, слагающие линзы и мощные (до 115 м) горизонты. Пласти и линзы других пород маломощны (до 25 м) и не выдержаны по прослоянию.

В разрезе на левобережье Иматы прослеживаются (в м):

I. Песчаники с прослоями (до 1 м)	
алевролитов	350
2. Песчаники зеленовато-серые массивные	
3. Яйца серые массивные	540
4. Песчаники с прослоями алевролитов	15
5. Яйца серые массивные	150
6. Песчаники с прослоями алевролитов	105
7. Яйца светло-серые массивные	30
8. Песчаники	25
9. Яйца	10
10. Песчаники с прослоями (10–15 см)	15
алевролитов	80
II. Алевролиты темно-серые массивные	15
12. Яйца серые массивные	114
Общая мощность	1450 м.

Г.В.Роганов эти отложения включал частично в геройканскую

и частично в правоиматинскую толщу нижнего комория, а А.В.Макарин считал их каменоутолито-пермскими. Однако стратиграфическое положение данной толщи во многом еще неясно: она ограничена тектоническими разрывами и лишена органических остатков. Наиболее целесообразно за рассматриваемыми отложениями (не подразделенных на свиты) оставить нижнекоморийский возраст, как это при- нято на соседних листах А.К.Боровым [3] и Ю.А.Немировым 8 для ульгянской и оннетской свит, находящихся на просушении этих отложений. Последняя из них близ западной границы района содержит известники с остатками водорослей, напоминающими, по-

Левонские отложения достаточно широко распространены по правобережью Селенги. Если нижний левон разделен несколькими, то средний (акрининская свита) хорошо характеризован фацией.

Нижний отдел

Минио И.Т.Буравлевой, нижнекоморийские [3].

ДЕВОНОСАЯ СИСТЕМА

Нижний левон разделен на две толщи – среднюю и верхнюю. Нижней толщи, имеющейся, по данным С.И.Горюхова, в соседних районах, на территории листа №53-ХУ1 неизвестно.

Средняя толща (R_1^2) от нижнего комория отделена крупным разрывом. Южный контакт (верхний) в большей части также тектонический. Обнажена толща плохо и ее разрезы изучались с помощью горных выработок в верховых Кегиракха и Иматы. В строении толщи участвуют главным образом конгломератобрекчи, содержащие пласти (1–50 м) и более мощные горизонты (до 290 м) полимитовых песчаников, реже алевролитов, диабазовых порфиритов (25–60 м) и серых кремнистых пород (до 10 м). Единичные линзы известняков мощностью 1–1,5 м встречаются в средней части толщи. Вообще же, ей присущи фациальные изменения по прослойанию. Так, к западу от р.Кентраха и на правобережье Иматы она сложена в основном песчаниками, замешающими конгломератобрекчи. Присутствуют здесь и пачки (до 50 м) тонкого переслаивания (через 0,2–4 см) песчаников и алевролитов.

В контломератобрекчиях обломочный материал размером от 0,5 см до 1,5 м не отсортирован и представлен в основном песчаниками с примесью кремнистых пород, седиментационных брекчий и известняков. Мелкие обломки уплощены, а наиболее крупные – округлой, эллипсоидной формы. Полимитовые песчаники, помимо полевых шпатов (до 65%) и кварца (до 30%), содержат 15–20% обломков южных и средних вулканических пород, иногда алевролитов. Серые, зеленовато-серые кремни состоят из микрозернистого или

х.) Это название будет применяться к осадочным породам, почти нацело состоящим из кремнезема.

криптокристаллического агрегата кварца. По р.Кенураху в верхах разреза залегает пачка слоистых алевролитов мощностью 170 м с протластками (до 50 см) песчаников. В алевролитах много остатков крабов *Strobiloptera* sp., *Ranestella* sp. и неопределенных остатков криодиелей. В верховых Итматы в самых низах наблюдаемого разреза обнаружен обломок, принадлежащий, по мнению Г.Р.Шимко, *Spirifer* (?) sp. Мощность толщи по р.Кенураху 2100 м, а в верховых Итматы 1550 м.

В е р х и я т о л щ а (D_1^3) согласно залегает на предыдущей (р.Кенурах) или контактирует с ней текстурически. Она сложена преимущественно песчаниками, некоторым подчинены алевролиты, кремни, лиасазы и гравелиты.

По левобережью Кенураха с использованием горных выработок составлен следующий разрез верхней толщи (в м):

1. Алевролиты	155
2. Кремни полосчатые	30
3. Гравелиты	25
4. Кремни полосчатые	10
5. Алевролиты	130
6. Песчаники с пластом (30 м) гравелитов	170
7. Алевролиты	10
8. Песчаники с редкими прослоями (до 10 см) алевролитов, брекчии и обрывки ми членисто-стебельных растений	100
9. Песчаники с прослойками до 10 см алевролитов и брекции	465
10. Седиментационные брекции с пластами (до 3 м) алевролитов и остатками <i>Reticularia</i> sp. <i>Indet.</i> , неопределенными криодиелей и обрывками	45
11. Песчаники с прослойками (до 5 см) алевролитов и кремней	240
12. Кремни пестрополосные и полосчатые	255
13. Песчаники с редкими пластами (до 5 м) алевролитов	285

I4. Кремни и туфы лиасазовых порфиритов	15
I5. Песчаники с редкими пластами алевролитов	195
I6. Пересяживание алевролитов (до 0,2 м) и песчаников (0,1-2 м)	120
I7. Песчаники с прослойми	145
I8. Кремни массивные зеленовато-серые	135
I9. Песчаники	60
20. Кремни пестролитовые	65
21. Лиасазовые порфириты	45
Мощность толщи здесь 2700 м.	

Лиасазы,

вмещающие разрез, слагают наиболее выдержаный по простиранию горизонт переменной мощности - от 40 до 450 м. В верховье Прямого Кенураха в нем установлена линза (3,5 x 30 м) родохрозит-родонитовой породы. Как видно из приведенного разре-

за, толща сложена преимущественно полимиктовыми песчаниками. Пласти кремней и лиасазов, как и линзы грубоблочистых отложений, встречаются на разных уровнях разреза толщи. Сेяровые, реже пестролитовые кремни как обычно состоят из микрозернисто-

го или криптокристаллического кварца. Обломочный материал (0,5-3 см) псевдокристаллических пород самый разнообразный: кварц, различные зернушки, кремни, песчаники, алевролиты, кварциты, граниты. Перекристаллизованные колонны мышонок определены *Tetrapora* sp. и *Cystopora* sp., обнаруженные в верхней толще, к сожалению, не вносят достаточной ясности в определение ее возраста. Тектонические же данные свидетельствуют, что обе девонские толщи, нижняя из которых имеет базальный характер, залегают стратиграфически ниже слоев с эйрельской фауной, образуя с ними непрерывный разрез. На этом основании обе толщи считаются нижнедевонскими, однако такой возраст в некоторой степени условный.

С р е д н и й о т д е л

Среднедевонские отложения, залегающие на описанных выше толщах, выделены нами под названием акринитической свиты с обильной фауной эйреля в низах ее разреза. Достаточно чётко акринитическая свита подразделяется на приподнятую.

* Нижнекаринтийская полесьята
(Dzak_I) представляет собой мощную (до 1700 м) толщу алевролитов, песчаников и органогенных известняков с редкими пластами кремней и диасазов. Она выделяется нами в нижнекаринтийскую подсвиту по названию реки, где изучался разрез. Ее нижней границей является почва мощного (100-140 м) гомонита алевролитов, залегающих на длибах посттищайской толщи. Верхней границей служит выдернутый по простирию пласт кремней.

Разрезы сняты изучены по береговым обнажениям Селивана, по рекам Бол.Акриле и Кенураху; хотя наиболее обнаружен разрез по р.Бол.Акриле (в м):

1. Алевролиты с прослоями (1-3 м) песчаников и брекций	165
2. Известники темно-серые с остатками брекчийопол. Desquamatia sp., Lasutkinia sp. nov., перекристаллизованных крем- ней, пелепитоп и гастропод	30
3. Алевролиты	80
4. Кремни серые масивные	10
5. Известники темно-серые	35
6. Кремни серые с пластом (5 м) из- вестников	30
7. Алевролиты	145
8. Известники светло-серые масивные с остатками тасгумы Coenites sp. nov., Oculipora sp., Gracilopora (?) sp., Thamnopora sp., Aulopora sp., строматопоридей Syn- thetostroma cf. actinostromoides Lec.	50
9. Алевролиты	60
10. Песчаники	95
11. Известники с перекристаллизованными останками кораллов и криптоней	30
12. Алевролиты	10
13. Известники с остатками Favosites sp. indet., перекристаллизованных ветвистых кораллов, строматопоридей и криптоней	165
14. Пересяживание пластов песчаников (25-45 м) и алевролитов (10-35 м)	150
15. Песчаники	

16. Алевролиты	10
17. Известники темно-серые до чешуйчатых с остатками брахиопод плохой сохранности	10
18. Алевролиты мышичные и грубослоистые	70
19. Песчаники с прослоями алевролитов	165
20. Известники светло-серые с остатками морских лилий Cupressocrinites cf. minor Yelt., c. cf. gracilis Goldf.	35

Мощность подошвы здесь 1350 м.

Характер переслаивания песчаников и алевролитов устойчив по прослоям, а известники быстро выклиниваются, прослеживаются на I-2, иногда 4 км. Известники обычно состоят из обломков членников криптоней, раковин брахиопод и скелетных остатков кораллов, мшанок и фораминифер, скрепленных микрозернистым кальцитом. С уменьшением органогенного материала они переходят в разности, сложенные однородным микрозернистым кальцитом. В известниках установлены брахиоподы Desquamatia sp., Dentatypa kolympensis (Nal.), D. cf. kolymensis (Nal.) var. intermedia (Khol.). Attypa devoniana Webst. var. matutinalis Khol., A. devoniense Webst. var. descrevencis P. et P., Matmatypa flabellata (Roem.), M. flabellata (Roem.) var. prunulum Gort., Lasutkinia sp. nov., криптоней Cypraeosocrinites cf. minor Yelt., C. cf. gracilis Goldf., Anthincrinus sp., Mediocrinus cf. medius (Yelt.) M. persimilis (J. Dubat.), Pentagonocyclicus dentatus (Quen.) var. echinata Yelt., тасгумы Favosites sp., Oculipora sp., Thamnopora sp., Cladopora sp., Trachypora sp., Corolites sp., Crassialveolites sp., Cerasites sp. nov., Aulopora sp., Gracilulites sp., Рузы Acanthophyllum? sp., Taimirophyllum sp., строматопоридей Clathrocoelium sp., Synthetostroma sp., S. cf. actinostromoides Lec., Stromatopora boissachinovi Javor., Simplexodictyon coninconicum Kurom., мшанки Semioscinium striatum Nekh., S. rachkovskii Nekh., S. graniferum (Hall), Fenestella vera Ulrich.

x) Брахиоподы и скелеты морских лилий изучались Г.Р.Шишкогой, кораллы - В.Н.Лугавским (тасгумы) и Н.И.Вестразицким (рузы), строматопоридей - В.Г.Дромек, мшанки - Т.В.Романчук.

Главное значение для определения возраста отложений имеет брахиоподы, большинство которых, по мнению Г.Р.Шмидтой, являются руководящими для юрского яруса. Об этом же свидетельствуют лилии из рода *Cyrtosaccites*, впервые установленные на Дальнем Востоке. Табулин, по заключению В.Н.Дубаева, также среднелевонские, скорее всего, эйфельские.

Среднеакиринская полоса (D_{2ak_2}) простягивается от р.Кечура до восточной границы листа. Близ этой границы, в прослоиках и линзах известняков В.И.Андреевым обнаружены остатки среднелевонских строматолитов и кораллов.

Наиболее полно полоса обнажена в сероговых обнажениях Селикана. Здесь на краях низнеакиринской полосы залегают (в м.):

I. Песчаники с пластами (до 10 м) алевролитов	315
2. Алевролиты юнколомские	35
3. Песчаники с прослойками (до 10 см) алевролитов	105
4. Алевролиты массивные	35
5. Песчаники с прослойками (до 1 м) алевролитов	125
6. Алевролиты	30
7. Переслаивание алевролитов и песчаников (1-5 м)	25
8. Песчаники с редкими прослойками (до 10 см) алевролитов	270
9. Переслаивание алевролитов и песчаников (5-20 см)	60
10. Песчаники с пластом (10 м) алевролитов	50
I. Переслаивание алевролитов и песчаников (5-20 см)	25
II. Песчаники	145
III. Алевролиты	30
IV. Песчаники с редкими прослойками (10-40 см) алевролитов	500

Мощность подсвиты 1750 м, к западу она уменьшается до 1100 м.

Фациальные изменения выражаются в большем или меньшем содержании в подсвите алевролитов. У юго-западного берега известна линза известняков (10 x 40 м) с реликтами перекристаллизованных кораллов и криноидей.

В выходах вдоль Селиканской состав среднекиринской подсвиты туфогенный. В нижней части песчаников, но по пространению к северо-востоку в разрезе преобладающими становятся алевролиты и аргиллиты. Песчаники и туфы встречаются в них отдельными пластами. Более мощные пласти туфов наложены выше по разрезу, неизменно обнаженному по р.Мал.Селиканию (в м.):

1. Туфы массивные, иногда полосчатые	40
2. Переслаивание туфов (5-10 м) и аргиллитов (1-5 м)	30
3. Аргиллиты с прожилками песчаников	40
4. Туфы полосчатые	60
5. Переслаивание аргиллитов и песчаников	27
6. Аргиллиты рассланцованные с пластами песчаников	103

Туфы во многих случаях содержат пропластки кремней и пласти известников мощностью 1-2 м. Самые верхние части подсвиты (400 м) иногда на 80-90% состоят из диабазов - массивных и неизвестных минералов пород, состоящих из хлорита-эпидот-актинолитового агрегата, содержащего остаточки измененных минералов и спилитов. Кварц-полевошпатовые песчаники и алевролиты породы обычно массивны, а близ разломов сланцеваты. Их гофротные разности содержат обломочки аллювиального материала. Известники сильно мраморизованы.

Верхняя среднелевонская полоса (D_{2ak_3}) по составу близка к средней полосе, но для нее характерны мощные (до 350 м) горизонты кремней и диабазов. В ее основании находится горизонт (150-200 м) кремней, иногда диабазов. Наиболее полно разрез этой подсвиты изучен по правому берегу Селиканы. Здесь на песчаниках средней полосы согласно залегают [63] (в м.):

I. Кремни серые с прослойками алевро-	
литов	20
2. Диабазы	70
3. Песчаники с прослойками (5-20 см)	
алевролитов	80
4. Алевролиты массивные	35
5. Песчаники с редкими пластами (до 10 м) алевролитов и седиментационных бре-чий	490
7. Песчаники с редкими прослойками (0,2-0,5 м) алевролитов	175
8. Алевролиты массивные	35
9. Песчаники	120

Продолжение разреза можно видеть на левобережье Селемджи:

10. Кремни серые слоистые с пропластка-ми (1-20 см) известняков, содержащих пер-кристаллизованные кораллы и криноиды	>60
11. Диабазы	20
12. Кремнисто-глинистые породы зеленые, красные, черные тонкослоистые	30

Важе залягают однообразные песчаники с прослойками алевро-литов с остатками растений фамена-вице. У устья к.Логосновского и на левобережье Селемджи в известняках Г.Р.Шишканой уста-новлены остатки *Cyprissocrinites?* sp., а в междууречье Прямого Кентраха и к.Логосновского - многочисленные, но неопределенны кораллы и криноиды. Глины известняка из аллювия левого притока Прямого Кентраха содержат левонские кораллы *Trocholites* sp.

Возраст средне- и верхнеакрдиинской подсвиты из-за плохой сохранности органических остатков палеонтологически не может быть точно определен, но поскольку они без стратиграфических перекиров наращивают нижнюю подсвиту с эмельской бачной, а из-вестники верхней подсвиты содержат *Cyprissocrinites?* sp. и *Trocholites* sp., их достаточно надежно можно считать среднедевон-скими, скорее всего, эмельскими.

В е р х н и й о т д е л д е в о н с к о й - н и ж н и й о т д е л к а м е н о у г о л и н о й с и с т е м и (D₃ - C₁)

Большой р.Селемджи широко распространена толща пре- имущественно песчаников, возраст которых В.Б.Григорьев тракто- вал средним-верхним палеозоем, Л.В.Эйрии включил их в селемджин- скую свиту верхнего палеозоя, а Г.В.Роганов и А.В.Махнин поме- сяли в верхнюю среднюю кембрийскую. Трудно установить нижнюю границу этой толщи трудно, так как рассматриваемые породы соотносятся со средним девоном по текtonическим kontaktам, отчетливо выра- женным на аэрофотоснимках и местности. Разрезы толщи печально изучены по долинам Селемджи и Унерикана. Так, наиболее полный разрез изучен В.Б.Григорьевым в бассейне руч.Бодлинского по ре- кам Селемджи и Унерикана. На востораделе Селемджи с руч.Бодлин- ским в низах разреза, слагая ядро антиклинали, залягают мелко- зернистые песчаники мощностью 700-800 м с пропластками (до 20 см) черных алевролитов, содержащих иногда растительный лей- рит, и пачками (до 10 м) тонкого (0,1-3 см) переслаивания пес- чаников с алевролитами и аргиллитами. Выше лежащий горизонт пес- чаников (200 м) включает единичные пласти (10-20 м) и линзы кремней и зеленокаменных пород.	
Далее разрез наращивается по рекам Селемджи и Унерикана, где хорошо обнажены (в м):	
1. Кремни серые	25
2. Алевролиты узловатые оротовикован- ные	20
3. Песчаники с редкими прослойками (до 20 см) алевролитов	230
4. Кремни с пластом (10 м) кристалли- ческого известняка	85
5. Песчаники с прослойками (до 20 см) и редкими пластами (1-13 м) алевролитов и аргиллитов, а также с пачками (0,5-18 м)	615
6. Алевролиты с прослойками (до 20 см) песчаников	29

7. Песчаники с редкими прослоями	
черных утливых артиллитов (3-5 см) и	
алевролитов (до 20 см)	89
8. Кремни и кремнисто-глинистые по-	
ролы с пластом (9 м) кристаллического	
известника	66
9. Песчаники с прослоями (до 20 см),	
пластами (до 4 м) алевролитов и пачками	
их тонкого переслаивания	394

Далее, по правобережью Унерикана, канавами прослежены алевролиты выше лежащей толщи. Общая мощность приведенного разреза 2500 м, но, возможно, она завышена из-за неутренних осложнений тектонического порядка.

Из других местах строение этой толщи, в общем, однообразно — это серые мелковазистые массивные песчаники с прослоями (10-40 см) и редкими пластами в несколько метров алевролитов и кремнисто-глинистых пород. В 250 м выше устья Максина прослон алевролитов содержит остатки растений. В настоящее время найдено хорошо сохранившиеся растительные остатки, помимо давно известного местонахождения у устья Максина [44], известны по правобережью Унерикана, а близ западной границы леса — у устья Мал. Тарнажа и в районе пос. Токура. Наиболее важна максинская коллекция ископаемых остатков. Г.П. Радченко высказал предположение о последнем палеогеновом возрасте остатков этих растений. Е.Ф. Чиркова-Залесская, изучавшая, помимо максинских, коллекции из бассейна р. Токи, считает, что, судя по отпечаткам побегов плавников *Lepidostrobus* sp. и обрывкам коры *Holopea* и *Holopella*, возраст пород фамен-визейский. Это мнение несколько поддержала и Н.М. Петроски.

КАМЕННОУГОЛЬНАЯ СИСТЕМА

Нижний отдел

Толща алевролитов, аргиллитов и песчаников (C_1^1) согласно залегает на песчаниках предыдущей толщи, что установлено и в естественных выходах, и в горных выработках.

На правобережье Унерикана между дороги Экимчан-Ольгинск выше песчаников канавами прослойны [32] (3 м):

I. Алевролиты с прослоями (0,2-10 см)	
песчаников и линзочками (до 3 см) карбо-	
натов	51
2. Алевролиты и артиллиты с редкими	
прослоями (до 30-40 см) кристаллических	
известняков	50
3. Алевролиты и артиллиты известко-	
вистые	109
4. Алевролиты и артиллиты с редкими	
прослоjkами (2-10 см) песчаников и лин-	
зочками (до 3 см) карбоналов; в верхах	
пласты песчаников до 1,5 м	240
Мощность толщи 450 м.	
Иногда в составе толщи наблюдаются пачки тонкого пересла-	
ивания артиллитов, алевролитов и зеленовато-серых хлорит-сери-	
тил-карбонатных сланцев, образованных, вероятно, по мергелям.	
Алевролиты и артиллиты слабо фумилизированы и глинистый мате-	
риал в них частично замещен серпентитом и хлоритом.	
По левобережью Селемджи у к. Огонер в составе толщи также	
резко преобладают массивные и тонкостольные алевролиты, в коло-	
рых песчаниках образуют прослой (20 см) или более мощные пласти.	
Наблюдаются пачки их тонкого переслаивания. Кроме того, в бас-	
сейте к. Огонер встречаются контомераты и брекчи из юфосцитом	
нескольких метров по 120 м. Они состоят из галек и обломков	
(3-4 см) песчаников, алевролитов и кремней.	
Т о л щ а п е с ч а н и к о в , а л е в р о л и т о в	
и г л и н и с т и х с л а н ц е в (C_1^2) детально изу-	
чена по хорошо обнаженным склонам долины Унерикана.	
Здесь на алевролитах предыдущей толщи согласно залегают	
(3 м):	
1. Микрокварциты с прослойками песча-	
ников и алевролитов	30
2. Песчаники сланцеватые	52
3. Переслаивание (5-10 см) алевролитов	
и песчаников	16
4. Хорнит-эпидот-актинолитовые сланцы	
5. Переслаивание песчаников и алевро-	
литов	42
6. Хорнит-эпидот-актинолитовые сланцы	
	24

7. Песчаники с прослойками (до 10 см) алевролитов	130
8. Глинистые сланцы	35
9. Песчаники с прослойками (до 10 см) алевролитов	60
10. Пересланывание песчаников и алевролитов	35
11. Хлорит-серцит-карбонатные сланцы	10
12. Пересланывание (2-10 см) песчаников и алевролитов	50
13. Глинистые сланцы известковистые	55
14. Пересланывание (30-50 см) песчаников и алевролитов	120
15. Песчаники	65
16. Пересланывание (30-50 см) песчаников и алевролитов	210
17. Пересланывание (1-2 см) песчаников и алевролитов	30
18. Глинистые сланцы с редкими прослоями песчаников, а в верхах - кристаллических известняков (20 см)	130
19. Пересланывание (10-20 см) песчаников и алевролитов	30
20. Алевролиты	30
21. Глинистые сланцы, иногда известковистые	100
22. Алевролиты с редкими прослойками (10-20 см) песчаников и известняков	80

Подобный разрез толща имеет и в верховых Мал.Бруса. Известники в ее составе слагают линзы мощностью до 3 м в низах разреза. Они сильно мраморизованы и сложены мелкосернистым кальцитом. Серые песчаники часто сланцеваты и состоят из 40-50% кварца и 35-60% серпентинизированных плагиоклазов, иногда обломков микрокварца. Обломочный материал хорошо отсортирован. Темно-серые до черных алевролиты и глинистые сланцы филитизированы, иногда с шелковистым блеском на плоскостях сланцеватости. Зеленокаменные породы на 70-75% состоят из актинолита, хлорита и амфибола. Часто они сохраняют пластинчатую структуру, свидетельствующую об их южнозападной природе.

Не совсем ясным остается стратиграфическое положение отложений, распространенных в верховых Таммы и Крестовой Эльи. С С.Дарбиняном они включались в таллинскую свиту, хотя многочисленные элементы залегания свидетельствуют о положении их выше златогустовской. В разрезе здесь преобладают темно-серые песчаники сланцеватые, плитчатые, часто складчатые, с прослойками черных филитизированных алевролитов. Согласно принятой нами стратиграфической схеме они относят нижнекаменноугольной толще песчаников и алевролитов. Однако подобная стратиграфическая корреляция должна рассматриваться как условная.

ЮРСКАЯ СИСТЕМА

Нижний огдел

Согласно данным Э.Л.Хоктова и Л.В.Эйдрича юрские отложения были известны в бассейне Карий и верховых Селеджи. В 1970-1972 гг. они установлены и на соседнем с востока листе, откуда частично заходят в пределы рассматриваемого района. Эти отложения, относящиеся к нижней юре, образуют одну, нижнюю, толщу. Нижняя толща (J_1') распространена между Селенджской и верховьями Эльтгакана и сложена в основном песчаниками. Северо-восточные, до меридиональных, текtonические разрывы отделяют эту толщу рассланцованных песчаников от сланцев залогустовской и таллинской свит. На аэрофотоснимках видно и наименными наименованиями подтверждено, что в низовьях Кайтава и далее к юго-западу эти разрывные нарушения замечены дайками гранит-порфиров. О наличии текtonического контакта в верховых Эльгакана свидетельствует резкая смена по профилю зеленосланцево-карбонатной пачки златогустовской свиты сланцеватыми песчаниками. На их стыке очень сильно проявлено окварцевание, осаждение и микроскальчание лейформами.

Нижнекамская толща сложена зеленовато-серыми или серыми песчаниками с глубо- или тонкоплитчатой отдельностью. Пласти и малоизменные прослойки черных, темно-серых или зеленовато-серых алевролитов встречаются редко (реки Кайтав, Калактах). Песчаники - среднезернистые неслойстые породы тонкосланцеватой текстуры, состоящие из утловатых обломков кварца (до 90%), плагиоклазов, калиевого полевого шата. Крупнозернистые песчаники

ретки. Они полимиктовые, включая до 25% обломочков в 1-2 мм алевролитов и кремнисто-глинистых сланцев. Структура песчаников чаще сластиономитовая. Алевролитовый пемент частично или полностью замещен кварц-хлорит-серритовым агрегатом. Серрит, расположаясь в плоскостях сланцеватости, придает порогам шелковистый блеск. Характерный облик песчаникам придает их морщинистость. Складочки шириной 1-1,5 см развиваются по пакетам сланцеватости. Оси складочек почти параллельны простирации плоскости сланцеватости. Иногда осевые линии пересекаются под острым углом, и тогда морщинистость приобретает своеобразный ромбовидный рисунок. Местами проявленна более крупная гофрировка, и песчаники, раскалываясь по плоскостям сланцеватости, имеют облик шифера.

Мощность толщи может быть определена только приближенно. Вычисленная трафиками с учетом данных по соседней территории она составляет не менее 2500 м. Возраст рассмотренной толщи определяется согласно данным соседней с востока территории, куда протягивается она в верхнем Селимжи и Нимелена. В 1969-1970 гг. в верховых Кумусуна Б.И.Лютиковым обнаружены остатки мезозойских билемнитов, а в истоках Нимелена — отпечаток твердино-го аммонита. Важны нахождения им в 1972 г. в верховых Селимжи отпечатки *Reticularius*, характеризующих типичным образом нижнюю толщу.

МЕЛОВАЯ СИСТЕМА

На севере, за юг Селимканского хребта, и на юго-западе района распространены аргиллитные и туфогенно-осадочные породы, относящиеся в основном к нижнему мею, и лишь верхняя толща, обозначенная кварцевыми порфирями, — к верхнему.

Нижний отдел

Т о л п а т у ф о в ф е л ь з и т о в и х и
к в а р ц и т о в и х п о р ф и р о в (λ¹К₁) залегает
в основании купланогенного разреза района. В ее низах иногда прослеживается пачка туфогенно-осадочных пород мощностью 65-125 м. Так, в истоках Мал.Брюса в обнажении видно, что на глинистых сланцах нижнего карбона залегает пласт (20 м) крупно-и

мелкогранularных конгломератов, выше которого располагаются туфогенные гравеллы, брекчи и песчаники мощностью 45 м. На правобережье Имбары и умерикана мощность обломочных пород увеличивается до 125 м и они представлены глянцевым образом конгломератами, крупнообломочными и глинистыми брекчиями с пачками туфогесчаников, туфов, а также дацитов и андезитовых порфиритов. Плохо отсортированный обломочный материал этих пород состоит из кремнистых, кремнисто-глинистых и территенных образований палеозоя, реже встречаются интаглийские гранитоиды и мелкозернистые гравийники. На туфогенно-осадочной пачке или непосредственно на палеозойских отложениях залегают туфы фельзитов, фельзитовых и кварцевых порфиров перекристаллизованной мощности (от 400 м по р.Имбаре до 65 м в верховых Мал.Брюса). В целом мощность толщи колеблется от 100 до 550 м.

Туфы представлены псамитовыми, реже алевролитовыми, крупнообломочными, лапиллическими и агломератовыми разностями. Протокластический материал в них состоит из обломков фельзитов, фельзит-порфиров, кварцевых порфиров, осколков кристаллов плагиоказов, калишапки и кверца. Протокластический пемент серпентинирован и хлоритизирован. В нижней и средней частях разреза туфы иногда содержат маломодальные потоки лав фельзитов, фельзит-порфиров и кварцевых порфиров.

Т о л п а т у ф о в , л а в а н д е з и т о в и х
п о р ф и р и т о в (К₁), перекрывающая по Унерикану нижележащие яйцевые туфы, залегает в основном на палеозойских образованиях. Нижняя часть толщи хорошо обнажена в истоках Мал.Брюса, где на туфах фельзит-порфиров залегают (в м):

1. Андезиты широковальные	10
2. Туфы андезитовых порфиритов псамmitовые	35
3. Туфы андезитовых порфиритов крупнообломочные	10
4. Туфы андезитовых порфиритов псамmitовые	50
5. Андезиты широковальные	45

Мощность толщи 150 м.

В окрестностях г.Брюс и верховых Махтерги наряду с туфами в низах толщи обнаружены конгломераты и брекчии, мощность которых достигает 100 м, но обычно она значительно меньше.

Наиболее полный разрез толщи наблюдается по правобережью Унерика.

Здесь на таламинской свите залегают (в м):

1. Контактограниты мелкогалечные (α' K _T)	5
2. Переслаивание крупнообломочных и паковитых туфов андезитовых порфиритов	70
3. Ритмичное переслаивание крупнообломочных и ломочных, паковитых и алевритовых туфов андезитовых порфиритов	65
4. Лавобрекции андезитов	15
5. Слоистые туфы андезитовых порфиритов	35
6. Паковитые туфы порфиритов с прослоями лапиллиевых, алевролитовых и туфопесчаников	90
7. Ритмичное переслаивание мелко- и крупнообломочных туфов андезитовых порфиритов	25
8. Агломератовые туфы андезитовых порфиритов	20
9. Паковитые туфы андезитовых порфиритов с потоками их лав в верхах	65
Мощность толщи около 400 м.	

В верховье Унерикана и бассейне Мал.Керы туфы и контактограниты в толще толщи постоянно изменяют, заостряясь андезитами и дацитами порфиритами, их лавобрекции или туфами дацитов. Еще выше, в бассейне Бол.Керы, в составе толщи преобладают лавобрекции, туфы и туфопесчаники. В истоках Кера-Максса, по левобережью к. Константина, обнажены туфогранитограниты, которые известны под названием константиновских.

Состав толщи весьма изменчив, но в основном она состоит из пирокластических и туфогенно-осадочных пород, которым подчинены отдельные потоки лав андезитовых порфиритов, иногда дацитовых порфиритов. Туфы состоят из обломков андезитовых или дацитовых порфиритов, реже паковитых город, скрепленных хлоритизированной витрокластической массой. В песчаниках преобладают утолщенные кварца и плагиоклазов. Контактограниты и брекции образовались за счет размыка кремнисто-терригенных и гранитоидных пород паковий.

Толща андезитовых порфиритов и пакитовых порфиритов (α' K_T) слагает Селиктанский хребет и некоторые водоразделы в бассейнах Унерикана, Мал. и Большой Керы. В районе Селиктанского хребта толща представлена наиболее полно. С развалом утловым несогласием, как это видно в обнажениях левого склона долины Баранчи, она залегает на среднем девоне. В ее основании расположена горизонт (до 20 м) туфогенных среднегальчных kontaktогранитов и kontaktогранитобрекций, замещающихся по просирианию брекциями. Те и другие состоят из окатанных или угловатых обломков (размером до 2-3 см) подстилающих город. Низы толщи мощностью до 350 м сложены лавами и лавобрекциями дацитовых порфиритов (50 м) их крупнообломочных туфов. Выше залегают паковитые андезитовые порфириты мощностью от 30-50 до 300 м. Они вновь сменяются однообразными серыми, коричневато-серыми дацитовыми порфиритами и их лавобрекциями мощностью до 250 м с пластом (10-15 м) крупнообломочных туфов. Верхи толщи сложены андезитовыми порфиритами (400-650 м). Общая мощность толщи 1000-1500 м.

На водоразделе Мал. и Большой Керы с Унериканом, судя по состоянию пород, распространены только низы толщи мощностью 250 м. Это предупредительно прослеженные и ротовообманковые дациты, реже встречаются их лавобрекции, туфы и отдельные потоки андезитов. В районе г. Унерикан прослеживается горизонт (10-15 м) крупнокомковых kontaktогранитов, фрагментально замещающихся на правобережье Мал. Керы агломератами и крупнообломочными туфами. Масивные или флюидальные дацитовые порфириты и дациты в микролитовой и гигантолитовой основной массе содержат включения олигоклаза, андезина, пироксена или опакитизированной роговой обманки и биотита, иногда кварца. В андезитовых порфиритах и андезитах вкрашены представлены зональным андезитом и моноклинным, реже ромбическим, пироксеном. Последний иногда отсутствует. Крупнообломочные (диаметр в 1-3 см) и паковитые (1-2 мм) туфы кристаллоластические.

Толща андезитов, андезито-плагиоклазовых контактирующих участках Селиктанского хребта наиболее высокий стратиграфический уровень. В низах толщи залегают глауконитом обра-зом темно-серые массивные или флюидальные фельзит-порфириты мощ-ностью от 50 до 400 м. Иногда в них встречаются отдельные по-

толи (30–80 м) андезитов и андезито-дацитов. Последние слагают нешлекашую часть толши мощностью 500–700 м. При этом сначала просяхиваются лавы и лавобрекчи андезитов с редкими пластами (до 20 м) паммитовых туфов. Они сменяются горизонтом (10–70 м) фельзит-порфиров и их лавобрекций, выше которого вновь прослеживаются порфексовые андезиты и андезито-дациты с редкими пастами и линзами (1–5 м) крупнообломочных и псевофигурных туфов. Осная мощность толщи достигает 1100 м. Петрографически эти породы аналогичны встречаенным в предыдущих толщах, но не подвержены существенным вторичным изменениям.

О возрасте вулканогенно-осадочных толщ. Отпечатки ископаемых растений, часто встречающиеся в породах трех нижних толщ, палеонтологически неопределены. Заднее расматриваемого района, на правобережье Верх. Маны, в турках этих толщ собраны остатки, среди которых М.М. Кошкин установила наличие типично мелового *Spiralostachys* в сочетании с другими морко-нижнекембрионными формами. Несколько ниже, на правобережье Семиречья, А.К. Егоровым [3] обнаружен более обширный комплекс нижнекембрионных форм. Абсолютный возраст андезитов и дацитов (верховье Уларикана) определен в 136, 134 и 122 млн. лет, а фельзит-порфиров (левобережье Селитгана) – 135 и 129 млн. лет, что достаточно определенно указывает на принадлежность вулканогенно-осадочных толщ к нижнему мелу.

В е р х н и й о т д е л

Т о л щ а к в а р д е в и х и ф е л ь з и т о в и х п о р ф и р о в ($\text{I}_1 \text{K}_2$) занимает несольшую площадь на северных склонах хр. Ээоп. Несогласно залегая на палеозойских и нижнекембрионных толщах, она вмешает в себя субвуликанические интрузии гранодиоксит-порфиров. Впервые эти породы описаны С.С. Дарбиняном в качестве залежей смыти. Строение толщи простое – в ее низах очень ограничено распространены фельзит-порфирь мощностью до 200 м, а в основном она сломена однообразными кварцевыми порфирями. Это светлые породы, содержащие в кристаллической, иногда сферолитовой основной массе до 40–50% аквриалленников кварца, кальевого полевого шата, биотита, иногда зонального

спилоклаз-андезина. Желтоватые и кремовые фельзит-порфирь содержат редкие мелкие вкрашеннники кислого плагиоклаза, иногда кварца. Все породы массивны или флигелически. В лавобрекчиях, помимо обломков материнских пород, нередко присутствуют филикитовидные сланцы, граниты, осколки кварца и полевых шапиков. Мощность толщи 700 м.

На участках гидротермального изменения (пелитизация, окварцевание) кварцевые порфирь, приобретая красновато-бурый цвет, содержат выраженность пирита, арсенопирита, иногда халькопирита и зерна кассiterита. Верхнейовой возраст эфузивов принят на том основании, что они несогласно залегают на нижнекембрионных туфах и зерна кассiterита. Верхнейовой возраст квартовых пород и, по данным Р.М. Тононса [6], абсолютный возраст квартовых пород хр. Ээоп составляет 95–105 млн. лет.

ЧЕТВЕРТИЧНАЯ СИСТЕМА

В долинах рек широко распространены аллювиальные отложения, снигающие террасы различных уровней. Реликты наиболее высоких из них (60–120 м) относятся к раннечетвертичному времени. Помимо аллювия, в районе известны ледниковые, делювиально-проливные отложения предгорных шлейфов и конусов выноса, а также эоловые и делювиальные – на водоразделах и их склонах.

Н и ж н е ч е т в е р т и ч н ы е о т л о ж е н и я (Q I)

Наиболее древний аллювий залегает на эрозионных поверхностих выравнивания высотой 120–140 м. Их реликты, по данным Г.И. Неронского, известны на водоразделе ручьев Афанасьевского и Васильевского, на левом склоне к. Чуконного (бассейн Бол. Эльги). Вокруг них здесь канавой ниже отложений состоят из песчано-гравийного материала с примесью буровато-желтых суглинков. В составе гравия преобладают порфириты и кварц. Значительно шире распространены отложения высоких террас вдоль наиболее крупных рек. Их высота различна – от 40–60 и 60–70 м по рекам Харте и Бол. Эльге до 80–100 м по рекам Семиречье и Селитгана. Эти отложения везде представлены главным образом галечниками, со-

держанным переменное количество валунов, гравия и песка. Мощность достигает 8–10 м., чаще составляя несколько метров. Характерна хорошая окатанность обломочного материала и отсутствие его сортировки: гальки и валуны находятся среди песка и гравия либо супеси или суглинка. Нижнечетвертичный возраст отложений принят с учетом их более высокого уровня, чем аллювий террас со спорово-пылевыми комплексами более поздних эпох четвертичного периода.

С р е д н е ч е т в е р т и ч н ы е о т л о ж е н и я

(Q II)

Отложения представлены аллювием аэрозионно-аккумулятивных террас высотой 30–40 м. Как и прежде, они развиты только вдоль крупных рек района – Харге, Бол.Эльги с притоками и Селемджи. Высота их цоколя составляет 20–25 м., а мощность аллювия до 15–17 м. В составе последнего наблюдаются некоторые различия – по р.Харге у цоколя он представлен помимо фациями (или и глини с прослоями торфов), а в бассейне Бол.Эльги – руслоями (щебень, галечник с песком и глинистой примазкой). Верхи аллювия мощностью 5–7 м сложены осадками также разных фаций: по р.Харге – грубокластическими грустонами, а по р.Бол.Эльге – мелкообломочными помимоными.

В качестве примера ниже приведен наиболее мощный разрез аллювия, вскрытого шурфом на правобережной террасе Бол.Эльги южнее пос.Ольянска [34] X) (в м.):

1. Мокховой покров	0,6
2. Песчано-глинистый материал	1,0
3. Темно-серый ил с песком, редкой		
сладко окатанной галькой и прослоями (до		
0,8 м) ляда	6,4
4. Песок с серой глиной и редкой		
галькой	5,8
5. Галечник с песком и желтой глини-		
стой примазкой	2,6
6. Щебень с песком и редкой галькой	0,4
Мощность разреза	16,8 м.	

X) Разрезы четвертичных отложений даны сверху вниз.

Некоторые из профилей осадков содержат пыльцу хвойно-листственные древесной растительности [58], среди которой, помимо *Betula*, *Alnus* и др., встречаются теплолюбивые формы (*Quercus*, *Corylus*). Поэтому среднечетвертичный возраст для них предположительно принят с учетом относительно высокого (30–40 м.) уровня террас, отсутствующих по несущим волготкам. По р.Харге аллювий этих террас слабозолочен.

В е р х н е ч е т в е р т и ч н ы е о т л о ж е н и я

(Q III)

Отложения представлены аллювиальными и ледниками образованиями. Верхнечетвертичный аллювий слагает террасы высотой 10–17 м. Мощность его в зависимости от ступени размыва различна – от 0,5 до 10–12 м. Он представлен грубосортированными или вообще неотсортированными валуно-галечными, гравийно- или песчано-галечными (с валунами) отложениями, иногда песком с гравием, гальками, валунами и лизами глинистого, илесто-глинистого материала. На правобережье Эльги, южнее пос. Ольянска, аллювий 12–17-метровой аэрозионно-аккумулятивной террасы представлен темно-бурыми суглинками, содержащими до 35% гравия и галек интузивных пород и кварца.

Разрез 10-метровой террасы по рекам Бол.Эльге и Харге, описанный С.С.Дарбинном, следующий (в м.):

1. Почвенный слой	0,6
2. Песок с лизами красно-буровой глины	1,2
3. Галечник неотсортированный слабо		
окатанный	2,3
4. Песок с гальками	1,35
5. Галечник, скрепленный песком	1,3
6. Песок с редкой галькой	0,3
7. Галечник с иловато-глинистой примазкой	0,8
8. Галечник с валунами, скрепленный		
песчанистым, железо-песчанистым материалом	2,15
Мощность разреза	10 м.	

В ряде мест отложения содержат ископаемую пыльцу древесной хвойно-бересковой растительности и споры мохов, папоротникообраз-

ных семейства *Rorippaceae*, которые дали основание Л.Л.Казачиной и И.Е.Маконтовой отнести эти отложения к позднечетвертичному времени.

Ледниковые отложения мощностью до 20-30 м встречаются в широких и троговых долинах хр.Эзоп. На карте показаны только наибольшие поля их распространения. Они состоят из крупных (иногда до 2-3 м) полуокатанных глыб, смешанных с мелкообломочным материалом и супесью. Как и на соседнем с ним листе [16], они рассматриваются нами в качестве верхнечетвертичных.

Современные отложения

(Q IV)

Отложения аллювиального генезиса широко распространены по всем долинам рек, слагают первую надпойменную террасу (насторой до 3, иногда 5 м), высокую и низкую поймы. Они представлены в основном грубообломочными русловыми фракциями — галечниками, валуно-галечным или гравийно-галечным материалом с песком, щебнем, отдельными валунами, а также простотами торфов, илов и подглубенных почв. Последние встречаются в аллювии крупных рек — Харле, Бол.Эльги, Семёновки и пр. Мощность долинных отложений от 5-6 до 10-12 м по Семёновке.

Разрез их по р.Харле, ниже пос.Златогустовска, следующий

[52] (в м):

1. Почвенный слой	0,8
2. Ил с песком	1,0
3. Галечник с песком	4,8
4. Щебень с галькой и глинистой при- мазкой	0,6
Мощность разреза	7,2 м.

Схожий состав и строение имеет аллювий долин Эльгакана близ его устья и Бол.Эльги в районе золотоносных россыпей. В последнем случае его разрез следующий [58] (в м):

1. Почвенный слой	0,4
2. Ил песчанистый, переходящий в мел- ководный песок	0,7
3. Галечник с песком и щебнем	4,7

4. Песок с обломками сланцев и примесью вязкой глины 0,7
Мощность разреза 6,5 м.

К этим отложениям приурочены основные промышленные россыпи района.

Руслоевые и косовые отложения в вершинах рек и ключей имеют палеично-валунный состав, а в местах расширения долин — гравийно-и песчано-галечный с отдельными валунами. Песчаные отложения наблюдаются по наиболее крупным рекам.

Следующие комплексы отложений пойм и надпойменной террасы принадлежат в основном древесной расщепляемости, проявляющейся в районе сеймас. В небольшом количестве встречаются налипки широколиственных форм — лещины, дуба, липы, граба и др., в настоящее время не произрастающих, что свидетельствует о сыром более теплом климате района.

Элювиально-делювиальные образования мощным чехлом (от 1,5 до 3-4 м) покрывают страженные волгорадель и их склоны. Они представлены щебнем, обломками, иногда глыбами пистильевых пород, скрепленными суглинком, реже супесью. Колючий в виде глыбовых осипей встречается на круглых скалистых склонах хребтов Селиктанского и Эзоп. Шебенчато-глыбовый протолий слагает многочисленные конусы выноса мощностью до 15-20 м.

И Н Т Р У З И В Н Ы Е О Б Р А З О В А Н И Я

Интрузивные породы хотя и пользуются значительно меньшим распространением, но играют важную роль, так как с ними связана золотоносность,оловоносность и другая минерализации. На окраине территории известны палеозойские метаморфизованные диориты, габро и плагиограниты, которые образуют междисточные тела в афганасьевской, галымской и златогустовской свитах, а также крупный массив позднепалеозойских гранитоидов, известных под названием ингалинских. Территориально с этой интрузией связаны тела мелководистых гранодиоритов и кварцевых диоритов. Широко распространены в районе раннеэоценовые интрузии преимущественно в виде мелких тел и лавок. С юга в бассейн р.Джето-Чарыно заходит массив харгинских гранодиоритов. Поздненемировые гранодиориты и биотитовые граниты в различных местах района

слагают несколько небольших массивов, а гранодиорит-порфириты – субвуликанический интрузий на хр.-Эзоп.

Палеозойские интрузии

Метаморфизованные диориты (δPZ) в верхах афанасьевской синклиналии слагают мощные (до 100–200 м) межплатовые тела, претерпевшие столь сильный метаморфизм, что от вымешавших их сланцев они отличаются лишь по глиной, труболитчатой отдельности и повышенному количеству цветных минералов. Эти диориты рассланцованны, претерпели сильное зеленокаменное преобразование и практически утратили первичный состав и структуру. Только по реликтам широкогабитчных призматических кристаллов (0,5–3 мм), а также структур можно полагать, что породы состояли из плагиоклазов (до 70%), биотита, роговой обманки, возможно кварца, и относились к группе диорита. Из акцессориев в них установлены широкий (в том числе бурый), ильменит, корунд, рутил, пирит, апатит, турмалин.

Плагиоклазы, замещенные серидитом, хлоритом, эпидотом и альбитом (в том числе шахматным), сохранили иногда реликты зоековит, буровато-зеленый клинохлор (иногда ленин), эпидот, анатолия квадр. Сильное окварцевание (40–60%) и рассланцевование превращают диориты, по существу, в альбит-хитонит-караидевые сланцы с блестищими (порфиробластическими) структурами, линзовидно-полосчатыми, массивными или порфировидными текстурами. Диориты внедрились главным образом в породы афанасьевской свиты и претерпели вместе с ней складчатость и метаморфизм.

Метаморфизованные габбро (γPZ)^x, со средоточием главным образом в бассейне среднего течения Харги, откуда прослеживаются вдоль р. Сельвики до устья Клуусуна. В других местах района они встречаются редко. Повсеместно видна их приуроченность в основном к Талыминской и златогустовской свитам, в которых они образуют протяженные, смыте 10 км, тела или короткие и узкие линзы, в общем согласные складчатым структурам. Контакты этих

тектонически согласные, местами секущие. Очевидно, что метаборро в утолищах свитах образует межплатовые тела, мощность которых иногда превышает 1 км.

Степень рассланцевания зеленокаменных преобразований метаборро различна в зависимости от размера тел. В центральных частях наиболее мощных из них породы имеют относительно связистый облик. Ближе к контактам рассланцевание возрастает и уменьшается зернистость пород в связи с изменениями их структуры и вещественного состава. Породы приобретают облик зеленых сланцев, в которые маломощные залежи преобразованы наело.

Наиболее свежие габбро сохраняют габровую структуру и состоят на 55–60% из плагиоклазов, 35–40% роговой обманки и хлорита. Крупные таблитчатые зерна плагиоклаза альбитизированы и состоят из кристаллов. Зеленая таблитчато-призматической формы роговая обманка хлоритизирована. Некоторые сечения напоминают кристаллы пироксена, очевидно, встречающихся в первичном составе. Роговая обманка в наиболее метаморфизованных породах замещена сплошными волокнистыми агрегатами амфиболита, а плагиоклаз – альбитом и другими минералами. Такие породы переходят в альбит-альбит-актинолитовые сланцы. Характерным акцессориальным минералом является магнетит. Местами в них проявлены гидротермальные изменения: хлоритизация, эпидотизация, турмалинизация, карбонатизация и окварцевание. У контактов с метаборро во вмешавшихся породах развиваются роговиковые или близкие к ним структуры, появляются кучевые скопления биотита, граната (иногда в существенных количествах), магнетит. Ширина зон ороговиковования достигает 500 м.

Химический состав рассматриваемых пород (табл. I) отвечает габбо-базальтам, но они содержат меньше CaO в связи с деанортитизацией плагиоклазов. По содержанию кварца и фемических компонентов породы соответствуют габбо и кварцевому габбро.

Ороговиковование, наложенное на частично метаморфизованные вмешавшиеся породы, свидетельствует о более позднем формировании габбо, чем метаморфизованных диоритов. Межплатовое залегание и значительный метаморфизм могут говорить о достаточно тесной возрастной связи их с вымешавшими сланцами.

^x) Для краткости они будут именоваться метаборро.

Катаклизированные плагиограниты (γPZ) слагают немногочисленные пластовые интрузии в талыминской и златогустовской свитах по правобережью Харги. Конфигурации выходов плагиогранитов получена направлению складчатых структур, в связи с чем,

Таблица I

Оксиды	Номера образцов						
	I86	3322	78	305	296/6	100	II45
S ₁₀ ₂	55,42	51,65	50,43	50,16	49,19	46,85	45,87
Ti ₁₀ ₂	2,24	1,54	1,10	1,36	1,56	1,76	1,78
Al ₂ ₃	14,11	12,92	15,87	14,74	14,22	14,35	14,22
Fe ₂ ₃	1,37	4,61	1,69	1,63	1,97	2,87	8,96
CaO	8,98	8,64	7,76	8,63	8,82	9,67	10,22
MnO	0,17	0,20	0,20	0,24	0,22	0,20	0,18
MgO	4,50	6,40	6,81	7,34	7,78	7,62	8,30
CaO	5,55	11,39	9,12	10,52	10,07	10,81	9,72
Na ₂ O	2,02	2,13	2,44	2,91	2,75	2,44	2,16
K ₂ O	3,33	0,40	1,83	0,71	0,86	0,09	0,07
SO ₃	0,04	0,13	-	-	0,30	-	0,48
H ₂ O	2,52	2,14	1,72	2,14	2,46	2,88	3,11
Summa	100,25	102,15	98,97	100,38	100,20	99,54	105,07

Числовые характеристики по А.Н.Заварзину

a	9,4	5,2	8,1	7,3	7,5	5,6	5,0
c	5,0	6,0	6,8	6,1	5,7	7,0	7,2
b	19,3	28,4	25,6	28,7	29,7	31,6	32,5
s	66,3	60,4	59,5	57,9	57,1	55,8	55,3
t	49,4	33,6	36,3	33,9	84,1	38,2	40,6
m	40,6	38,5	46,1	43,1	44,0	41,5	44,5
c'	10,1	27,8	17,5	23,0	21,7	20,2	15,1
n	47,7	89,5	67,2	67,0	81,2	97,5	97,2
q	6,5	14,0	6,0	4,7	5,5	7,9	9,1
t	2,9	2,2	1,6	2,0	2,4	2,7	2,9
o	8,8	4,4	4,0	4,3	6,5	6,6	6,6
a/c	1,9	0,9	1,2	1,2	0,8	0,7	0,7

Крупнозернистые плагиограниты, гранодиориты и кварцевые диориты (YRZ_3) со временем исследований Й.А.Изетгина получили название ингалинских. Они слагают овальной формы массив (400 км²), вытянутый в северо-западном направлении. Второй не- большой массив (8 км²) известен в среднем течении Талмы, где он прорывает златоустовскую свиту. Среди вышедших пород Ингалинский массив занимает резко дискордантное положение. Закли-

помимо линейно-вытянутых тел, в некоторых синклиналях прослеживаются узкие концентрически-замкнутые интрузии, как, например, в Междуречье Ўлтакан - Охлогона. Наиболее крупным является интрузивное тело (севернее пос. Златоустовска) длиной 7,5 км при мощности 50-250 м. Остальные тела много меньше. Интрузия в районе пос. Беркенгейма занимает водораздел Мал.Неэрена с Селемидой, и наблюдавшийся здесь контакт со сланцами, как и в других местах, близок к согласному. Плагиограниты - серые средне-кургонзернистые сильно катаклизированные породы. Текстура их массивная или глубосланцеватая, структура катаклазическая, реликтовая гранитная. Они состоят из 60-80% албитита, албит-олигоклаза, 20-25% кварца и 2-3% сиотита; всегда встречаются также серцит, хлорит и аплит, а иногда до 15-20% ильменитовый сноповидный стиль-пинокелан. Акцессории представлены цирконом, алатитом, сфеном, ортитом, ильменитом. Плагиоклазы включают вторичные продукты замещения, иногда присутствует микроклин, обычно развивающийся по пластинообразным.

У контакта с гранитами сланцы ороговикованы, содержат кучевые скопления сиотита, стиллномелана и актинолита, а габброиды перекристаллизованы, оквартированы и также содержат много стиллномелана.

Рассматриваемые плагиограниты считаются палеогорскими, так как их геолого-структурная позиция тождественна метаморфизованным диоритам и габбро. Абсолютный возраст в 155 и 179 млн. лет, очевидно, омоложен постмагматическими изменениями. Й.В.Эйри [72] эти границы параллельны с ингалинской интрузией. Проблемность такого предположения возможна, но сомнительна, так как ингалинские интрузии резко дискордантны по отношению ко всем палеозойским образованиям района.

ПОЗДНЕПАЛЕОЗОЙСКИЕ ИНТРУЗИИ

ченные в нем ксенолиты осадочных город достигают 3 км². В зоне и эндоконтактах породы часто переброшены, рассланцеваны и ороговикованы. В районе г. Брюс массив прорван поздненемеловыми гранодиоритами и перекрыт раннемеловыми эфузивами.

Изучением Ишаглинского массива занимались многие исследо-

ватели. Его считали базальтоводным телом и только Т.И.Неронский впервые высказал предположение о его плиообразной форме.

Более поздними наблюдениями установлено, что только северо-западная часть массива [54] погружается очень полого, образуя широкие (до 4-6 км) полы роговиков, а остальные его контакты короткие и контактовые зоны более узкие.

Ишаглинский массив сложен в основном гранитоидами умеренно кислого состава. Плагиограниты, гранодиориты, иногда граниты слагают его центральную и северную части, а в юго-восточной – большие плагиограниты и кварцевые диориты. Наиболее четко обособляются кварцевые диориты, показанные на карте. Остальные разновидности пород постепенно переходят друг в друга. Кварцевые диориты и гранодиориты чаще тяготят к местам, где много ксенолитов, вмещающих породы.

Плагиограниты – массивные катализированные породы гипидоморфно-сернистой породообразной структуры. Обычно они крупнозернисты до пигментозернистых разностей. В их составе 40-70% олигоклаза, 20-30% кварца, 2-15% микроклина, 5-15% биотита, роговой обманки и моноклинного пироксена. Аксессорные минералы разнообразны – это пирокон, сфеен, апатит, рутил, монахит, ортит. Нередкий микроклин обычно развивается по плагиоклазам, образуя, помимо мелких зерен, порфироные выделения до 1,5x3 см. Встречается и первичный калиевый полевой шпат. Содержание его в олиготочных гранитах достигает 45%. Кварцевые диориты и гранодиориты на 30-70% состоят из сильно срасткированного зонального андезина, обросшего у микроклина шахматным альбитом, 10-20% кварца, 5-15% моноклинного пироксена, 10-15% роговой обманки и олигоклаза и 5-20% микроклин-перитита (25-30% в гранодиоритах). Несомненно все породы катаклизированы и для них характерно наличие, иногда в большом количестве, красновато-бурового стилюномелана, образованного игольчатые выделения в кварце и микроклине, сноповидные агрегаты и скопления по многочисленным трещинкам. Вместе с актинолитом он обрастают биотит и пироксены.

По химическому составу ишаглинские гранитоиды высокоглиноzemисты и в основной массе близки к средним типам гранодиоритов, по Дэли (табл.2).

Таблица 2

Порода и номер образца	SiO ₂	TiO ₂	Al ₂ O ₃	Fe ₂ O ₃	FeO	MnO	MgO	CaO	Na ₂ O	K ₂ O	nnn	Сумма
Плагиогранит (обр. I33)	66,64	0,74	16,04	0,86	2,84	0,06	1,72	3,22	3,27	2,94	1,63	99,96
Гранодиорит (обр. 482)	68,72	0,32	16,46	0,16	1,96	0,05	1,77	2,82	3,53	2,71	2,63	101,13
Плагиогранит (обр. 2003)	64,45	0,84	15,55	0,97	4,72	0,09	1,42	4,29	3,81	2,93	0,92	99,99
Плагиогранит (обр. 2175)	67,01	0,64	14,99	0,75	3,64	0,08	1,23	3,78	3,43	3,81	1,16	100,52

Числовые характеристики по А.Н.Заварницкому

a	b	c	s	m'	f'	a'	n	t	φ
11,4	8,6	3,9	76,1	33,3	41,2	25,4	63,2	0,8	9,5
11,3	7,8	3,3	77,5	26,7	25,0	48,3	66,6	0,3	1,7
12,7	9,0	4,0	74,2	26,5	59,9	13,6	66,2	0,9	9,1
13,5	7,1	3,5	76,2	28,3	56,6	15,1	58,0	0,7	7,5

Начиная с работ А.А.Кирilloва и В.В.Онихицкого [II, 41], возраст интаглийских гранитоидов считался нариским, что позже было подтверждено данными абсолютного возраста - 230-235 млн. лет [34]. С этими гранитоидами, возможно, связана слабая золоторудная минерализация: маломощные квадратные прожилки в гранитах и породах экзоконтакта содержат 0,01-0,03 г/т золота, а по клавам Золотому, Иванову, Макчегре известны небольшие россыпи. За счет акцессорного монацитита в аллювиальных отложениях образуются концентраты его до 130 г/м³.

Мелковернистые гранодиориты, плагиграниты и квадратные линейные интрузивы, в которых они слагают не большие тела и дайки. Наиболее крупный массив (около 14 км²) широкого простирания известен между реками Селемджой и Курумканом. На левобережье Селемджи канавой вскрыт его контакт с крупновернистыми плагигранитами. Он имеет четко выраженный рутильный характер. Эти данные позволили рассматривать мелковернистые гранитоиды второй фазы формирования Ингалинского интрузива. Мелковернистые гранитоиды представлены гранодиоритами, плагигранитами и квадратными диоритами, обрезающими тесные взаимопереходы. Какая из разновидностей является преобладающей, сказать трудно. Все эти породы по своим петрографическим особенностям тождествены рассмотренным выше крупновернистым гранитоидам. Единственным отличительным признаком является их мелковернистость.

РАННЕМЕЛОВЫЕ ИНТРУЗИИ

Субвуликанические андезитовые породы (μс_{К₁}) и дациты (μс_{К₁}) в бассейне кр. Макчегра и верховых Курумкана образуют среди палеозойских город тела изометричной (0,4 x 0,5 км) или вытянутой (0,4 x 1 км) формы, хорошо определенные и поэтому выделяющиеся в рельфе в виде конусообразных или куполовидных возвышенностей. Эти тела сложены в основном андезитами или порфритами, а также их лавобрекчиями и крупноблочными и глыбовыми турфами и ксеногранитами, т.е. породами, широко распространеными в составе эфузивных тел. Поэтому описание их не приводится. Такие же тела, но меньших размеров (100-200 м в поперечнике) известны также среди эфузивно-осадочных пород. В верховье Унерикана наблюдаются их рутильный контакт с туроконгломератами.

На водоразделе Унерикана и Мал.Керы на площади около 5 км² распространены дациты своеобразного облика. Это серые или голубовато-серые породы, переполненные вкраплениками плагиоклазов, роговой обманки, биотита, кварца и редко граната. Они создают резко повышенное магнитное поле, что с учетом своеобразного состава и облика, отличного от эфузивных аналогов, позволяет предполагать их субвуликаническую природу. Мелкие тела, очевидно, некий, в виде небольших останцовых воззвищностей известны и в других местах района. Иногда в них наблюдается крутизна (до 85°) флюидальность.

Раннемеловой возраст субвуликанических тел вытекает из их тесной генетической связи с соответствующими эфузивными породами.

Гранодиориты (γ_{ДК₁}), гранодиорит-порфириты (δ_{ПК₁}), гранит-порфириты (γ_{ПК₁}), плагигранит-порфириты (γ_{ППК₁}), квадратные порфириты (λ_{К₁}) и диоритовые порфириты (δ_{ПК₁}). Гранодиориты в бассейне р.Джело слагают северо-западное окончание крупного массива, расположенного за пределами района, и образуют небольшие выходы в истоках кр. Охлокова. Впервые они были описаны Н.А.Ракони [62] как харгинские гранитоиды. Гранодиориты промывают златогорловскую свиту, образуя широкие полы ороговикованных пород. Контуры интрузии, помимо наземных наблюдений, прослежены по аэрофотоснимкам. Если за пределами района существенно распространены граниты и квадратные диориты, то рассматриваемая часть массива сложена в основном гранодиоритами. Это светло-серые средневернистые, разновернистые породы с массивной текстурой и типично-вернистой структурой. Они состоят из андезина (40%), калиевого полевого шпата (20%), кварца (20-30%), биотита (5-10%) и роговой обманки (2-5%). Иногда содержание кварца понижается до 10%, а андезина увеличивается до 60%, т.е. наблюдаются переходы к квадратным диоритам. Аксессорные минералы представлены апатитом, сフェном, рутилом и цирконом. У контакта имеющиеся породы превращены в биотит-квадратные роговики, а на удалении окварцированы и ортокварцированы с новообразованиями биотита. Абсолютный возраст гранодиоритов по шунгитовым прослойкам 130 и 140 млн. лет, а для южной части массива 112 млн. лет [16], на основании чего для них принят раннемеловой возраст.

Перечисленные выше гипабиссальные породы (гранодиорит-порфириты, гранит-порфириты и др.) слагают многочисленные мелкие мелсины и дайки. Они распространяются на юго-востоке района, в области распространения палеозойских и юрских отложений. Частично

они приурочиваются к разрывам, но иногда такой связи не обнаруживается. Некоторые массивы находятся в ядрах Неаргенской и Афанасьевской антиклиналей. В последнем случае, располагаясь у Афанасьевского месторождения, они описывались под названием афанасьевских гранитоидов [9]. Величина и форма массивов разнообразны. Наиболее крупным является массив квадратных порфиров и плагиогранит-порфиров в ядре Афанасьевской антиклинали на правобережье Бол. Эльги. У него неправильная форма: при длине 5,5 км ширина его меняется от 3 до 0,6 км на севере, причем узкая северная часть изогнута к востоку. Вытянутым (6 км) и узким (1,5 км) является массив плагиогранит-порфиров у устья кл. Охлопова. На флангах он расщепляется на серию даек мощностью до 150 м. Сложной зубчатой формы интрузивные тела гранодиорит-порфиров и кварцевых порфиров наблюдаются на правобережьях Мал. Кильтакана. Они хорошо видны на аэрофотоснимках. Такая причудливая форма определяется несколькими сближенными соединенными между собой телами длиной до 3 км и шириной 200–400 м. Остальные массивы меньших размеров, но также удлиненной, часто неправильной формы, что можно видеть на аэрофотоснимках. Они порфириты в их строении не участвуют. Часто в пределах одного массива наблюдаются взаимопереходы плагиогранит-порфиров или гранит-порфиров в кварцевые порфирты.

Наибольшее количество даек известно в районе Харгинского месторождения, в бассейне Эльтакана, в зоне Унгличанского разлома и других местах. При мощности 1–5 м, иногда до 120 м они прослеживаются от 30–40 м до 2–3 км в северо-западном и меридиональном, реже северо-восточном направлениях. В основном это резко секущие круго залегающие тела. Сложенны дайки листорифами порфиритами, кварцевыми порфиритами и плагиогранит-порфиритами. При разведке Афанасьевского месторождения вскрыта интересная лайка, описанная М.П. Материковым [9]. Сложна она порфиритом базальта. Главным минералом основной массы и вкрапленников является агат. Кроме него, в порфиритовых выделениях встречаются оливин, а в основной массе – лейстит плагиоклаза и аморфное стекло.

Пространственно и генетически птибасальные породы между собой тесно связанны. Они залегают среди палеозойских и нижнекорских образований. Единичные лайки известны в нижнеледовых эрозионных. По данным анализов [72], абсолютный возраст их различен: для плагиогранитов из массивов по Мал. Неаргену и кл. Охлопову он определен в 77 и 96 млн. лет, для диоритового порфира – 163 и для плагиогранит-порфира из массива по кл. Афанасьеву – в 155–170 млн. лет. Анализ биотита из гранодиорита-порфира массива в Афанасьевской антиклинали показал 108 млн. лет. Как видим, эти линии довольно противоречивы. Учитывая широкое проявление в районе раннемелового магматизма, с которым связаны покровы, рассмотренный комплекс малых интрузий может иметь с ним генетическую связь, и принятый для них раннемеловой возраст наилучше вероятен.

С лайками и малыми интрузиями плагиогранит-порфиров и диоритовых порфиритов парагенетически связана золоторудная минерализация. Этого мнения придерживается большинство исследователей района. При этом учитывается, что при нахождении прочих рудоконтролирующих условий золото локализуется в местах распространения уломянитных пород. Специально этому вопросу посвящен ряд работ, касающихся золотоносности Приамурья [10].

ПОЗДНЕМЕЛОВЫЕ ИНТРУЗИИ

Гранодиориты ($\text{Уф} K_2$), диоритовые порфириты ($\text{ДП} K_2$), плагиогранит-порфириты ($\text{ПГ} K_2$) и фельзит-порфириты ($\text{Ф} K_2$). В окрестностях г. Бирюса и у северной границы района гранодиориты слагают три массива, два из которых (по 35 км²) овальной формы, а третий (20 км²), на правобережье Селиктана, имеет извилистые очертания. Один из массивов располагается среди интаглийских гранитоидов, другой – в нижнеледовых выступах, а последний, прорывая эфузивы и нижнедвонские отложения, является, очевидно, межформационным. Он приурочен к пониженным участкам рельефа, и его восточный контакт, подчиненный контуру залегающего гипсометрически выше эфузивного покрова, полого погружается под него. Среди эфузивов около массивов имеется несколько мелких штокообразных тел. Все массивы довольно однородны по составу и сложены светлосерыми равнотвердозернистыми или порфировидными гранодиоритами среднего облика – в них отсутствует катаклаз и микроклинизация. Только в массиве на правобережье Селиктана замечается некоторая зональность в распределении темнотвердых минералов: по периферии (до 2 км) распространены роговообманковые и оигит-роговообманковые гранодиориты, переходящие ближе к центру в биотитовые, а затем в роговообманковые разности, слагающие центральную часть.

Гранодиориты массивны, имеют среднезернистое сложение и состоят из 40–60% аплезина и олигоклаза, 10–30% калиевого полевого шпата, 10–25% кварца и 10–20% биотита и роговой обманки. Иногда присутствует 3–10% моноклинного пироксена. Акцессории представлены цирконом, апатитом, рудным минералом, реже сфеном, орбитом и монацитом. Очень характерна для гранодиоритов крупная параллельно-плоскостная отдельность, образованная тремя системами трещин отдельности.

Согласно химическим анализам образцов 4445 (правобережье Селитканы) и 161-1 (район г.Брас) породы отвечают средним типам гранодиоритов, по Лэли, или близки к ним (табл.3).

Около интузийных широко проявлен kontaktный метаморфизм. Имагильинские гранитоиды в пределах 150–200 м до 400 м и больше у южного и восточного контактов в разной степени перекристаллизованы и содержат новообразования граната. Осадочные породы и эфузивы на удалении до 200–300 м от контактов преобразованы в роговики, переходящие дальше в ороговикованные породы. Общая ширма kontaktово-измененных пород 1–2,5 км. Роговики по частичным породам состоят преобладающими из кварца, а также плагиоклазов, кальевого полевого шпата, биотита, мусковита, тремолита и актинолита, иногда турмалина. Кремни превращены в микрокварциты с биотитом, а эфузивы – в гранобластовый агрегат кварца, плагиоклазов, биотита и актинолита. На правобережье Селитканы встречаются скары, состоящие из 70% граната и 30% диопсида.

На правом берегу Имавара виден непосредственный контакт гранодиоритов с нижемеловыми турфами аплезитовых поддиоритов, в которых они образуют постоянные инъекции с сильно выраженным kontaktным воздействием. Абсолютный возраст гранодиоритов 98 млн. лет. Согласно анализу образца из массива на правобережье Селитканы возраст гранодиоритов 133 млн. лет, а, по данным Ю.А.Мамонтова, однотипные гранодиориты близ северной границы района имеют возраст 98 млн. лет [8]. Представляется, что большинство данных свидетельствует о последнемлом времени формирования рассмотренных интузий. Они довольно широко распространены в Удзго-Семеджинском междуречье и всеми исследователями также относятся к постнемому мелу.

Из района г.Брас в бассейн Баранки и на правобережье Селитканы в северо-восточном направлении протягивается пояс лавок шириной 30 км. Насыщенность его лавками различна, но в целом высока. Особено много их на правобережье Селитканы, в верховых Баранки и по Брас-Имагильинскому водоразделу, т.е. распре-

Таблица 3

Номер образца	SiO ₂	TiO ₂	Al ₂ O ₃	Fe ₂ O ₃	FeO	MnO	MgO	CaO	Na ₂ O	K ₂ O	H ₂ O	ппп	Сумма
4445	65,36	0,49	16,41	0,62	3,0	0,08	2,06	4,37	3,30	3,18	0,68	-	99,55
161-1	68,83	0,41	14,83	0,69	2,51	0,05	1,36	2,02	4,11	3,70	1,20	1,14	99,71

Числовые характеристики по А.Н. Заварицкому

a	b	c	s	a'	r'	m'	c'	n	t	ψ
12,01	7,25	5,11	75,63	-	40	47,6	4,76	60,9	0,54	7,6
14,1	6,1	2,4	77,4	8,8	52,7	38,5	-	62,9	0,6	8,8

деление даек отчетливо контролируется массивами поздненефовых гранодиоритов. Последние расположаются на северо-восточном и юго-западном флангах дайкового пояса, который простирается строго между ними. Наиболее многочисленны дайки диоритовых порфиритов, а гранит-порфиров и фельзит-порфиров значительно меньше. Первые из них образуют также мелкие овальные тела в 0,5–0,8 км². Ориентировка даек северо-восточная, реже широтная, параметры различны. Мощности обычно небольшие – 0,4–5 м, но иногда 30–40 и даже 60 м, а длина колеблется от 30–40 до 600 м, достигая иногда 1–3 км.

Наиболее прочные и мощные дайки прослежены на левобережье Баранки: в разрезах их мощность составляет 100–200 м, а наибольшая длина 2,5–3 км. Залегание даек круглое – 70–80°. Состав пород обычен: в диоритовых порфиритах – андезин, моноклинный пироксен, роговая обманка и до 15% кварца в кварцевых разностях; гранит-порфир, переходящие иногда в гранодиорит-порфир, сложены олигоклазом, кальцитом, кварцем и биотитом или роговой обманкой. Минеральный состав акваплитников и микротектидов морфозернистый, основной массы однокаков. В верховых Сред. Ингали известны маломощные прожилки аплитов и аплитоидных гранитов – мелкозернистых розоватых пород массивного сложения. Рассмотренные дайки поздненефовые, так как, прорывая гранодиориты, они совершенно отчетливо обнаруживают с ними тесную пространственную и структурную связь.

Гранодиорит-порфир ($\mu_{\text{U}} \delta_{\text{P}} K_2$) в озевой части хр. Эзоп слагают крупный супулканический массив, вытянутый в широтном направлении на 13 км. Страга водораздельные гольцовные части хребта, он неплохо обнажен, особенно в цирках и каньонах вершин левых притоков бол. Керы, бол. Бысти. В 4 км западнее и севернее его, в уззах ключей, обнажены мелкие (до 3 км²) тела этих пород. Вмещающими породами для гранодиорит-порфиров являются верхненемеловые кварцевые порфириты, а в истоках мал. Керы небольшой массив приурочен к контакту верхне- и нижненемеловых жильевиков. Контуры эзопского массива очень извилисты. Судя по линии выхода контакта на поверхность, он кругло погружается под южузы. Гранодиорит-порфир – светло-серые массивные породы с четко выраженной порфировой структурой. Во вкраепленниках, составляющих до 40% объема породы, встречаются таблички зонального андезина, калиевый полевой шпат, кварц, роговая обманка, изредка пироксен, микрогранитная или криптованная основная масса, состоящая из этих же минералов. Последние в различной степени подвергнуты вторичным

изменениям. Согласно химическому анализу гранодиорит-порфир определены среднему составу гранодиоритов, по Лэли: $\text{SiO}_2 = 65,8$; $\text{TiO}_2 = 0,51$; $\text{Al}_{2\text{O}_3} = 17,06$; $\text{Fe}_{2\text{O}_3} = 0,47$; $\text{FeO} = 3,2$; $\text{MnO} = 0,05$; $\text{MgO} = 1,4$; $\text{CaO} = 3,65$; $\text{Na}_2\text{O} = 2,4$; $\text{K}_2\text{O} = 2,82$; $\text{P.L.P.} = 2,71$; сумма – 100, II.

Контактовое влияние гранодиорит-порфиров на вмещающие породы почти не проявлено. При микроскопическом изучении установлено, что некоторые из них расхристиализация и спасное окварцевание с новообразованием мелкочешуйчатого биотита и зерен травяно-зеленой роговой обманки. Особенности геологического положения гранодиорит-порфиров, их резко выраженная порфировая структура, очевидно, свидетельствуют о субвуликаническом характере интрузий, имеющих общую с поздненемеловыми вулканитами магматический очаг. Абсолютный возраст гранодиорит-порфиров, по данным Р.И. Тоняна, 90 млн. лет [16].

Порфировидные граниты (γK_2) ограниченно распространены на хр. Эзоп (18 км²) и по правобережью Верх. Талмы (6 км²). За пределами района эти граниты широко представлены. Их крупные тела, прослеживающиеся вдоль хреста до р. Аксами, изучались Р.М. Тоняном [16]. Начиная с работ Я.А. Ивергина, эти граниты известны под названием эзопских. В истоках Крестовой Эльги и на правобережье Верх. Талмы они прорывают нижнекаменноугольные (?) песчаники и алевролиты, образуя широкие (до 2 км) зоны ороговиковых пород. Контуры массивов относительно просты. Граниты светло-серые среднезернистые порфировидные; 10–30% объема породы составляют крупные фенокристаллы плагиоклазов (4–5 см), иногда кварца (до 1 см). Мелкозернистые разности встречаются обычно в эндоконтактах интрузий. Породосоединение минералы представляют в калиевым полевым шпатом (до 50%), олигоклаз-андезином (до 25%), кварцем (до 40%) и биотитом (3–4%). Аксессории – циркон, апатит, орбит. Структура пород гранитная, иногда пемматоидная. У контакта вмещающие породы преобразованы в стоящие блитовые роговники, а в удалении от него частично перекристаллизованы и окварцеваны. Из контактовых минералов, помимо биотита, встречаются амфилузит, зеленая шпинель, корунд, турмалин, актинолит. Порфировидные граниты имеют важное металлогеническое значение – с ними связаны редкогематальная минерализация (вольфрам, висмут), а также рудопроявления олова. Имеются указания о связи с ними на соседней территории проявленный тантало-никелатов.

Интрузии порфировидных гранитов, очевидно, тесно связаны с заключительными этапами широко проявленного в хр. Эзоп поздне-

мелового матмасизма. Согласно данным Р.И. Тонояна их абсолютный возраст 85-90 и 94 млн. лет.

Т Е К Т О Н И К А

Тектоника рассматриваемой территории очень сложна. На тектонической карте Хабаровского края и Амурской области, составленной в 1968 г. группой авторов под редакцией В.В. Онихицкого [59], она отнесена к Амуро-Охотской ветви Восточно-Азиатской складчатой области. Район располагается в пределах Тукурингского и Джалдинского антиклинариев, а также Тукурского и Амтурского синклинариев. В него частично входят также Умлекано-Юргинская и Селиктанская вулканические зоны (рис. 2).

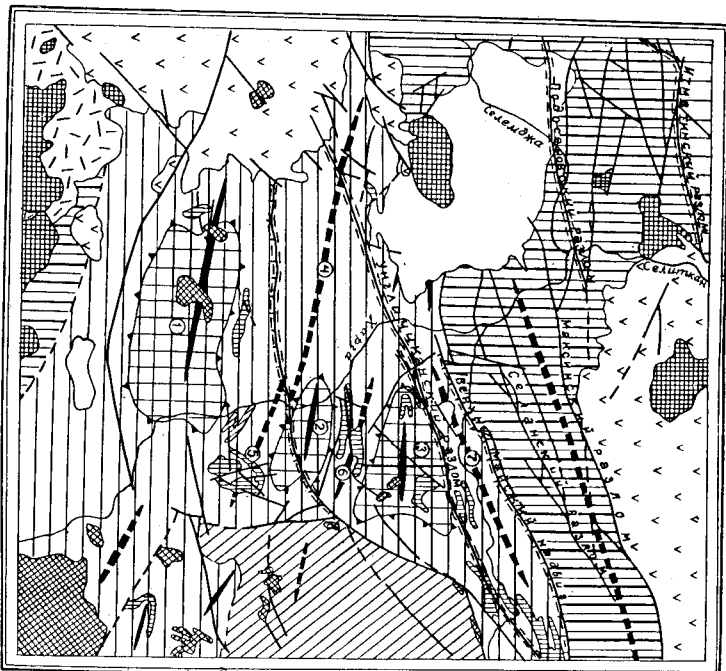


Рис. 2. Тектоническая схема

I - палеозойские складчатые структуры Тукурингского антиклинария (а) с субсогласными телами метаморфизованных диоритов, габбро и пегматитов (б); 2 - нижнекаморийские складчатые структуры Лжадинского антиклинария; 3 - девонские и нижнекаменноугольные складчатые структуры Тукурского синклинария; 4 - нижнерусские складчатые структуры Ангунского синклинария; 5 - пологий горизонтально залегающие эфузивные и эфузивно-осадочные породы нижнего (а) и верхнего (б) мела; 6 -

тукурингский антиклиналь образован однообразными по составу и метаморфизму породами, окаймленными с севера Бурейским кристаллическим массивом. Главные его особенности заключаются в развитии крупных ортогональных структур, известных как Айанская, Эльтанакская и Нээртэнская брахиантклины (купола). Им сопутствуют крупные синклиналии - Хатаринская, Малининская, Воронежская, Эльтанская и др. Эти, казалось бы, простые тектонические формы имеют сложное строение из-за широко проявленной складчатости более высоких горячих вилюй до плойчатости и динамометаморфизма, вызывающего сланцеватость и кильватерные горные породы, участковых в складчатых структурах.

Абанасьевская антиклиналь северо-западного близкого к широтному простирания образована айанско-вильской свитой в ядре, тальминской и златоустовской на крыльях. Длина антиклинали 20,

позднепалеозойские интрузии; 7 - раннемеловые интрузии;

8 - позднемеловые интрузии; 9 - ядра антиклиналей (цифры в кружках); 10 - Аданасьевской, 2 - Эльтанакской, 3 - Нээртэнской; 10 - оси антиклиналей; 11 - оси синклиналей (цифры в кружках); 4 - Хатаринской, 5 - Малининской, 6 - Водораздельной, 7 - Верхнечанской; 12 - разрывные нарушения; 13 - зоны рассланцевания

ширина 10 км. Падение крыльев пологое — 10–25, иногда 30–40°, в ядре наблюдается также почти горизонтальное (до 5°) залегание. Шарнир складки погружаются к западу под углом до 15°, а к востоку, вероятно, несколько круче. На крыльях антиклинали талинские песчаники имеют плоскую отдельность, а афансаевские сланцы в ядре — стебельчатую. В торце последней хорошо видны мелкие складки течения (плойки), оси которых параллельны узлению стебельчатости, ориентированной в северо-западном направлении.

Эльгаканская антиклиналь образована теми же породами. Она значительно меньших размеров (10 × 7 км) и асимметричного строения: северное крыло круче (35–40°) южного (5–15°). На западном замыкании складки линейность (пересечение клинажа и стволистости) погружается под углами до 18°, а на восточном более полого — 5–6°. Имеются данные о наличии более поздней линейности, пересекающей предыдущую, — это морщинистость, поперечные флексуры и изгибы клинажа.

Нэргенская антиклиналь близморитного простирания при ширине от 4 до 10 км протягивается на 18 км. Северное крыло антиклинали, осложненное угличанским разломом, значительно круче (60–70°) южного (20–35°). Как и в предыдущих структурах, здесь проявлено несколько типов различно ориентированной линейности. Отдельность пород груболитчатая, плоскочатая, пересекающаяся (или оружиная). В ее торцах повсеместно видны складки волочения (плойчатость). Вдоль них развиваются сланцеватости.

Афансаевская и Эльгаканская брахантинами граничат с Хатаринской и Малышинской синклиналями.

Хатаринская синклиналь проявляется в юго-восточном направлении более чем на 30 км. Ее южное крыло более полого (30° и менее), чем северное (до 65°). Крылья и ядро синклинали осложнены складками более высоких порядков шириной от 10 до 600 м. Обычно они простые симметричные, реже острогульные с падением крыльев от 20 до 70°, а на южном крыле опрокинутые на юг. Широко распространены и более мелкие складки (от 0,1 до 1–2 м), основанием, в свою очередь, складки волочения шириной 0,5–5 см. Остроугольные или округлые плойки часто переходят в более широкую волнистость. В отдельных местах можно видеть симметричные поперечные флексураобразные или пологие изгибы сплюс.

Малышинская синклиналь находится на простирации Хатаринской и имеет нульдообразную форму, которая подтверживается конден- трически замкнутыми между собой телами габбро и платигранитов, опоясывающих небольшой горный массив "Малыш". На геологической карте хорошо видно пологое (5–10°) залегание слагающих ее образований.

Волообразная синклиналь шириной 4–6 км разделяет Нэргенскую и Эльгаканскую брахантинами. Ее крылья падают под углами от 20–35 до 70°. Погружение линейности до 10° происходит сопутственno в западном и восточном направлениях от структурной седловины. В алевроплитовых породах проявленна брусковая отдельность.

Узкая (4 км) Верхнемайская синклиналь, сопряженная с северо-западным крылом Нэргенской антиклинали, прослеживается на 40 км от Р.Харги до восточной границы района. С севера она ограничена Верхнемайским наливом, а на юге — Угличанским разломом. Крылья синклинали падают под углом 30–45°. Эта синклиналь осложнена более мелкими (шириной 200–600 м) опрокинутыми к северу складками. Их опрокинутые крылья круче (70–90°), а нормальные значительно пологее (30–50°). К северу от Угличанского разлома пласти песчаников и пластовые тела гранитов буднированы.

Важе уже говорилось о широком развитии гофрировки, плойчатости, клинажа и линейности. Гофрировка проявлена практически повсеместно и представлена складочками шириной до 25–30 см как пологоволнистыми, так и складчатыми, паклонными до лежачих. Их оси параллельны крупным складкам. Под плойчатостью понимаются мелкие складочки волочения шириной 2–3 см, а чаще меньше. Они иногда ориентированы под углом к оси крупных складок. Клиновидные складки падают в порогах всех смы. Повсеместно и четко проявлен клиновидный на крыльях складок с плоскостями первичного напластования или секущий их под острым углом. В свободных частях складок клинаж сечет слоистость под более крутыми углами или перпендикулярно к ней. Клиновидные складки, очевидно, с поздними этапами деформации, имеют поперечное к клинажу течения направление.

Палеозойские складчатые структуры играют важную роль в локализации золоторудной минерализации [21]. Последняя строго приурочена к антиклинальным структурам и, в частности, к участкам их замыкания. Так, на замыкании Нэргенской антиклинали находятся богатые россыпи Мал.Нэргена, Харги, Сред. Ингали и

рудные месторождения – Уялчицкое, Верхнемайское, Ясененское. К замковым частям Эльтаханской и Афанасьевской антиклиналь приурочены соответственно Харгинское и Афанасьевское месторождения гудного золота с боярами россыпями. Синклинальные структуры золотой минерализации, как правило, лишены.

Карта магнитного поля приведена на рис.3.

Джаглинский антиклиниорий

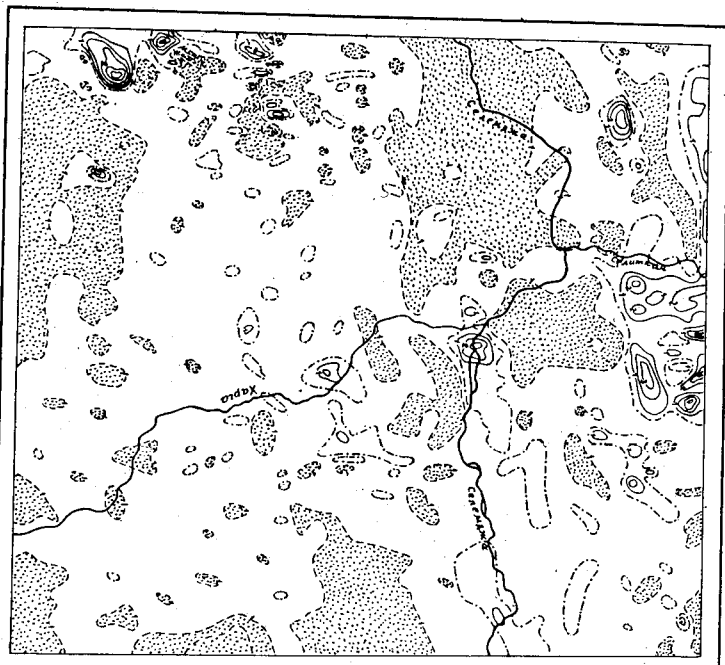


Рис.3. Карта магнитного поля в изолинах ΔT , м
1 – изолинии положительных значений ΔT ; 2 – поля
отрицательных значений ΔT ниже 1 м; 3 – куповые изолинии

В Уялчицко-Слеменгинском междууречье нижнекембрийские толщи образуют Джаглинский антиклиниорий. В последние годы его границы уточнены: площадь намного сократилась (сравнительно уточненные – выше тектонической карте), но геологическая позиция этой чекотнической структуры осталась прежней. С юга антиклиниорий отделен от среднепалеозойского Тутурского граден-синклиниория крутым разрывом. Между этими двумя складчатыми комплексами наблюдается структурное несогласие: близиширотное простирание складок среднего палеозоя четко отличается от северо-восточных структур нижнего кембрия. При этом кембрийские слои падают на северо-запад, а девонские толщи – на юг. По данным А.В.Дахинина, выходы нижнего кембрия приурочены здесь к кругопадающему ($60\text{--}80^\circ$) крылу крупной синклиналии, осложненной складками более высоких порядков шириной до 12 м. Это симметричные и асимметричные, прямые и наклонные складки с плавными или острогнутыми замками. Утлы падения крыльев, как правило, кругые ($75\text{--}80^\circ$). В южных сильнопроявлены дисторсионная микроскальчатость, вызванная, очевидно, оползанием и деформацией кремнистого геми при осадконакоплении.

Тутурский синклиниорий

Тутурский синклиниорий заходит в пределы района своим юго-западным флангом. На северо-западе по кругому Итматинскому разложу он граничит с нижним кембрием, а на юге по Верхнемайскому наливу – с теми что описаны Тутуринскими антиклиналью и разломом. Рассматриваемая часть синклиниория сложена девонскими и нижнекаменноугольными отложениями. В отливе от северо-восточных складок нижнего кембрия, распространенного главным образом за пределами района, складки девона и карбона имеют близиширотное

простирание. Главные особенности строения рассмотриваемой части синклиниория заключаются в следующем. На северном его крыле находятся среднедевонские толщи залегающие моноклинально с падением пластов различных пород на юг под углами от 45 до 80°. На отдельных участках видны небольшие симметричные и асимметричные синклинальные и антиклинальные складки шириной 100–600 м, которые в целом не нарушают общего моноклинального залегания этого крыла. Южное крыло также сложено среднедевонскими образованиями. Оно сильно осложнено многочисленными разрывами в основном северо-восточного направления. Среднеакранийская толща среднего девона, примыкающая к Верхнедевонскому наливу, по имеющимся данным, падает к югу (25–60°), т.е. в сторону от ядра синклиниория, что, вероятно, объясняется запрокидыванием слоев к северу под воздействием надвигнувшихся с юга масс метаморфизованных пород. Складки более высоких порядков, осложняющие это крыло, редки. Мелкая складчатость, так же как кильватерная линейность, отсутствует. Только у разломов можно видеть гофрировку, плоткость или морщинистость. Более широко проявлен здесь будинах, вероятно, как следствие больших тектонических напряжений.

Центральная часть синклиниория сложена Верхнедевонско-нижнекаменноугольными породами. Контактируя со средним девоном по разрывам, они образуют узкую (до 6 км) грабен-синклиналь, протягивающуюся почти на 60 км в восток-северо-восточном направлении с падением слоев под углом 40–60°, но юго-восточного акрозонтакта Ингалинского массива просстирания резко меняются на северо-западные в результате воздействия внедряющейся интрузии. Подобное влияние можно видеть и у юго-западного контакта в сассейне Мал. Брюса. Заднее этой интрузии выходы Верхнедевонско-нижнекаменноугольных отложений значительно расширяются. Канье к. Бодлинского здесь прослеживается относительно круглый антиклиналь, находящийся на просстирании одной из важных пологотельных структур — Челюгорской антиклинали, расположенной в окрестностях Тогурского месторождения и изученной Л. В. Жирдеем. Сюда антиклинали занимают водораздел к. Бодлинского с Селемджой. Ее северное крыло, падающее под углом 20–40°, осложнено простыми симметричными складками шириной до 500 м. На южном крыле преобладает юго-западное моноклинальное залегание слоев (30–40°), причем здесь обнаруживаются также породы нижнекаменноугольных толщ.

Из имеющихся к настоящему времени материалов видно, что юрские складчатые структуры из бассейна верховьев Селемджи перекходят в пределы рассматриваемого района. Согласно приданному геотектоническому районированию [59] они слагают западную окраину Амгунского синклиниория и с палеозойскими структурами сопределяются по тектоническим разрывам. Последние местами заражены малыми интрузиями. Неблагоприятные условия обнаружности, одинаковый состав толщи (отсутствие маркирующих горизонтов) затрудняют изучение нижнегорских складчатых дислокаций. Судя по залеганию сланцеватости и отдельных пластов аллювиев по р. Ка-лагтаху, нижнегорская толща в южнее Селемджи имеет преобладающее моноклинальное падение к югу, юго-востоку под углом 20–30°. Только в верхних Бол. и Мал. Неррене по имеющимся элементам залегания видно, что песчаники этой толщи образуют широтную синклиналь с пологими (10–25°) крыльями.

Широко проявлены мелкие формы складчатости: волнистость, гофрировка, плоткость, морщинистость. Волнистые пологие (10–20°) изгибы пластов песчаников наблюдаются по Эльгасану. Их ширина 0,1–0,4, иногда 2,5 м, погружение шарниров северо-западное, до 30°. Наимного шире распространена морщинистость песчаников шириной 1–1,5 см. Она развивается по падению слоистости и сланцеватости параллельно просстиранию. По оси, взаимоотрезкающиеся, придают иногда поверхности сланцеватости характерный ромбовидный рисунок. В алевролитах и тонком пересыпании их с песчаниками часто наблюдается ось-ориентальная мелкая складчатость. Наиболее круглые складки волнистые шириной до 10–15 см осложнены мелкими узкими плойками в 0,5–2 см. В песчаниках такая мелкая складчатость иногда видна благодаря конфигурации тонких (долинечвидных) промылок кварца. Замечено, что чем сильнее породы ионетированы кварцем, тем интенсивнее проявленна мелкая дисторсионная складчатость.

С резким несогласием на опианных выше разновозрастных складчатых комплексах залегают нижнемеловые, а в хр. Эээл — верхнемеловые вулканические и туфогенно-осадочные отложения. В региональном плане они находятся на флангах Умлекано-Оголимской и Селиктанской вулканических зон [6, 25]. Пологое залегание туфогенно-осадочных пород, пропластков туфов среди потоков лав,

а также конфигурации выходов огневых пластов и горизонтов относительно рельефа указывают на очень слаю дислоцированность этих образований. Так, погружения слоев в различных направлениях под углом 5–20° свидетельствуют о проявлении пологих складчатых дислокаций либо отражают в некоторых случаях уклоны пологенного рельефа. Более крутые залегания, вероятно, обусловлены тектоническими подвижками вдоль разрывных нарушений.

Складчатым дислокациям сопутствуют многочисленные разрывные нарушения. Обычно они контролируются зонами срекицированных, окварцованных и рассланцованных пород, иногда значительной мощности. Вследствие этого они часто выражены отрывательными формами рельефа, позволяющими прослеживать многие из них на аэрофотоснимках и топографических картах. В геологическом строении района они имеют важное значение, так как по ним контрастируют разнообразные комплексы пород, а некоторые из них совместно с другими факторами влияют на размещение золоторудных проявлений. В плане разломы большей частью примыкают к плоским или слабо изогнутым, что указывает на крутые падения. Наметить другую возрастную последовательность их трудно. В целом все тектонические разрывы можно структурировать в две основные системы: северо-западные и северо-восточные. Те и другие часто переходят в субширотные. Северо-западные разрывы наиболее древние и прослеживаются среди палеозойских образований. Они, вероятно, одновозрастны их складчатости, сопадая с ее прояснением или пересекая поле небольшими углами. Помимо собросов, имеют место налипки, как, например, севернее Абаканско-Башкирской антиклинали. Они сопровождаются катаклизом и рассланцеванием пород. Подносясь в более поздние эпохи, некоторые из них использовались для локализации золотоносных рудоносных зон (Харинское месторождение).

Наиболее многочисленной и важной группой являются северо-восточные разрывы. Они характерны для среднепалеозойских складчатых структур, но проявлены в более древних и молодых образованиях. В последнем случае наблюдаются короткие, но довольно многочисленные разрывы, связанные, вероятно, с позднейшими подвижками по главным разломам рассланцируемой трубы. Наиболее северный, Ишимский, отделяет левон от нижнего кембрия и сопровождается зоной в 100–300 м пробелных пород. С ним сходен кругопадающий (70–80°) Полосеновский разлом (см. рис. 2). Еще южнее прослеживается Шакинский, по которому левон граничит с нижнегловыми вулканитами, Селанский, Унгличанский раз-

ломы и Верхнемайский налив. По последнему златоустовская свита надвигнута на средний левон. Все они имеют большую протяженность (30–50 км) и сопровождаются серией оперяющих трещин. Им сопутствуют мощные (до 1 км) зоны тектонитов и рассланцованных пород. Не большой отрезок Унгличанского разлома в районе одноименного месторождения рудоисконтролируется.

Среди разрывных нарушений следует выделить субмеридиональные. Они наиболее молодые, так как находятся во всех образованных районах, часто пересекают и смещают разломы других направлений. Их протяженность невелика (3–8 км) и к ним приурочены иногда даики и штоки гипабиссальных интрузий. Как правило, они прямоилинейны и относятся к сбросам, сдвигам-сбросам.

ГЕОМОРФОЛОГИЯ

Рельеф района относится к эрозионно-денудационному и эрозионно-аккумулятивному типам. Первый из них представляет собой в основном среднегорье с резко расчлененным крутосклонным или слабо расчлененным пологосклонным радиальном. Высокогорье с элементами древнего оледенения распространено в хребтах Зюй и Селиктанском. Первый из них частично заходит в район Укской границы и разделяет бассейны Буреи и Селемджи. Его абсолютные высоты достигают 1700–1900 м, а относительные превышения – 800 м. Он сильно расчленен каньонообразными долинами и имеет крутые склонные склоны, покрытые осадками глыб, которые, сползая вниз, образуют нагромождения у подошв и заполняют узкие долины. Особая часть, сложенная гранитами-порфирями, имеет более плавные мягкие очертания головных вершин в отличие от узких скалистых гречей отрогов, образованных эрозиями.

Ледниковые формы сохранились в виде чащевидных цирков (каров) с крутыми и отвесными бортами высотой до 250 м. От них протягиваются прогольные долины, переходящие через 1,5–2 км в V-образные долины истоков Большой Керчи и Большой Эльги. Днища цирков заполнены щебнito-глыбовым полуокатанным материалом. Иногда сохранились реликты лонных и конечных морен. Подобный рельеф имеет западная часть Селитганского хребта, где абсолютные высоты достигают 1700 м. Его узкие гребни увенчаны острыми останцами, а на крутих (до 40°) скалистых склонах прослеживаются обрывы до 50 м и веерообразные эрозионные ложбины. Сохранились здесь и реликты

Кругосклонное среднегорье охватывает большую часть района с абсолютными высотами 1000-1350, иногда до 1600-1700 м и относительными превышениями 300-400 м. Сюда входят северные предгорья Эзопа, хребты Джалы, Селиктанский, Брас-Ингалинский, Хардиский с прилегающими к ним пространствами. Выпуклые или прямые склоны обычно круже - 20-35°. В зависимости от литологии город развиваются несколько отличные друг от друга формы рельефа. Так, участки, сложенные гранитоидами и песчаниками в бассейнах Селиктана, Джело, Браса и Верховьев Эльтакана, имеющие массивные, иногда полусферические вершины и частично их склоны покрыты крупноглыбовыми осьми. Поверхности водоразделов широкие с относительно плоскими очертаниями.

На песчаниках широкие гребни с пирамидальными вершинами расщеплены сильнее и имеют более резкие конуры. Сильно расщеплен рельеф также на меловых булгаках, частично на штигатинских гранитоидах и осадочных образованиях. Водораздельные гребни чаще узкие с резко очерченными конусовидными вершинами. Встречаются скальные останцы и глыбово-обломочные осьми. Однако на некоторых участках распространения андезитов водоразделы и отдельные вершины плоские каркасобразные (бассейн Унерикана, хр. Орджоникидзе). За счет отдельных застывших потоков лав они террасированы. Формы рельефа в осадочных породах и метаморфических сланцах приобретают замечательную стяженность и степень расщепленности его меньше. Водоразделы и седловины шире, имеют более плавные контуры с конусо- или куполовидными вершинами. Скальных гребней и останцов выветривания почти нет, а глыбовые осьми редки. Склоны южных аксонозидий иногда положе северных и на них развиваются сопадлюционные террасы высотой 0,5-1,5 м. Долина в районе кругосклонного среднегорья глубоко врезана и имеет V- или ящикообразную форму. Ключи длиной до нескольких километров и верховья всех рек с наиболее активной глубинной эрозией текут в V-образных долинах с крутыми склонами. Ниже по течению они постепенно переходят в ящикообразные и становятся тем шире, чем почвоводнее и мощнее становился золоток. При разной кругизне склонов долины приобретают асимметричный профиль. Широко распространены в них террасы разных уровней, о чем говорится ниже.

Пологосклонное среднегорье распространено на метаморфических и осадочных породах в центральной части района: бассейны Бол. Эзопа, низовьев Эльтакана, Бол. и Мал. Наргена. Это моно-

тонно всходченная поверхность с абсолютными отметками водоразделов 900-1100 м и относительным превышением в 150-300 м. При понижении высот до 800-900 м ландшафт приближается к холмистому низкогорью. Уплощенные водоразделы с округлыми вершинами и широкими седловинами имеют пологие (10-20°) склоны, плавно переходящие в широкие корыто- или ящикообразные долины, часто асимметричные. Широко распространена заболоченность склонов и водоразделов, часто можно видеть солифлюкционные террасы. Эрозионно-аккумулятивный рельеф террас и поим. Стражением серии эрозионных циклов являются различной высоты террасы. В своем развитии долины претерпели шесть таких циклов. С последним связано образование первой надподноженной аккумулятивной террасы, высокой и низкой поимы. Они сломлены современным песчано-гравечно-валунным материалом и замещают основные россыпи золота района. Поимы распространены по всем водотокам, кроме их истоков. Они тем лучше выражены, чем крупнее водоток. Низкая поима с неровным рельефом, меняющейся после паводков, образована косами, островами, прирусловыми валами и отложениями. Вокруг поимы с обрывистым или стяженным уступом до 2 м имеет бугристую поверхность, расщепленную протоками, староводами, озерами. Она сильно заросла лиственным лесом и часто заболочена. Надподножная терраса (3-5 м) имеет уступы и относительно ровную неизогнувшую поверхность. Она покрыта лиственичным или смешанным лесом, кустарником, иногда травой, местами заболочена и содержит следы будущания русла. В устьях ключей, впадающих в более крупные водотоки, останцы конусов выноса высотой до 20 м. В местах отравления россыпей в поимах и на террасе распространены чекотенные формы рельефа. В основном это овальны дражных отработок, котлованы с водой и т.п.

Скульптурно-аккумулятивные и аккумулятивные террасы с уровнями 5-10 и 10-17 м изредка встречаются по всем более или менее крутым водотокам. Их аккумулятивные части образованы верхнечехотичными плохо сортированными гравийно-галечно-валунными отложениями с песком. Уступы и тыльная закрывающая четкие, поверхность слабо наклонена к русству. Террасы в разной степени заросены или заболочены, с остатками старых озер и ложбин. Ких аллювиальных ослабленных россыпей нет.

Среднечетвертичные скульптурно-аккумулятивные террасы высотой 30–40 м прослеживаются вдоль крупных рек района. Их прямые и ровные площадки (до 7 х 0,7 км) обычно заболочены.

По р. Харте аллювий этих террас слабозолостонесен. В связи с оползанием склонов отложения тальваги закраина часто плохо выражена.

Наиболее древними, очевидно, раннечетвертичными являются высокие террасы в долинах Селемиджи (80–100 м), Селикана, Харги и Бол. Эльты (60–70 м). Их широкие (до 1 км) ровные поверхности, ограниченные уступом и глыбовым щитом, очень склоны ($\approx 4^{\circ}$) к русслам рек. В большинстве они безлесны, покрыты моховыми или кочкарниковыми зарядами с кустарником и угнетенной редкой древесной растительностью. Их преимущественно галечниковый аллювий не золотоносен. Следов пойменного режима развития эти террасы не несут. Реликты эрозионных поверхностей выравнивания на высоте 120–140 м даже 200 м встречаются над руслами Бол. Эльты и Селикана. Аллювий на них почти не сохранился.

Реликты денудационных поверхностей выравнивания в виде разобщенных площадок до 2,5 км² отмечаются в разных местах района на абсолютных уровнях 1100–1300 и даже 1700 м. Они свидетельствуют о том, что формирование рельефа происходило задолго до четвертичного периода, но о начале этого процесса, за исключением данных, судить трудно. Наиболее древними ороградиическими элементами, безусловно, являются хребты Зэол и Джады, отделяющие Селимиджинский бассейн от Бурейского и Йлского. Современные черты рельефа начали приобретать в основном с четвертичного периода или несколько раньше, т. е. со временем заложения современной гидросети и образования хорошо выраженных наименее высоких террас. К этому времени район уже представлял собой горную страну. Все последующее рельефообразование проходило в условиях дальнейшей активной денудации и эрозионно-аккумулятивной деятельности. Этому способствовали преобладающие восходящие тектонические движения с кратковременными периодами относительного покоя. В результате рельефу были приданы черты современного облика. Отдельные его морфологические особенности обусловлены субстратом, на котором он формировался.

ПОЛЕЗНЫЕ ИСКОПАЕМЫЕ

В пределах рассматриваемой территории известны месторождения и проявления железа, марганца, олова, вольфрама, ртути, сурьмы, золота и строительных материалов. Наиболее важным является зо-

лото, образующее, иногда совместно с шеелитом, рутины и россыпи месторождения, а также многочисленные рудопроявления. Почти все они сконцентрированы в центре района, в бассейне Харги. Проявления олова и небольшие рассыпь кассiterита тяготят к основному к золотомеловым гранитоидам хр. Эзол, но известны и в других местах в виде шлифовых ореолов. Широко распространены в аллювии шеелит, являющийся постоянным стимулом золота и образующий иногда пригодные для извлечения концентрации (Унглиманское, Харгинское месторождения). Проявления остальных полезных ископаемых немногочисленны и незначительны по размерам. Только для сурьмы известно одно небольшое гидротермальное месторождение — Ленинское.

Сведения о полезных ископаемых даны на карте по состоянию на 1 января 1972 г.

МЕТАЛЛИЧЕСКИЕ ИСКОПАЕМЫЕ

ЖЕЛЕЗО

Единственное проявление гематитовых руд находится на преборежье Унерикана (Ш-1-1). Пласт гематитовых руд залегает в филлитизированных алевролитах и песчаниках талминской свиты, падающих к югу под углом 30–40°. Он прослежен на 600 м и вскрыт тремя канавами, где имеет мощность 10; 4,5 и 7 м. С востока пласти срезан тектоническим разрывом, а к западу переходит в слабоуроженые микрокварциты. В руде содержится 10–60% гематита, до 20% гидроокислов железа, до 20% широкизита, 1–2% пиромагнетита и менее 1% магнетита и сульфидов. Нерудная часть представлена кварцем и серпентитом. Среднее содержание железа не превышает 30%, марганца 6%, серы 0,03% и фосфора 0,57%. Практического значения проявление не имеет.

Марганец

Известны три небольших его проявления. Одно из них, на левобережье Прямого Кебруха (I-1-4), представлено линзовидным кварц-родохрозит-родонитовым телом (30 х 3,5 м), затекающим в нижнедевонские кремни. Родонит и родохрозит включены в мелко-зернистый кварц. Содержание марганца в среднем 9%.

• На водоразделе Селемджи с Максином маломощные пластиы среднедевонских разновато-серых кремней и кремнисто-глинистых сланцев содержат гнезда пиролюзита. В одном случае (П-3-1) анализ штучной пробы показал 17,6% марганца, в другом - 3-9% (П-3-2).

Медь

Единичные зерна халькопирита встречаются в редких шлифах, взятых из аллювия. Иногда выразленность халькопирита наблюдается в кварцевых жилах. В металлометрических пробах содержатся тысячи доли процента меди. Заслуживающих внимания ореолов она не образует.

Свинец

Довольно часто кварцевые жилы и гидротермально измененные породы содержат немного галенита, представляющего минерологический интерес. Встречается он и в отдельных шлифовых пробах, иногда совместно с пироморитом и вульфенитом. Содержание свинца в металлометрических пробах тысячные доли процента.

Олово

Оловянность проявлена типичным образом на юге района. Здесь известны четыре проявления олова, несколько небольших прошашенных и непропомощленных россыпей кассiterита, крупный его шлиховой ореол и пять мелких.

Рудопоявления в верховых Крестовой Эльги и Верх. Талмы расположаются в нижнекаменноугольных (?) сланцах недалеко от контакта с позднемеловыми гранитами. Первое из них (ГУ-2-5) представлено серией согласных со сланцеватостью прожилков кварца мощностью от 0,3 (в перекатах) до 10-20 см. Крупнокристаллический молочно-белый или прозрачный кварц содержит выращенную темно-коричневого (до черного) касситерита, арсенопирита, халькопирита и единичных зерен вольфрамита. Прожилки (до 1 см) кварца с мелкими чешуйками мусковита и теми же рудными минералами приурочены также к северо-восточным кругопадающим трещинам опельности. Содержания олова согласно спектральному анализам

низкие - 0,01-0,09%. В проявлении верховьев Верх. Талмы (ГУ-2-6)

рудоносные кварцевые прожилки мощностью 0,5-5 см и протяженностью до 30-40 м, взаимопресекаются, образуют зону типа штокверка. Они содержат светлое стекло, флюорит, арсенопирит, касситерит (до 2 см), иногда вольфрамит. В 1944-1945 и 1950 гг. на этом проявлении Талымским гидроуправлением проведены поисково-разведочные работы, но данных о содержаниях олова в материалах нет.

Проявление в верховье Бол.Кери (ГУ-1-1) связано с гидротермально измененными кварцевыми горнпробами на площади 1,5-2 км². В каждой из проб содержатся до 10-12 зерен касситерита, совместно с сульфидами (содержание олова 0,005%). Выходы гидротермально измененных гранодиорит-порфиров (1 км²) на левобережье Бол. Кери (ГУ-1-2) содержат до 12 зерен касситерита на протяжке штучной пробы. Это проявление осталось недополученным. С.С.Дарьянин рекомендовал проведение здесь поисковых работ (учитывая также возможность обнаружения в долине реки россыпей касситерита).

В верховых Крестовой Эльги и Верх. Талмы известны небольшие россыпи касситерита. Аллювий первой из них обогащен касситеритом на протяжении 4 км, а второй - 5 км. Эти россыпи (ГУ-2-3 и 9) непропомощленные, но по небольшим (1,5-2,5 км) притокам с шириной долин 200-300 м изредка промыщленные россыпи касситерита. Так, в россыпи по кр.Периодическому (ГУ-2-8) протяженностью 1,2 км среднее содержание на 1 м³ пласта касситерита 866 г, вольфрамита 8 г, а на массу - касситерита 276 г, вольфрамита 2 г. Запасы касситерита по категории В+С₁ составляют 10,6 т, а вольфрамита 0,04 т. Примерно аналогичные по размерам и содержащие россыпи установлены по ключам Валентина (ГУ-2-4), Смехоному (ГУ-2-7) и Стокойному (ГУ-2-10). Все эти россыпи еще не разрабатывались.

Большинство шлифовых проб из аллювия водотоков, стекающих с хр.Эзол, содержат касситерит (совместно с шеелитом, реже вольфрамитом и базиосилитом), образуя крупный (450 км²) ореол расстояния (ГУ-2-2). Он охватывает северные склоны хребта и приурочен к зоне эзаконтакта позднемеловых гранитоидов. В шлифах встречается обычно от 30-50 зерен касситерита до 500 г/м³ (в среднем 10 г/м³). Это тонкокристаллические и слабоокатанные зерна (от 0,1 до 2-3 мм) иногда находятся в сростках с кварцем. Цвет их коричневый различных оттенков, но чаще темно-коричневый (иногда пятнистый). Помимо кристаллического, встречается дере-

Представляется, что наличие проявлений олова и россыпей кассiterита с сопутствующими элементами, наличие крупного шлихового ореола в хр.Эзоп придает этому району практический интерес для поисков рудных месторождений. Об этом же может свидетельствовать находящееся близ южной границы рассматриваемого района промышленное Талминское месторождение олова, вольфрама и мышьяка. Эта территория застуживает более детального изучения на основе геологической съемки масштаба 1:50 000.

Шлихи с содержанием кассiterита до нескольких десятков зерен, реже более, встречаются и в других местах района в различной геологической обстановке. Выделяются пять небольших ореолов: в верховых Баранчи (1-2-1), в бассейне Оксой (Щ-1-2), в верховьях Уланка (1-3-1), Тугтай (1-4-1) и Эльгакана (Щ-4-1). Первый из них и частично второй содержат шилда до 0,3 г/м³ кассiterита и приурочены к нижнеловским вулканам. Несмотря на детальные поиски, коренных проявлений здесь не обнаружено (только в некоторых из штуцерных проб измененных эфузивов синкратичным анализом устанавливается до 0,02% олова). В остальных трех ореолах шлихи содержат до 10-16 зерен кассiterита. Эти ореолы малоперспективны. Известно [72], что некоторые террасы бассейна Кизильев Харги содержат до 100-200 мг/м³ касситерита, откуда он, по-видимому, поступил и в современный аллювий рек.

Вольфрам

Вольфрамовая минерализация для рассматриваемого района характерна [2]. В нем находится Угличиканско-Харгинское месторождение, из которых добывается шеелит. В том или ином количестве шеелит обнаружен в аллювиальных отложениях. При этом тесная генетическая связь его с золотом проявлена как в коренных месторождениях, так и в россыпях. Кроме того, шеелит, иногда совместно с вольфрамом, является постоянным спутником касситерита и образует с ним, как и с золотом, шлиховые ореолы.

Угличиканско-Харгинское месторождение (11-3-13) золото-вольфрамовое (золото-шеелитовое). Оно находится в 5 км к югу от пос.Берненский по руч. Березовому, левому притоку Угличикана. После находки в 1950 г. Г.П.Софроновым кварцевой жилы с шеелитом в результате поисков выявлено 25 рудных тел, разведанных канавами и двумя штолнями. Из всех тел только пять были промышленно-шееелитовыми. Их протяженность 140-420 м, мощность 5-60 см.

Представлены они брекчированными, перемытыми обломками кварца и эпидотающих пород, спленгированых кварцем с супердиапазоном. Бедлит и светло-желтый шеелит образует желики (1-5 х 20 см), прожилки и плизы. Содержание трехходиси вольфрама в отдельных телах составляет от 1,9 до 4,8-25%, золота - от "следов" до 39,9 г/т. Добыча шеелитового концентрата проводилась в 1931-1936 гг. Получено с разведочными работами, а в 1937-1941 гг. старательми. Выявленные запасы отработаны. За это время добыто 93,4 т 60%-ного шеелитового концентрата. О количестве добываемого золота сведения нет. Кроме того, шеелит добывался из жил Харгинского золоторудного месторождения. Наиболее богатой являлась кварцевая жила Шеелитовая, из которой добыто 4,8 т шеелита.

В верховье Кера-Макита сланцы талминской смыти вмешают кварцевую жилу (0,3 м) с шеелитом, арсенопиритом и галенитом (Щ-2-22). Шеелит образует мелкую вкрапленность и гнезда до 1 см.

Шеелит встречается в аллювиальных районах повсеместно, но промышленные концентрации его были известны в россыпях по ручьям Сухому Логу, размывающему Харгинское месторождение, Березовому и Угличикану, размывающим Угличиканское месторождение. Из них он известился. Длина промышленных участков россыпей 600 (Сухой Лог), 1200 (Угличикан) и 700 м (Березовый), ширина 10-20 м. Мощность аллювия составляет от 2,5 до 3-5 м по Угличикану, среднее содержание шеелита в массе 0,21-0,26%. В 1937-1943 гг. из этих россыпей было несколько тонн шеелитового концентрата.

Три шлиховых ореола с содержанием шеелита до 10 зерен, редко больше, выделяются в зоне северного эзоконтакта Ингатинской интрузии и в хр.Джаты среди кембрийских и девонских отложений (1-1-1,5, 6). Более высокие концентрации шеелита (до 50 зерен и выше) как в отдельных пробах, так и в ореолах сопоставимы с золотом (П-2-3, П-3-8) наблюдаемого в бассейне Харги, где распространен комплекс метаморфизованных образований палеозоя и сопредотечены россыпи золота.

На юге района шеелит, реже вольфрамит, тесно ассоциируют с касситеритом, локализуясь с ним в крупный шлиховой ореол (11-2-2) в зоне эзаконкакта позднеловских гранитоидов. Характерно наличие обломков черных кристаллов вольфрамита, содержание которых иногда достигает 14-40 г/м³. В небольших количествах вольфрамит отмечен в проявлениях олова, откуда, очевидно, и поступает в аллювиальные сопредотечи касситеритом.

Ртуть

Киноварь в количестве до 10 зерен, реже больше, встречается довольно часто в шлихах. Выделяются четыре ореола: в верховых Кечутаха (I-I-3), Селана (I-4-2), Унеркана (Ш-I-3) и по кл.Павловскому (II-3-3). Намечается приуроченность этих ореолов к крупным тектоническим разрывам. Содержания киновари в шлихах невелики, в связи с чем покосными объектами ореолы являются не могут (только в одном случае по р.Селану в шлихе установлено 40 зерен киновари). Иногда киноварь встречается в кварцевых жилах и окварцованных породах афганасазской и талымской синт., протолочки из которых содержат небольшие ее количества.

Сурьма

На юге, по р.Таламу (левый приток Тадмы), находятся единственные в районе Ленинское сурьмальное месторождение (ЛУ-З-1). Антимонит встречается и в рудах Улгичинского и Харгинского месторождений, но это имеет только минералогическое значение.

Однотипное в 1930 г. Г.П.Софроновым Ленинское месторождение разрабатывалось в 1931-1932 гг. Добыча произошла в 1938-1942 гг. парижей Сомзапрестретразведки под руководством С.Н.Петровского. За это время из проходных карьеров добыто и переработано 511 т концентратов. Рудное поле (2,5 км²) сложено квадрато-во-столбистыми сланцами талымской свиты, собранными в пологие (10-20°) складки, пересеченные разрывами близкого к широтному направления. Всего известно 48 тектонических зон протяженностью от 50 до 500-700 м и мощностью до 4,5 м с системой параллельных или ветвящихся кварцевых жил и прожилков (мощность от 0,05 до 1,2 м и протяженность 40-150 м) либо отдельных кварцевых линий (0,2 х 10-20 м). Иногда это просто кварцевые желваки либо тектонические брекчи, сплющенные кварцем. Во всех случаях жильный кварц содержит тонкозернистую (0,1 мм) вкрапленность антимонита, а также пирита, арсенопирита, шеелита, галенита и сфalerита. Более чем на 30% антимонит замещен серантитом, валентинитом и керизитом. Содержание сульфида в кварцево-антимонитовых телах в среднем 6,9%, в окварцованных брекчиях - 0,29% и во вмещающих сланцах - 0,15%.

В 1952 г. в первых окончательной оценки перспектив месторож-

дения А.Ф.Американцевым [23] проведены разведочные работы с применением колонкового бурения до глубины 40-140 м. Установлено, что оруденение на глубину не прослеживается и месторождение признано выработанным.

Висмут

В шлихах пробах из аллювия верховьев Баранчи и Бургали, где распространены никелевые залежи, содержится висмутин и базисмутин, обычно до 10 зерен на шлих, но иногда наблюдается содержание их от 10 до 310 мг/м³. Коренные источники выноса этих минералов неизвестны.

На юге района, в истоках Крестовой Эльты, Бол.Эльты, Бол.Керы и др., базисмутин (от единичных зерен до 100 и более) находится в шлихах совместно с касситеритом, вольфрамитом и шеелитом. Здесь он обнаруживает четкую приуроченность к позднему локальным гранитодиам и вертузивам. По Крестовой Эльте встречается самородный висмут в виде серебряно-белых зерен (0,5-1,0 мм).

Редкие земли

Шлихи в районе Ингаглинской интрузии гранитоидов часто содержат монацит. Два его ореола рассеяния выделяются в верховых Итматы (I-I-2) и на левобережье Селемджи совместно с золотом (I-I-9). Монацит в шлихах содержится от нескольких зерен (до 65) по р.Итмате до 130 г/м³ по левобережью Селемджи. В Ингаглинских гранитоидах монацит встречается в качестве акцессорного минерала, олкуда, очевидно, поступает в аллювий.

Золото

Экономическое освоение района связано с открытием и разработкой золота. В настоящее время драгами эксплуатируются только некоторые из россыпей. В районе известны 4 коренных месторождения и более 50 рудопроявлений. Большинство рудных тел кварцево-жильного типа, и значительно реже они представлены кварцевыми мезасомитами и минерализованными зонами дробления.

Харинское месторождение (Ш-3-7) расположено в окрестностях пос. Златогустовска. В 1901-1902 гг. и последние годы на право-брежье Харги между руч. Догадиным и Альбоном были обнаружены жи-лы Магистральная, Верхне-Желринская и др. Развиваясь в ос-новном жила Верхне-Желринская, но ясности в промышленной ее пе-ности достигнуто не было и работы прекратились. В 1915 г. при разведке жилы Магистральной установлена гнезда с хорошим содер-жанием золота и шеелита. По одному из гнезд проидна наклонная шахта глубиной 32 м. В 1917 г. обнаружены и частично разведа-ны жила Шеелитовая, Гланная и Имас, являющиеся центральной час-тью месторождения, названной впоследствии Третим рудником. В 1922-1925 гг. золото добывалось из всех известных жил, а в 1926-1934 гг. разрабатывалась только Третий рудник. С 1934 по 1955 г. одновременно с эксплуатацией месторождения изучались его фланги. Так, в 1941-1942 гг. были обнаружены линзы кварцевых метасомати-тов (Альбонская рудная зона), пробная эксплуатация которых продол-жилась в 1949 г. и сыла прекрасна из-за низких содержаний золота (до 7 г/т). Всего за период с 1901 по 1955 г. на место-рождении выявлено более 30 квадратных жил и рудных зон, добого, по неполным данным, 6 т. золота и 5,6 т. шеелита.

Рудные тела сконцентрированы на площади 15 км² на замкании Эльгакской антиклинали, рассеченнной даеками средних пород. Разрывная тектоника месторождения сложна и недостаточно изучена. Установлено, что рудные жилы иногда приурочены к обширотным и северо-восточным разрывам, падающим под углом 20-60° к югу, на встречу падению вышеупомянутых пород. Имеются также согласные руд-ные тела - жила Северная, метасоматиты и жила Альбонской рудной зоны. Наиболее богатые жилы располагаются в зеленых амфиболовых сланцах и близ даек. Сюда относятся жила Шеелитовая, Гланная, Южная, Сфалеритовая, Северная, составляющие Третий рудник. На севере рудного поля расположены жила Развелчная, Пионер, Пере-вал, Дружная и др., но промышленная ценность их значительно меньше.

На юге выделяется Альбонская рудная зона, представленная жилами Огородной, Дорожной, Новой, Зазубринской и линзами золо-тоносного метасоматического кварца. Строение жил линзовидное, реже птикообразное; иногда они состоят из серии разветвляющихся промылок. В раздувах мощности достигают 0,9-1,3 м, а в пережи-мах 1-2 см. Простирания меняются от широтных до северо-восточ-ных. Крупнокристаллический молочно-белый или полупрозрачный кварц содержит разное количество золота. В отдельных случаях

оно достигает 230-420 г/т, даже 1 кг/т (жила Гланная). Ярко-жел-тые золотины различной формой имеют высокую (от 843 до 170-550) пробу. Отработка жил прекращалась обычно в связи с уменьшением содержания на глубине. Золоту всегда сопутствуют пирит, арсенопи-рит, шеелит, иногда галенит, сфalerит, пиротин и киноварь.

Помимо жил, рудные тела представлены кварцевыми, серпите-мильбит-кварцевыми метасоматитами, замещающими согласно в-сланцах афанасьевской смыте. Длина тел 75-250 м, мощность 1,5-20 м, среднее содержание золота в отдельных телах от 2,2 до 13 г/т. В квадре золото находится в тонкодисперсном состоянии и коксифициент извлечения его очень низок (26-52%). В 1947-1951 гг. метасоматиты частично эксплуатировались и из них добыто 100 кг золота. Они разведаны только с поверхности (до 3-5 м) и нуждают-ся в дальнейшем изучении.

Минерализованные зоны проблемы, содержащие золото, специ-альному изучению не подвергались (кроме одной с содержанием зо-лота 3-20 г/т). В заключение следует отметить, что кварцевые жилы разделялись и эксплуатировались до глубины 50-100, редко 150 м, а жила Шеелитовая и Гланная до глубины 320 и 180 м. Опре-деленные перспективы увеличения запасов могут быть связаны с по-искали и изучением кварцевых метасоматитов и минерализованных зон проблемы, в частности, на западном фланге месторождения. Сейчас по месторождению числятся 440 кг балансовых и заданных-ых запасов.

Афанасьевское месторождение (Ш-2-21) находится в 5 км от пос. Ольгинска. С первыми оно разделялось в 1929-1949 гг. Попутно производилась добыча металла. Здесь среди сланцев афа-насьевской смыте, слагающей антиклинали, известны три руд-ные зоны, приуроченные к широким вертикально или под углом 60-70° падающим разрывам и состоящие из мелких жил и прожилков кварца, окварцированных сланцев и брекчий. Наиболее протяженной является третья рудная зона (100 м), содержащая в среднем 9 г/т. Две другие короче, но золота в них больше - II и 43 г/т. Мощности их редко достигают 1-2 м. Молочно-белый жильный кварц обректирован, обожжен и, помимо высокогорного золота (870-910), содержит арсенопирит, шеелит, пирит, галенит.

На месторождении до глубины 100 м петрально разведен только западный фланг третьей зоны, по которому чеколится 45 кг балансо-вых запасов, а первая и вторая зоны отработаны. Еще несколько

Лисенское месторождение (П-2-6), расположено в верховье

кл. Золотого (йншого), левого притока Карги, открыто в 1951 г.

В 1951-1953 и 1957-1958 гг. оно разрабатывалось горными выработ-

ками и скважинами до глубины 100-200 м. Рудные тела залегают в

сланцах и песчаниках тадымской и златоустовской свит, смятых

в мелкие северо-западные складки. Они представлены сортами,

и иногда секущими кварцевыми жилами и линзами, переходящими в ок-

варцованные брекчию дробления. Длина промышленных тел не более

150 м, мощность 0,05-1,8 м (в среднем 0,6 м). Кварц обычно брекчи-

рован, обожжен и, кроме мелкого золота (0,2-0,7 мм), включает

до 8-10% арсенопирита, пирита, галенита и сфalerита. Среднее

содержание золота по отдельным жилам от 22 до 52 г/т. Околорул-

ко-измененные (окварцованные и сульфидизированные) породы также

содержат золото. Рудные тела отработаны до глубины 50-100 м.

Эксплуатации его производилась одновременно с разведкой и было

лобко около 400 кт металла. Оставшиеся запасы в 57 кт на балан-

се не числятся.

Инагильское месторождение (П-2-II) открыто старательами на левобережье Сред. Инагли, и в 1934-1938 гг. производилась его разведка и эксплуатация. Рудное тело находится в инагильских гранитоидах и представляет собой кварцевую жилу стоянного строения, состоящую из ряда куполообразно расположенных линз мощностью 0,3-0,5 м и общей протяженностью 60 м. Они падают к северо-западу под углами 30-40° и разделяны до глубины 30 м. Помимо темно-серого кварца ранней генерации, встречаен более поздний молочно-белый. В том и другом содержится золото, иногда видимое (размером до 3 мм). Как и везде, ему сопутствуют сульфиды. Содержание золота колеблется от 14 до 22 г/т, достигая иногда 100 г/т. На месторождении добьто 280 кт металла. В связи со сложными гидрогеологическими условиями (в 1941 г. шахта была затоплена) разведка его и отработка прекращены. Месторождение относится к числу мелких непромышленных и на балансе запасов не числится.

Кроме рассмотренных выше месторождений золота, в бассейне нижнего течения Хары сконцентрированы многочисленные рудопроявления. Золото в них также связано главным образом с кварцевыми, иногда кварц-полевошпатовыми жилами, а также с кварцевыми метасоматитами и окварцованными зонами простирания. В большинстве своем проявления установлены по дельвиальным скважинам, реже в коренных выходах. Содержания золота определены пробным анализом штучных и бороздовых проб. Имеющиеся сведения по всем известным проявлениям приведены в табл. 4.

Таблица 4

Индекс клетки и номер карте	Характеристика проявлений	Содержание золота, г/т
П-2-4	Глыба (30 см) крупнокристаллического кварца с пиритом, арсенопиритом. В деловине кварцевые метасоматиты са-роидные с сульфидами	1,2-2,8
П-2-5	Глыба (0,6 м) серого кварцевого мета-сомитита с пиритом	0,6
П-2-7	Коренной выход окварцованных песчаников	1,2
П-2-10	Чистый кварцевой жилы мощностью 0,3 м глыбы (до 0,3 м) кварцевых метасомати-тов среди позднепалеозойских гранитов глыба (0,3 м) белого кварца с арсенопиритом	1,8
П-2-13	Глыба (0,2 м) темно-серого кварца с ше-литом, галенитом, арсенопиритом, в пробе 10 знаков золота	0,8
П-2-14	В деловине жильный кварц с арсенопиритом, пиритом и галенитом	1,2
П-2-15	Глыба (0,2 м) сахара-видного кварца (0,2-2,0 м) с пиритом, арсенопиритом и шеелитом	Нет
П-2-18	Глыбы (до 0,3 м) сахара-видного кварца	0,4-0,8
П-2-19	Свачи глыб (до 0,5 м) сахара-видного кварца	1,4
П-2-22	Окварцованные филлитизированные гли-нистые сланцы	0,3-0,9
П-2-24	Свачи обломков и глыб (до 0,5 м) дыма-того кварца с пиритом и арсенопиритом	0,6
П-2-25	Кварцевая жила мощностью 0,12-0,2 м и протяженностью 220 м	0,4-1,2
П-3-9	Окварцеванные сланцы с пиритом и арсенопиритом	0,1-1,2 до 0,8; в сред-нем 1,8
П-3-10	Обломки серого мелкозернистого кварца	0,8
П-3-12	Окварцованные зоны дробления	0,8
П-3-15	То же	6,2

I	2		3
II-3-18	Серый мелковернистый брекчированный кварц	0,9	III-3-24 Ороговикованные и окварцованные породы
To же		0,8	III-3-26 Обломки жильного кварца
II-3-20	Обломки жильного кварца.	0,6	III-3-27 Выход гидротермально измененных пород
III-2-3	Глыба (0,5 м) сахаровидного кварца	0,9	III-3-29 Выход гидротермально измененных обожженных пород
III-2-7	Обломок (10 см) молочно-белого кварца	0,6	III-3-30 Обломки жильного кварца
II-2-8	To же	0,8	III-3-31 Обломки (до 10 см) молочно-белого кварца
II-2-9	Глыба (0,5 м) волнисто-прозрачного слабо обожженного кварца	2,4	III-3-32 Жильный кварц
II-2-11	Промылок (0,05 м) молочно-белого кварца в зеренчатых сланцах	1,6	В наиболее распространенных золото-кварцевых и золото-шеллит-кварцевых промылниках кварц представлен несколькими разновидностями: молочно-белым, волнисто-прозрачным сахаровидным. Структура его от мелко- до крупнокристаллической. Обычно кварц трещиноват, катализирован, содержит обломки вмещающих пород и многочисленные пустоты (до 2-3 см) с бурыми окраинами. В друзовидном кварце обычно трещиноватые призматические кристаллы (до 2 x 5 см) часто покрыты бурой рудашкой лимонита. Размер золотин в кварце от 0,15 до 1 мм. Кварцевые метасоматиты - серые мелковернистые породы с гнездами гидроокислов железа и реликтами вмещающих пород. В зонах дробления различных направлений (мощность до 5 м) интенсивно перемытые породы окварчованы, обожжены окислами и содержат небольшую сульфидную минерализацию. Почти во всех рудопроявлениях содержания золота крайне низкие, в связи с чем постановка поисково-разведочных работ на них нецелесообразна.
II-2-12	Глыба кварца (0,3 м) плотного сахаровидного	1,0	
II-2-13	Глыба (0,5 м) волнисто-прозрачного слабо обожженного кварца	1,0	
II-2-16	Жила (0,2 м) волнисто-прозрачного кварца	1,6	
II-2-19	Эльгинская жила (15 см) обожженного кварца	Нет сведений	
II-2-20	Жила Ивановской мощность 0,1-0,9 м, протяженность 300 м, кварцы друзовидной обломки жильного кварца	До 10	
II-3-1	To же	0,8	Россыпи рассматриваемой территории почти за всеовой период эксплуатации были лестники тонн металла. Большая часть россыпей отработана ручным способом, а наиболее крупные из них и теперь разрабатываются драгами. Основная масса россыпного золота связана с современным аллювием харги, Бол. Эльги и их притоков, обра- зуя Харгинскую золотоносную площасть (узел). Сюда же входят россыпи нижнего течения Мал. Нээрена с его левыми притоками. Среднее количество золота на 1 пог. км россыпи составляет 450 кг. Несколько неприменимых россыпей, отработанных старителями, известно по правым притокам Селемжи и р. Макчере.
II-3-2	Обломки брекчированных пород	0,7	
II-3-10	Обломки жильного кварца	3,2	
II-3-11	Брекчирование породы	0,8	
II-3-12	Обломки жильного кварца	1,5	
II-3-13	To же	2,0	
II-3-15	"	0,9	
II-3-17	Брекчирование и окварцованные сланцы	1,5	
II-3-19	Жильный кварц в остатках	0,6	
II-3-23	Жиль и прожилки (0,03-0,7 м) молочно-белого обожженного кварца	1-2,1	

практического значения не имеет. Аллювий более высоких террас слас золотоносен и промышленных концентратов золота в нем неизвестно.

Россыпи тяготеют в основном к коренным месторождениям.

Мощность аллювия колеблется от 3 до 9 м, достигая 15 м только по левым притокам Эльгакана. Его разрез имеет трехслойное строение: почвенно-растительный слой (до 0,5 м), средний слой галечника с песком и нижний слой щебня с песком, гальками и глинистой примазкой (0,3-1,5, редко 2-3 м). В верхней части аллювия часто застекают линзы илов мощностью до 0,7-1 м. Золото находится в нижнем и частично среднем слое, образуя струи шириной 20-160, иногда до 600 м. Основные данные по россыпям Харгинской площа-ди приведены в табл. 5.

Плитки с неровной поверхностью сложены выветрелыми городами афанаасьевской, талыминской и златогорской свит. Залегают на нем золотоносный пласт состоит из неокаганского и слабо окатанного шебисто-обломочного или гравийно-галечного материала с звязкой глинистой примазкой. Чем обильнее последняя, тем богаче золотом пласт. Оно часто встречается также в разрушенных породах плитки и нижней части вышележащих галечников. В пласте золото распределено очень неравномерно. Наиболее крупные золотины (2-3 мм) и самородки до 5-10 г концентрируются в верхних по течению частях россыпей и их головках. Их форма комковатая, ленидичная, крючковатая, и часто они находятся в сростках с кварцем или сульфидами. Ниже по течению золото мельче (до пылевидного), а форма зерен чешуйчатая, пластинчатая. Проба его чаще 840-870. Совместно с золотом в россыпях обнаружены шеелит, арсенопирит, пирит, магнетит, касситерит, вольфрамит, киноварь и др.

За пределами Харгинской золотоносной площади россыпи известны по рекам Кенчурку (I-I-7), Макчире (II-II-4) и клюром Тишкову (II-2-1), Алемеевскому (I-2-2), Иванову I-му (I-I-10), Иванову 2-му (I-I-11) и Золотому 2-му (I-I-8). Из них только две последние промышленные и отработаны ямами (по Золотому 2-му до 60 кг золота). Остальные частично разрабатывались старейшими и являются непромышленными. Других сведений по этим россыпям нет.

Шлиховым опробованием золота устанавливается в аллювиальных бедрах золотоносных речек района. Выделяются четыре ореола рас-сения. Некоторые из ореолов, приуроченных к долинам с отрас-танными россыпями, на карте не показаны. Шлихи с несколькими зна-ками золота (до 700 мг/м³ по ключу, где она известна небольшая

Таблица 5

Индекс клетки и номер на карте	Наименование россыпей	Длина россы- пей, км	Мощность, м		Содержа- ние золо- та в пла- сте, г/м ³	Количество добытого золота, сведения о разработке
			торфс	пласти		
I	2	3	4	5	6	7
II-2-I7	р.Харга	25	3-8	0,2-2,1	0,35 ^x	15 т; частично эксплуатируется
III-3-4	р.Селемджа	9	3-5	0,4-1	0,2 ^x	Не эксплуатируется
III-3-8	руч.Албын	3,4	3,0	2,5	2,2	7 т; числятся запасы
III-3-6	руч.Догадын	3,2	2,0	1,0	5,3	1,6 т; числятся запасы
III-2-2	р.Бол.Эльга	23	3-7	0,6	До 5	> 8 т; частично эксплуатируется
II-3-6	р.Мал.Неэрген	8,8	3	1,2-3,1	0,3 ^x	4 т; эксплуатируется
III-2-I0	руч.Афанасьевский (с притоками)	8,2	Нет сведений		7,2	6,5 т; отработана
III-2-I8	руч.Ивановский	3,7	Нет сведений	0,4	2,0	0,8 т; отработана
III-3-I4	р.Эльгакан	2,7	4	1,0	0,4 ^x	0,15 т; числятся запасы
III-2-6	р.Курумкан	8	3-5	0,6	2,2	То же
III-2-I4	р.Кера-Макит	6	Нет сведений		6,3	1,1 т; числятся запасы
II-3-II	руч.Унгличикан	2,5	5	0,8	4,0	0,2 т; частично отработана
II-3-I4	руч.Березовый	0,8	5	0,8	0,6	0,017 т; отработана
II-3-5	руч.Георгиевский	0,2	1,3	0,7	5,7	30 кг; то же

1	2	3	4	5	6	7
П-3-16	руч.Николаевский	1,5	2,5	1	5	60 кг; отработана
П-3-17	руч.Казимировский	0,6	2,5	I	5	То же
III-2-5	руч.Придорожный	1,1	Нет сведений		2,5	" "
III-2-15	руч.Аннушка	3,5	То же		0,8	0,3 т; отработана
III-2-17	руч.Чуконный	6,0	" "		8,5	0,48 т; То же
III-2-23	руч.Константиновский	1,5	" "		8,0	0,1 т; " "
III-3-25	руч.Ночлежный	2,9	4	0,2-I	5,6	0,7 т; " "
III-3-28	руч.Коврижка (с притоками)	7,8	4,5	0,2-I	4,6	0,6 т; " "
III-3-16	руч.Нептун	2,4	4	0,5	5,6	0,1 т; " "
III-3-20	руч.Маристый	0,5	4-15	0,4-1,2	6,4	50 кг; " "
III-3-21	руч.Лыжный	1,1	4-15	0,3	6,0	104 кг; " "
III-3-22	руч.Иловатый	0,7	4-15	0,3	II,2	56 кг; " "
П-3-7	руч.Остаховский	4	Нет сведений		-	18 кг; непромышленная
П-2-8	руч.Грозный	0,4	То же			5 кг;
П-2-9	руч.Золотой	0,5	" "			То же
П-2-12	р.Сред.Ингагли	7	" "			" "
П-2-20	руч.Веселый	3,5	" "			" "
П-2-21	руч.Густак	0,5	" "			" "
П-2-23	руч.Лобастов	4	" "			" "
III-2-1	р.Бол.Ингагли	9,5	" "			" "
III-2-24	руч.Богородский	1,1	" "			" "
IV-2-1	руч.Безымянный					

x) Содержания, означенные звездочкой, даны на кубометр массы.

россыпь) образует ореол на левобережье Селемджи. (I-1-9) В зоне крупного Полосеновского разлома. Породы здесь сильно дроблены, обожраны и секутся тонкими прожилками кварца с пиритом. Ореол в зеркальях Имандры (II-1-1) приурочен к частично орогникованным и обожженным породам тальменской свиты. В шлихах здесь содержатся от I-17 знаков золота до 50 мг/м³. Проведенными на этих двух ореолах полисковыми работами коренных проявлений золота не обнаружено.

Крупный шлиховой ореол (II-2-3) протягивается от верховьев Бол.Ингагли до Курум-Уруя идоль контакта Ингаглинского массива. Шлихи содержат от нескольких знаков до 3-7 шт./м³ мелкого (до 1 мм) золота. Оно хорошо окатано в крупных водяных и плохо мелких ключах. В пределах ореола расположены Ингаглинское, Исененское месторождения и три рудопроявления, из которых золото и поступает в аллювий. Шлихи ореола в приуставной части бассейна мал. Неаргена содержит I-3 знака, до 0,3 г/м³ преимущественно неокатанного золота остроугольной дендритовидной или пластинчатой формы, что совместно с благородистой геологической обстановкой (замка-ние Невадренской антиклинали) создает определенные перспективы для поисков здесь рудного золота.

Останавливаюсь на факторах контроля золоторудной минерализации, можно сказать следующее. Все рудное золото связано с гидротермальными золото-кварцевыми, шеелит-золото-кварцевыми жильями и минерализованными зонами прослояния, реже телами кварцевых метасоматитов. Золоту, помимо шеелита, сопутствуют сульфиды железа, мышьяка, синита и др. Участки, богатые шеелитом, золота почти не содержат. Установлено [72], что золоторудные тела локализуются в пределах крупных антиклиналей (обычно в местах их замыкания), образованных метаморфизованными породами афантасферической, тальминской и златустовской свит, но зависимость между степенью метаморфизма и золотым оруднением не настаивается. Факторы литологического контроля не совсем ясны, но устанавливается определенная приуроченность оруднения к зеленокаменному горизонту в низах тальминской свиты и к породам, непосредственно подстилающим (темные трахитистые сланцы) или перекрывающим его. Рудные жилья обычно располагаются в зонах кругогонадающих разрывов шириной, иногда северо-восточного проясжения.

Большинство исследователей признает параллентическую связь золоторудной минерализации с мезосибирским малым интузиям палеосибирского типа, в частности дюритов Токурского месторождения, и широко распространенным лайками и мелкими телами преимущественно среднего состава.

Промышленные россыпи распространены также в пределах антиклинальных структур, расположенных близ известняков коренных месторождений.

СТРОИТЕЛЬНЫЕ МАТЕРИАЛЫ

М 3 В Е С Т Н Я К И в виде пластов и линз встречаются преимущественно среди девонских отложений и в златоустовской свите. Пласти девонских известняков мощностью 5-50 м протягиваются до 1-2, иногда 4 км и обычно имеют органогенний характер. В златоустовской свите известники сильно мраморизованы и слагают линзы мощностью 3-5 м (25 м на правобережье Бол. Чагатай) и протяженностью до 100 м. В некоторых местах они разрабатывались для обжига на известок. Сюда относятся следующие три небольших месторождения, в настоящее время не эксплуатирующихся.

Бесторождение Волораздела Харти и Бол. Энги находится на 10-м километре грунтовой дороги Ольгинск - Златоустовск (II-3-18). В карьере здесь разрабатывались две линзы мраморизованного известника, падающие к северу под углами 50-80°. Длина линз 100 и 42 м, средняя мощность 2 м. Сильно мраморизование, плотные полосчатые породы голубовато-серого цвета. В большей части они выработаны.

Васильевское месторождение (II-2-4) расположено на 9-м километре той же дороги. Здесь известно несколько маломощных (1-2 м) быстро выклинивающихся линз мраморизованных известняков, аналогичных предыдущему месторождению и содержащих SiO₂ - 19%, CaO - 38,5%, MgO - 2,4%, Р₂O₅ - 0,04%, P, P, P - 31,3%. Месторождение разрабатывается карьером также для местных нужд и считается отработанным.

Талымское месторождение (IУ-3-2) находится на левом берегу Талымы близ дороги Софийск - Ольгинск - Экиман. Мраморизованные известники обжигаются на известок в сохранившихся до сих пор печах. Здесь в небольшом карьере (36 x 30 м) обожжена верхняя часть полота залегающего (до 30°) пласта сильно мраморизованного известняка. В его кровле находятся легкораздробные известково-слоновые сланцы. В верхах пласта известники темно-серые однородные, а ниже через полосчатые разности переходят в белые. Плотность пласта неизвестна, так как его почва не обожжена. При необходимости он может быть легко использован для дальнейшей отработки.

ПОДЗЕМНЫЕ ВОДЫ

Сведения о подземных водах района получены при геологической съемке м-ба I:200 000, I:50 000 и проходении горных работ. По условиям накопления и циркуляции воды горово-пластовые, трещинные и трещинно-жильные. К первым из них относятся грунтовые воды, которые концентрируются в четвертичных аллювиальных и эоловально-делювимальных овало-бассейнах. Они национальные, так как водоподпорным горизонтом для них в большинстве случаев служит многоглетний мерзлота. По имеющимся данным, грунтовые воды не-напорные.

Аллювиальные воды распространены в поймах рек и на террасах. Они залегают нетривиально, так как первыми граница мерзлоты находится в 0,5-4 м от поверхности. Это создает благоприятные условия для широкой застолоченности долин. Бороздящиеся талики, речки, явившиеся областями питания мерзлотных и подмерзлотных вод, но данных о последних практически нет. Питание аллювиальных вод происходит за счет атмосферных осадков, оттавания ледяного снега мерзлоты и стока со склонов эоловально-делювальных вод. Поэтому их уровень сильно колебается в зависимости от времени года и количества выпадающих осадков. Аллювиальные воды, прорывающие преимущественно в гравийно-галечных отложениях, имеют debit в первом докладе до 0,1-0,2 л/с, а в сухое время их деятельность почти прекращается. Они чистые прозрачные без запаха. Воды холодные (до +5°), по составу гидрокарбонатно-кальевые слабоминерализованные (табл. 6). Населением поселков Ольгинска, Златоустовска и Верхнемайского они используются для бытовых и производственных нужд.

Эоловально-делювимальные воды распространены практически повсеместно на волоразделах и склонах, за исключением гольцового среднегорья и высокогорья. Они циркулируют в супесчаных, щебенчато-обломочных и обломочно-глыбовых образованиях. Воло-утром являются мерзлотами или коренные породы, иногда простой ледниковых суглинков. Глубина залегания этих вод зависит от

Г а л е ч н и к и т р а в и и для различных строительных работ имеются в прирусловых отложениях и аккумулятивных террасах всех более или менее крупных водотоков, но наиболее удобны для использования многочисленные отвали драг, содержащие большие запасы песчано-гравийно-галечного материала.

характера рельефа, экспозиции склона, количества выпадающих осадков и колеблется от 0,5 до 2,5 м.

Водообильность аллювиально-делювиальных отложений резко повышается в дождливые периоды, что сильно затрудняет проходку горных выработок, особенно в условиях выполненного рельефа. Помимо атмосферных осадков, их питание происходит за счет потока трещинных, трещинно-жильных вод. На крутих склонах разгрузка аллювиально-делювиальных вод иногда осуществляется в виде небольших источников, дающих начало клячам. В других местах их выходы прослеживаются, вдоль подошв склонов долин. В условиях пологосткционного рельефа с широкими выровненными водопадами и развитии существенно глинистого левобережья на метаморфических породах сток вод сильно затруднен. В этой связи общирные участки здесь заболочены и покрыты толстыми слоями почвы. По составу рассмотренные воды схожи с аллювиальными (см. табл. 4).

Трещинные и трещинно-жильные воды изучены плохо и данных о них мало. Они отмечались в горных выработках, редко в естественных выходах в виде капельных источников и зон повышенной с водонасыщенности.

Вышеупомянутые трещинные воды являются коренными породами зоны выветривания, где наиболее активно проявлены трещины отдельности и выщелачивание, а также небольшие тектонические разрывы. Этого типа воды наблюдаются во всех литологических комплексах пород, но наиболее обводненными являются сланцеватые метаморфические и некоторые осадочные породы и изверженные образования с плингитовой очистительностью. Литотипие трещинных вод осуществляется за счет атмосферных осадков и элювиально-делювиальных вод. По имеющимся данным, десант насыщающихся источников не превышал 0,2-0,5 л/с, но в период дождей он увеличивался в несколько раз. Бессветовая или слабо-желтоватая вода гидрокарбонатно-кальциево-магниевая (см. табл. 4). Практического значения эти воды не имеют, т.к. зоны трещиноватых пород с глубиной быстро затухают, а питание их сильно затруднено многолетней мерзлотой.

Трещинно-жильные воды приурочены к крупным разрывам нарушениям, зонам катаклизма и мylonитизации. В некоторых случаях их естественные выходы наблюдались на склонах хребтов в виде нисходящих источников с лейтом до 0,2-0,5 л/с. Кроме того, в качестве примера можно привести Унгличанский, Верхнемайский и другие разломы. На Унгличанском месторождении трещинно-жильные воды вскрыты штоллейней. Известно также, что на Харгинском месторождении разрывные нарушения также являются коллекторами и путями прокладки вод. Их приток в выработки составил обычно 1,4-2,8 л/с, но в дождливые периоды увеличивался почти до 10 л/с.

Таблица 6

Номера проб и место взятия	Состав, мг/л											Местность общая, мг·экв.	
	Na	K	Ca	Mg	NH ₄	HCO ₃	SO ₄	pH	CO ₂ свобод.	SiO ₂	Fe ₂ O ₃		
I	2	3	4	5	6	7	8	9	10	II	I2	13	
Аллювиальные воды													
II5 (басс.Бол.Эльги)	2,3	0,8	19,8	6,6	0,4	85,4	7,7	7,0	19,8	8,8	0,4	1,53	
535 (басс.Баранчики)	0,3	0,1	1,1	-	0,1	8,1	2,0	6,0	4,7	6,0	-	0,06	
536(басс.Баранчики)	0,3	0,1	2,8	0,3	0,1	9,2	2,0	6,2	-	7,2	-	0,16	
618 (басс.Кенурахса)	0,5	0,5	13,5	2,2	0,1	48,8	Нет	6,8	4,6	5,2	Нет	0,84	
I814 (басс.Кенурахса)	0,9	0,5	2,6	0,3	0,8	18,3	"	6,1	9,2	6,0	"	0,15	
Элювиально-делювиальные воды													
IO1 (басс.Бол.Эльги)	I,4	0,4	10,8	I,8	0,5	48,6	Нет	6,7	II,0	14,4	0,3	0,69	
IO2 То же	I,6	0,4	15,0	3,6	0,4	73,2	"	6,6	18,2	14,0	0,4	I,05	
IO3 "	I,3	0,2	7,2	2,2	0,4	30,5	I,0	6,4	II,0	10,4	0,7	0,54	
IO4 "	0,8	0,3	5,4	0,7	0,4	24,4	Нет	5,8	II,0	8,8	0,3	0,33	
IO6 "	0,5	0,1	2,2	0,8	I,5	18,6	"	5,7	15,4	8,0	2,1	0,18	
IO7 "	I,6	0,3	6,0	0,4	0,7	30,5	"	5,6	44,0	7,2	0,7	0,30	
III "	I,1	0,3	16,8	4,7	0,2	73,2	"	7,0	8,8	12,0	0,5	1,23	
II2 "	I,5	0,4	13,2	4,2	I,2	65,0	"	6,8	73,2	9,0	0,3	0,84	
II3 "	I,2	0,5	10,8	2,6	0,3	48,8	"	5,8	26,4	12,8	0,7	0,75	
I60 (басс.Селитканы)	0,8	0,2	9,0	I,0	0,1	3,36	"	6,7	7,0	6,0	-	0,53	
2I4 То же	0,7	0,2	7,3	0,7		27,5	"	6,8	4,7	6,0	-	0,42	

I	2	3	4	5	6	7	8	9	10	II	12	13
Трещинные воды												
8 (басс. Мал.Неэргена)	I,2	0,2	I,4	I,3	0,2	II,7	4,3	6,3	6,8	3,2	-	0,18
9 То же	0,6	0,1	4,4	6,5	0,3	4I,5	8,4	6,6	II,4	3,2	-	0,75
10 " "	0,4	0,2	2,5	0,7	0,3	II,6	I,3	5,7	15,9	2,4	-	0,18
II " "	0,3	0,8	I,4	I,5	I,4	I4,9	I,2	5,5	23,0	I,2	-	0,19
I2 " "	0,3	0,1	I,I	0,8	0,5	10,0	0,5	5,9	II,4	I,2	-	0,12
I4 " "	0,3	Нет	2,5	I,2	0,6	I3,3	3,3	5,5	39,7	I,6	-	0,22
15 (басс. Эльгакана)	0,4	"	I,4	I,0	0,5	10,0	2,8	5,7	9,1	I,6	-	0,15
Трещинно-жильные воды												
2 (басс. Эльгакана)	0,4	0,6	I,4	I,2	0,7	I3,3	I,0	5,5	I7,0	2,0	-	0,17
5 То же	0,5	0,2	3,0	I,5	I,2	I9,9	2,8	6,3	I,9	2,0	Нет	0,27
22 " "	I,7	0,3	I4,2	I,0	0,1	5I,8	Нет	6,6	6,8	4,8	"	0,79
24 " "	4,0	0,2	5,4	0,3	0,4	24,4	"	6,4	6,8	6,0	"	0,29
27 " "	I,0	0,2	2,7	0,3	0,4	I2,2	"	5,6	II,3	4,0	-	0,10

П р и м е ч а н и е. Под номерами 2-27 - данные Л.В.Эйриша, I0I-II5 - Г.И.Неронского, I60-536 - Г.В.Роганова, 6I8 и I8I4 - А.В.Махинина.

Многолетняя мерзлота прецессирует свободной циркуляции трещинно-жильных вод, так как распространяется по днищам погребенных выработок до глубины 70-90 м. Поэтому по отношению к ней воды являются надмерзлотными и подмерзлотными. Их состав гидрокарбонатный кальциево-магниевый, сходный с трещинными водами (см. табл.6). В практических целях они не использовались, возможно, в силу отсутствия напорных источников.

О Ц Е Н К А П E R C P E K T I B P A I O N A

Экономика рассматриваемого района целиком базируется на золотодобывающих работах. Крайне важная эксплуатация Ленинского сурьминого и Верхне-Талымского золото-вольфрамо-оловянного месторождения существенного влияния на его экономическое развитие не оказалась. Поэтому вопрос дальнейшего развития горнопромышленного производства имеет для района первостепенное значение. О перспективах обнаружения новых месторождений и направлениях геологических работ можно сказать следующее.

В отношении руд черных металлов район малопрекрасен. Отсутствие сильных магнитных аномалий в местах с наиболее благоприятной для железорудных образований геологической обстановкой не дает надежд на открытие промышленных месторождений.

Для поисков оловянных и вольфрамовых руд рекомендуется склон хр.Ээол, где наиболее активно проявлен позитивной математизм. Здесь в пределах крупного шлихового ореола, рассеяния кассiterита и вольфрамита, помимо уже известных, возможно обнаружение новых рудных месторождений и россыпей. Некоторые из ранее известных проявлений нуждаются в дополнении (в вершинах Бол.Кери и Верх. Талмы), а бассейн верховьев Больш.Ээлы в целом перспективен для широких поисков россыпных месторождений. Наиболее целесообразно проявление здесь геологосъемочных и поисковых работ м-ба 1:50 000. В бассейнах Унеркана и Селигана проведенные поисковые работы на олово и другие прегниты и редкие металлы положительных результатов не дали, а других объектов для детального изучения пока нет.

Очень важен дальнейших поисков рудного золота и россыпей, так как проблема прироста его запасов для действующих об

ектов стоит остро. Для решения этого вопроса в свое время были целенаправлены детальные работы золотопромышленных организаций и специальные тематические исследования [26, 27, 28, 47, 67]. Происшествие Берхте-Селемджинского золота посвящено несколько диссертаций на тему золотоносности и перспективных рекомендаций на этот счет пока нет. Рассматриваемая территория в отличие от других золотосодержащих районов, кроме россыпей, характеризуется наличием рудных месторождений и проявлений. Поэтому первостепенная правильная оценка перспектив рудной золотоносности. Судя по имеющимся материалам, эти перспективы еще не исчерпаны.

Рудные поля Угличинского и Афанасьевского месторождений изучены плохо и с поверхности, и на глубину. В 1963-1965 гг. при разведке Угличинского месторождения шурхи проходились не до проектной глубины и без рассечек, а минерализованные зоны проследения не опробованы сплошной бороздой на полную мощность. Раньше, до глубины 50-70 м, месторождение отрабатывалось как шеелитовое и особенности золотоносности его неясны. Стедовательно, окончательная оценка перспектив требует поискаования скважинных зон проследления с поверхности и на глубине. Это относится и к Афанасьевскому месторождению, рудное поле которого не оконтурено. Некоторые минерализованные зоны с промышленными содержаниями золота по простиранию и падению не изучены. Нуждается в дополнительном восточном фланге третьей рудной зоны. Помимо оценки известных зон минерализации, детальные поисково-разведочные работы должны быть направлены на обнаружение и вскрытие новых.

Расширение перспектив Хардимского месторождения возможно за счет поисков и вскрытия минерализованных зон проследления и тел кварцевых метасоматитов на западном фланге месторождения, разведки их на глубину. Этим работам, как и на предыдущих месторождениях, должна предшествовать детальная спектрометрия. Ресурсы Ингатлинского и Янсанского месторождений, может быть, до конца и не исчерпаны, но вовлечение их в эксплуатацию не будет экономически рентабельным, так как подготовительные, в том числе разведочные, работы требуют больших затрат, а существенного прироста запасов ожидать нельзя.

Для обнаружения новых золотопромышленных тел заслуживают детального описания отдельные участки в бассейне Бол. Зелиди (ключи Аннушка, Ивановский, Верховья Абранасьевского и Васильевского), по правобережью Харги ниже устьев ключей Догадина и Густака, в верховье кр. Нептунша и на левобережье Угличинска. Их перспективность определяется прямым наличием золотой минерализации в виде свалов обломков, мелких глыб жильного и массивоматического кварца, содержащего золото. В отдельных случаях они находятся в благоприятной геологической обстановке, на замыкании антиклинальных структур с выходами зеленокаменных пород или в зоне Угличинского разлома. В первую очередь сюда относятся участки куполов Останака, Угличинска, Афанасьевского и др.

Поиски рудных тел необходимо проводить на базе золотометрического (литохимического) опробования лёгкими в м-бе 1:10 000, дающее, как установлено, хорошие результаты.

Золотоносность конгломератов, известных под названием конгломератов Станиновских, следует оценить отрицательно. Установлено, что 0,4-8 г/т золота содержит гальки кварца, составляющие иногда 12% объема породы. В целом промышленной золотоносности в конгломератах не установлено [50, 58].

Несколько остаются перспективы золотоносности нижнемеловых вулканогенных образований. Проявленными полосками [32, 63, 69] видимого золота в гидротермально измененных субфациированных вулканогенных не обнаружено, но спектроанализами оно устанавливается до 0,5 г/т. Вследствие этого при дальнейших работах вулканогенные образования должны рассматриваться как объект для поисков золоторудной минерализации.

Перспективы расширения сырьевой базы россыпного золота ограничены в основном перспективой известных россыпей и разработкой примыкающих к ним небольших новых полигонов (реки Курумкан, Эльгакан, Мал. Нарген, Харга и др.).

ЛИТЕРАТУРА

О П У Б Л И К О В А Н Н А Я

1. АНОСОВ Н.П. Отчет о действии поисковой партии в Амурской области. "Гор. журн.", № 4, 1961.

2. ВОЛАРОВЧ Г.П. Шеелитоносность системы рек Зеи - Селемджинской. "Вестник Дальневост. филиала АН СССР", № 28, 1968.

3. ЕГОРОВ А.К. Геологическая карта СССР м-ба 1:200 000, серия Улуская, лист № 53-ХХ (объяснительная записка). "Недра", 1968.

4. ИВАНТИШИН М.Н., ЗУБОВ А.И. Предварительные итоги работ Селемджино-Буреинской геологической партии ЦВО АН в 1937 г. "Вестник Дальневост. филиала АН СССР", № 29(2), 1938.

5. КРАСНЫЙ Л.И. Государственная геологическая карта СССР, №-с I:1 000 000, лист №-53 (антарктические острова), 1956.
6. КРАСНЫЙ Л.И. Основные вопросы тектоники Хасаровского края и Амурской области. Материалы ВСЕЛЕМ., нов. серия, вып.37, 1960.
7. КРОЮТИН П.Н. Краткий очерк тектоники и палеогеографии южной части Советского Дальнего Востока. Сб.вопр.геол.Дальн., т.1. М.,АН СССР, 1954.
8. МАМОНОВ Ю.А. Государственная геологическая карта СССР №-са I:200 000, серия Улскан, лист №-53-ХХI, 1965.
9. МАТЕРИКОВ М.П. Материалы к петрографии Верхней Селемиды. (Петрографическая характеристика пород района Абранасьевского месторождения). Дальнеэнерг. филиал АН СССР. Материалы по геол. ДВ., вып.4, 1939.
10. МОЛЧЕНКО В.Г., РЫБОВ В.К. Геологическое строение ирудная минерализация Верхне-Селемидинского района. Сборник работ по золотоносности Приамура. Благовещенск, Амурское книж.изд-во, 1960.
11. ОНИКОМОВСКИЙ В.В. Тектоническое районирование южной части Хасаровского края, Амурской и Сахалинской областей. Материалы по геол., полез.ископ. и минералогии юж.части Дальн. Вост. Тр.Дальневост.филиала СО АН СССР, сер.геол., т.14, 1960.
12. ПЕСОБРАЖЕНСКИЙ И.А. Харгинское золоторудное месторождение. Материалы по геол. и полез. ископ. Дальн.Вост., № 48, 1926.
13. РАКОВ Н.А. Об интрузиях и металлогении Верхне-Селемидинского района. Материалы по геол. и полез. ископ. Дальнеэнерг. края, 1946.
14. СОФРОНОВ Г.П. Ленинское сурьминное месторождение Верхне-Селемидинского района ДВК. Тр.ИГГИ, вып.33, 1935.
15. ТОВЕ Л.Л., ИЛЬИН Д.В. Отчет по статистико-экономическому и техническому исследованию золотопромышленности Амурско-Приморского района, т.II, Амурская обл., ч.1. СЕВ., 1905.
16. ТОНОН Р.М. Геологическая карта СССР №-са I:200 000, серия Хилгансо-Буреинская, лист №-53-ХХII (объяснительная записка). "Недра", 1965.
17. ХАЛОПИН А.И. Геологические исследования, проведенные в золотоносном районе бассейна р.Селемиды в 1901 г. Геол.иссл. в золотоносн. обл. Сиб. Амурско-Приморский золотоносный район, вып.IV, 1904.

Ф о н д о в а я х)

18. ХАЛОПИН А.И. Геологическая карта Амурско-Приморского золотоносного района, р.Селемидка. Описание листа П. СЕВ., 1907.
19. ХЛАДОИН А.И. Маршрутные исследования в бассейне р.Селемидки. Геол.иссл. в золотоносн. обл. Сиб. Амурско-Приморский золотоносный район, вып.ХУ, СЕВ., 1912.
20. ШАЛОЧКА И.И. Карта аномального магнитного поля СССР №-са I:200 000, серия Улскан, лист №-53-ХХI, 1961.
21. ЭРШЛ Л.В. Купольные структуры золотоносных толщ сасединя р.Харги. "Геол., геоморф., полез.ископ. Приамура", № 3, (74), Л., 1969.
22. ЯВОРСКИЙ П.К. Геологические исследования 1901 г. в бассейнах рек Керби, Нимана и Селемиджи. Геол. иссл. в золотоносн. обл. Сиб. Амурско-Приморский золотоносный район, вып.IU, 1904.
23. АЛЕРЖАНИЕВ А.Ф. Отчет о геологогомисковых работах на Ленинском сурьминном месторождении в 1952 г. 1953, № 03972.
24. АРСЕНТЬЕВ А.В. Харгинский золоторудный район (Отчет о геологических исследованиях 1927 г.). 1927, № 1632.
25. БЕЛЬЧЕНЕВ Е.Б. История геологического развития Дальнего Востока в палеозое и мезозое (в пределах Хасаровского края). 1969, № 013632.
26. БЕНЕСТАВСКИЙ С.Н. К геологии и металлогении района Верхней Селемиды. 1936, фонды Харгинского промискового управления.
27. БЕРНШТЕЙН П.С. Полевой отчет Харгинской релькометальной партии. 1940, фонды Харгинского промискового управления.
28. БОЛОТНИКОВ Д.П., ФРОЛОВ В.В. Объяснительная записка к геологическим картам бассейнов рек Ул и верховьев Селемидки в №-се I:200 000 и I:420 000. 1943, № 02990.
29. БРОНШТЕЙН А.Н. и др. Отчет о работе Амурской партии за 1962-1963 гг. 1964, № 010740.
30. ВАЙМАН И.И., КУДРЯШЕВ В.Г. Отчет о работах Дальневосточной аэромагнитной партии № 8/55 в Хасаровском крае и на о-ве Сахалин. 1956, № 05001.
- х) Работы с неуказанным местом хранения находятся в фондах Дальневосточного территориального геологического управления (Хасаровск).

31. ГАЛЮНОВ А.Л., ГУЧЕВ Б.И. Отчет о результатах звукогео-
физической съемки Становой партии за 1966 г. 1967, № 012532.
32. ГРГОРЬЕВ В.Б., КИСЛЕКОВ С.Г. и др. Тектоническое
строение и полезные ископаемые бассейнов рек Унгарикана и Бирса.
1967, № 012536.
33. ГУЧЕВ Б.И., ЖИАН Н.К. Отчет о результатах звукогео-
физической съемки Восточной партии за 1965 г. 1966, № 012024.
34. ДАРЫНИН С.С., ШКОДНИК Э.Л. и др. Геологическое стро-
ение западной части листа №-53-ХVII. 1956, № 05004.
35. ЖИЛИН М.Ю. Отчет о геологических работах 1944 г.
в западной части хр.Эзоп. 1945, № 02025.
36. ЗУБКОВ В.Ф. Геологическая карта Верхне-Селемджинского
золотоносного района, м-б 1:50 000 (объяснительная записка).
1969, № 013661.
37. ИНАТЬЕВ Г.Г., ФОЛЕНКО В.В. и др. Материалы по зоро-
магнитной съемке, проведенной в Селемджинском районе Амурской
области, Верхне-Буренском районе Хабаровского края и Тугуру-
Чумаканском районе Нижне-Амурской области, и результаты геоло-
гических исследований в пределах северо-западной части Оголин-
ского угленосного района. 1957, № 06832.
38. ИЗЕРГИН Л.А. Харгинское шелкоп-золоторудное месторож-
дение. 1933, № 05321.
39. ИЗЕРГИН Л.А. Отчет о работе Харгинской поисково-раз-
ведочной партии на Вольфрам. 1934, № 02185.
40. ИЗЕРГИН Л.А. Предварительный отчет о геологоразве-
дочных работах и полуторной добыче шелкоптого концентриата Хар-
гинской экспедиции Соязредметразведки за 1935 г. 1935, № 2184.
41. КИРИЛОВ А.А., ОНИХИМОВСКИЙ В.В. Геологические иссле-
дования в Шевлик-Селемджинском междуречье Хабаровского края в
1945 г. 1946, № 03521.
42. КОЗОРА В.Ф. и др. Геологическое строение бассейна сред-
него и нижнего течения р.Селитрана. 1955, № 04621.
43. КОЗОРА В.Ф. и др. Геологическое строение восточной
части листа №-53-ХVII. 1956, № 05013.
44. КОЗОРА В.Ф., АПОСТОЛОВА М.Я. Отчет по контролльно-ува-
зочным маршрутам, проведенным на листе №-53-ХVII. 1958, № 06914.
листу №-53-ХVII. 1958, № 012764.
45. КОЗОРА В.Ф., АПОСТОЛОВА М.Я. Объяснительная записка к
Харгинской поисково-разведочной партии на олово в 1934 г. 1934,
№ 2379.
46. КОЛОКОЛЬНИКОВ И.П. Отчет о работах поисково-разведоч-
ной партии на рудное золото. 1956, фонды Харгинского приклю-
чения.

47. КУДЕНЕВ Б.П. Геологические предпосылки и перспективы
развития Верхне-Селемджинского золотоносного района. 1939, фон-
ды треста "Амурзолото".
48. ЛЮБОДЕНКО С.Н. Отчет о результатах работы поисково-
разведочной партии на участке Ясном. 1951, фонды Харгинского
приключения.
49. ЛАЗАРЕВ А.З. Геологическое строение и металлоемкости
Верхне-Селемджинского золоторудного района. 1947, фонды треста
"Амурзолото".
50. МАДИНОВСКИЙ П.В. Результаты разведки константиновских
контролеров за 1937 г. 1938, фонды треста "Амурзолото".
51. МАГОРИКИН Н.И. Угличанское шелкоп-золоторудное ме-
сторождение. 1932, № 02383.
52. МАРГИН В.И. и др. Отчет о результатах геологоразведок
работ в левобережье среднего течения р.Хады Селемджинского рай-
она Амурской области в 1943 г. 1944, № 0167.
53. МАТЕРИКОВ М.П. Геологическое описание Харгинского рай-
она и проект летальной разведки и поисков на участке Айнаасьев-
ского золоторудного месторождения. 1939, № 1637.
54. МАХИНИН А.В. и др. Геологическое строение и полезные
ископаемые бассейнов рек Гербикан и Кенурак. 1969, № 013420.
55. МОЖЕЗЕНКО В.Г. Отчет об Инагали-Лоненском месторожде-
нии за 1951-1953 гг. 1954, фонды треста "Амурзолото".
56. НЕКРАСОВ П.В. Отчет о результатах работ Селемджинской
геологоразведочной партии за 1935 г. 1936, № 02716.
57. НЕРОНСКИЙ Г.И. и др. Отчет о геологических исследова-
ниях на территории листа №-53-99-Г. в 1961 г. 1962, № 09300.
58. НЕРОНСКИЙ Г.И. Отчет о геологических исследованиях в
среднем и нижнем течении р.Бол.Эльги. 1963, № 09760.
59. ОНИХИМОВСКИЙ В.В. (редактор), ГУЧЕВ Б.Б., ЗОЛО-
ТОВ М.Г. и др. Тектоническая карта Хабаровского края и Амурской
области, м-ба 1:2 500 000, 1968.
60. ПЕТРОВСКИЙ С.Н. Геологоразведочный отчет с подсчетом
запасов руды и металла по Ленинскому сурьминому месторождению по
состоянию на 1 января 1943 г. 1943, № 2381.
61. ПУЧЕВ И.А. Краткий предварительный отчет о работах
Харгинской поисково-разведочной партии на олово в 1934 г. 1934,
62. РАКОВ Н.А. Геологические исследования в бассейне верх-
него течения рек Харги и Селемджи в 1942 г. 1943, № 02994.

63. РОДАНОВ Г.В. и др. Отчет Селитканской партии о результатах геологосъемочных работ №-ба 1:50 000, проведенных в 1966-1967 гг. в районе нижнего течения Селитканы. 1968, № 012794.

64. СОФРОНОВ Г.П. Отчет о геологополисковых работах в Харгинском районе ДВК в 1930 г. 1930, № 8330.

65. ТИХОМИРОВ Г.В., ПЕТРОВСКАЯ С.Н. Промышленный отчет Ленинской геологоразведочной партии по Ленинскому сурьмяному месторождению по работам 1938 г. 1940, № 07245.

66. ФИЛИПОВ П.П. Отчет о результатах аэромагнитных работ Хадаровской партии за 1968 г. 1969, № 073620.

67. ФРОЛОВА Е.Е. Геологический очерк Селемджинского рудного района. 1950, № 05351.

68. ШАТОЧКА И.И. и др. Отчет о результатах аэромагнитных работ Амтульской партии за 1958-1960 гг. 1960, № 05666.

69. ШИКАНОВ О.Ф. КЛМ Т.А. и др. Отчет по теме 72: "оценка золотоносности Верхне-Селемджинского р-на и перспективная оценка его на рудное золото" за 1968-1970 гг. 1970, № 014387.

70. ШИКИНА Г.Р. Биостратиграфия девонских морских отложений среднего течения р.Дела и верхнего течения Селемджи, т.1, 1968, № 13099.

71. ШИКИНА Г.Р. Палеонтологическое обоснование расчленения девонских морских отложений южного обрамления Улского прогиба, т.1, 1971, № 14662.

72. ЭГРИШ Л.В. и др. Геологическое строение и полезные ископаемые бассейнов рек Харги, Мал.Нургена и Селемджи. 1965, № 010998.

73. ЭМРИШ Л.В. Отчет о поисках рудного золота в бассейнах рек Харги и Семиргака в 1963 г. (Харгинская партия). 1964, № 010437.

П р и л о ж е н и е I

Список

промышленных месторождений полезных ископаемых, показанных на листе № 53-ХУЛ карты полезных ископаемых №-са I:200 000

Индекс клетки на карте	№ на карте	Вид полезного ископа- емого и наименование месторождений	Ссылка на литературу (номера по списку ли- тературы)	Приме- чание
I	2	3	4	5
		М е т а л и ч е с к и е и с к о п а е м и е		
		ОЛОВО		
ГУ-2	4	кг. Валентина кг. Смежный	34	Россыпь
ГУ-2	7	кг. Периодический	34	"
ГУ-2	8	кг. Сложный	34	"
ГУ-2	10		34	"
		Большерамо-золотые		
II-3	13	Ютиличикское	72,69	Коренное
		Сурьма		
ГУ-3	I	Ленинское	14,23,60	"
		Золото		
I-1	8	кг. Золотой 2-й	54, 32	Россыпь
I-1	II	кг. Иванов 2-й	54, 32	"
II-2	6	Дженское	69, 57	Коренное
II	II	Илагалинское	69, 57	"
II-2	I7	р. Харга	69, 72	Россыпь
II-3	4	р. Селемджа	69, 72	"
II-3	5	р. Георгиевский	72	"
II-3	6	р. Мал.Нурген	69, 72	"

Приложение 2

Список

недропользованных месторождений полезных ископаемых, показанных на листе №-53-ХVI карты полезных ископаемых №-6а I:200 000

I	2	3	4	5
II-3	11	р.р. Узелечекан р.р. Березовки	72 72	Россия
II-3	14	р.р. Николаевский	72, 69	"
II-3	16	р.р. Казимировский	72, 69	"
II-3	17	р.р. Большой Эльтага	69	"
II-2	2	р.р. Продорожный	58	"
II-2	5	р.р. Кутумкан	58, 69	"
II-2	6	р.р. Афанаьевский	58, 69	"
II-2	10	р.р. Кара-Макит	58	"
II-2	14	р.р. Ангушка	58	"
II-2	15	р.р. Чуконнат	58	"
II-2	17	р.р. Ивановский	58	"
II-2	18	Афанаевская	69, 58	"
II-2	21	р.р. Константиновский	58	"
II-2	23	р.р. Логалдин	69, 72	"
II-3	6	Харгинское	69, 72	"
II-3	7	р.р. Альбын	69, 72	"
II-3	8	р.р. Элгекан	69, 72	"
II-3	14	р.р. Негтам	72	"
II-3	16	р.р. Маристан	72	"
II-3	20	р.р. Узелчан	72	"
II-3	21	р.р. Иловатый	72	"
II-3	22	р.р. Ночевленки	72	"
II-3	25	р.р. Коврижка	72	"
II-3	28		"	"
С т р о и т е л ь н ы е м а т е р и а л ы				
Известники				
III-2	4	Васильевское	58	"
III-2	18	Бодровадел Караги	72	"
III-3	2	Большое Ташминское	-	"
IV-3				

I	2	3	4	5
М е т а л լ и ч е с к ы е и с к о п ы в ы е				
		Олово		
		р.р. Крестовая Эльга		
		р.р. Верх. Тальма		
IV-2	3	р.р. Кетурах	34	Россия
IV-2	9	р.р. Иванов I-й	34	"
		р.р. Алексеевский	54, 32	"
		р.р. Тышков	57	"
I-1	7	р.р. Гроеный	57	"
I-1	10	р.р. Золотой (Юснит)	57	"
I-2	2	р.р. Сред. Ишаги	57	"
I-2	1	р.р. Гусаков	57	"
I-2	8	р.р. Гусаков	57	"
I-2	9	р.р. Гусаков	57	"
I-2	12	р.р. Гусаков	57	"
I-2	20	р.р. Гусаков	57	"
I-2	21	р.р. Гусаков	57	"
I-2	23	р.р. Гусаков	57	"
I-3	7	р.р. Гусаков	45, 57	"
III-1	4	р.р. Гусаков	32	"
III-2	1	р.р. Гусаков	58	"
III-2	24	р.р. Гусаков	58	"
IV-2	1	р.р. Гусаков	69	"

Приложение 3

Список

проявлений полезных ископаемых, показанных на листе №-53-ХХ карты полезных ископаемых №-6а Г:200 000

М е т а л л и ч е с к и е и с к о п а е м ы		М е т а л л и ч е с к и е и с к о п а е м ы	
Индекс клетки на карте	Л-на карте	Вид (полезного ископае- мого и название (место- нахождения) проявления	Ссылка на ли- тературу но- мера по спис- ку литературы)
I	2		4
III-I	1	Правобережье Унерикана, близ устья Имбари	32
		Мартанец	
I-I	4	Левобережье Прямого Кенурака	54
II-3	1	Родораздел Селемиджи и Максина	72
II-3	2	То же	72
		Олово	
I-2	1	Верховье Баранчи	63
I-3	1	Верховье Йапанака	45
I-4	1	Верховье Туттая	45
III-I	2	Бассейн Оксою	32
III-4	1	Верховье Эллачана	45
IV-I	1	Верховье Бол.Кери	34
	2	Левобережье бол.Кери	34
IV-I		Джеззо	

I	2	3	4	5
IV-2	2	Северные склоны хр.Эзоп	34, 43	Шлиховой ореол
IV-2	5	Верховье Крестовой Эльты	34	В коренном залегании
IV-2	6	Верховья Верх.Талмы	34	то же
		Вольфрам		
I-I	1	хр.Джанлы	54	Шлиховой ореол
I-I	5	р.Кечурах, ручьи Полосе- новской, Петров	54	то же
I-I	6	Бассейн правобережья Карамалака	54	" "
III-2	22	Верховья Кера-Макита	34	В коренном залегании
		Ртуть		
I-I	3	Верховье Кечураха	54	Шлиховой ореол
I-4	2	Верховья Селаны и Мал. Селана	43	то же
II-3	3	Бассейн кл.Пашловского	72	" "
III-1	3	Верховье Унергана	32	" "
		Редкие земли		
I-I	2	Верховые Итмасы	54	Шлиховой ореол
		Золото		
I-I	9	Левобережье Олемджи	54, 32	Шлиховой ореол согласно с мониторингом
I-I	1	Верховье Инсары	32	Шлиховой ореол
I	2	Правобережье Олемджи	57	В дельте Шлиховой ореол
II-2	3	реки Ниж.Сред. и Бол. Ингали	57	согласно шнейдлером
II-2	4	Левобережье Ниж.Ингали	57	В дельтах
II-2	5	Правобережье Ниж.Ингали	57	то же

I	2	3	4	5
II-2	7	Устье к. Золотого(Янгого)	57	В коренном залегании
II-2	10	Правобережье Харги	57	Эльвий
II-2	13	Верховье Бол. Ингали	57	В дельвии
II-2	14	Правобережье Сред. Ингали	57	To же
II-2	15	Верховье к.л. Веселого	57	" "
II-2	16	Верховье к.л. Щубинского	57	" "
II-2	18	Правобережье к.л. Густака	57	В коренном залегании
II-2	19	Правобережье к.л. Густака (Устья)	57	В дельвии
II-2	22	Водораздел к.л. Густака о р. Даргой	57	To же
II-2	24	Водораздел руч. Лосастова (Устья) и р. Бол. Ингали	57	" "
II-2	25	Устье Бол. Ингали	57	To же
II-3	8	Нижнее течение Мал. Неврене	72	Шлиховой ореол составно с шведлом
II-3	9	Верхнематкое	72	Кварцевая жила
II-3	10	Левобережье Янгличанска	72	В коренном залегании
II-3	12	To же	72	В дельвии
II-3	15	" "	72	В коренном залегании
II-3	18	Истоки к.л. Густака	72	В коренном залегании
II-3	19	Верховье к.л. Училикана	72	В коренном залегании
II-3	20	Правобережье Харги	72	В дельвии
II-3	23	Левый борт Пакастаха	72	To же
II-2	3	Водораздел ручьев Абранас- ецкого и Васильевского	58	To же
II-2	7	Левый борт ручьев Абранас- ецкого и Васильевского	58	To же
II-2	8	To же	58	" "
II-2	9	Водораздел Бол. Эльты и р. Ч. Афанасьевского	58	" "
II-2	11	Водораздел Кутумканы и Бол. Эльты	58	В коренном залегании
II-2	12	Левый борт Бол. Эльты	58	В дельвии
II-2	13	Правый борт руч. Афанасьев- ского	58	To же
II-2	16	Правый борт к.л. Ангушки	58	В коренном залегании
II-2	19	Водораздел ручьев Боло- родского и Маньковского	58	Мыла Ивановская В дельвии

I	2	3	4	5
III-2	20	Истоки руч. Ивановского	58	Мыла Ивановская В дельвии
III-3	1	Правобережье Харги	72	To же
III-3	2	To же	72	" "
III-3	3	To же	72	" "
III-3	4	Правобережье к.л. Догадина	72	" "
III-3	5	To же	72	" "
III-3	6	Истоки к.л. Нептана	72	" "
III-3	7	Левый борт к.л. Нептана	72	" "
III-3	8	Правый борт к.л. Нептана	72	" "
III-3	9	Левый борт к.л. Оканака	72	" "
III-3	10	Правый борт Харги	72	" "
III-3	11	Левый борт к.л. Нептана	72	" "
III-3	12	Левый борт к.л. Оканака	72	" "
III-3	13	Левый борт Харги и Эль- гакана	72	" "
III-3	14	Левый борт руч. Ночлемного гакана	72	" "
III-3	15	Водораздел Харги и Эльгакана	72	" "
III-3	16	To же	72	В коренном залегании
III-3	17	Верховье руч. Коврики	72	To же
III-3	18	To же	72	В дельвии
III-3	19	Истоки руч. Афранасьевского	58	To же
III-3	20	To же	72	" "
III-3	21	Левый борт Пакастаха	58	" "
III-3	22	To же	72	" "
III-3	23	Правый борт руч. Коврики	72	" "
III-3	24	To же	72	" "
III-3	25	Верховье руч. Коврики	72	" "
III-3	26	To же	72	" "
III-3	27	Левый борт руч. Ночлемного гакана	72	" "
III-3	28	To же	72	" "
III-3	29	Левый борт руч. Ночлемного гакана	72	" "
III-3	30	To же	72	" "
III-3	31	Левый борт руч. Ночлемного гакана	72	" "
III-3	32	To же	72	" "

Редактор Г.Д. Никкулина
Технический редактор С.К. Леонова
Корректор Р.Я. Синева

Сдано в печать 27.1.1981 г.
Тираж 198 Формат 60x90/16 Уч.-изд. л. 6,7 Заказ 0175

Ленинградская картографическая фабрика ВСЕМИ